

Yüan-Tzu-nêng
Vol. 5, No. 11

原子能

Атомная
энергия

МАЙ
1960

11
1960

中国科学院原子核科学委员会編輯委员会編輯
科 学 出 版 社 出 版

目 录

論均匀型沸騰反应堆的稳定性理論.....	(933)
利用过热蒸汽的鈾-石墨反应堆的原子能电站起动工况的研究	(938)
能量为 0.04—4.0 兆电子伏的中子分裂 Pu^{240} 的截面	(944)
論应用鉛同位素組分普查鈾矿的問題.....	(948)
鈾中的內耗.....	(953)
鋳-鈹系相图	(958)
輻照剂量和吸收剂量之間的关系.....	(964)

簡 报

論同位素 He^7	(973)
利用碳化鈦把热能轉变为电能的热电子轉換	(974)
論物体內热源对对流换热的影响	(978)
論非晶鈾矿与鋳矿物的稠密共生	(979)
$\text{BeO-Sm}_2\text{O}_3$ 与 $\text{BeO-Gd}_2\text{O}_3$ 系的研究	(982)
在停止核試驗后的一年过程中放射性沉积物的系統測量結果	(983)
地下巷道空气中鉛和銻放射性同位素含量的定量測定	(984)

科 技 新 聞

处理和埋藏放射性废物的摩納哥国际會議总结	(986)
伊拉克苏联工业展覽会和平利用原子能館	(991)
丹麦重水反应堆 DR-3.....	(992)
論蒸汽过热的原子核反应堆	(994)
OMRE 反应堆的运行經驗	(995)
資本主义国家鈹的生产概况	(997)
色散关系理論會議	(998)
簡訊	(999)

新 书 介 紹

最新文献	(1001)
預告目录	(文前二)

СОДЕРЖАНИЕ

СТАТЬИ

- Б. В. Эршлер, Б. З. Торлин, Л. Я. Суворов. К теории стабильности гомогенного кипящего ядерного реактора (933)
- В. В. Долгов, В. Я. Козлов, Л. А. Кочетков, О. А. Судницын, Г. Н. Ушаков. Изучение пусковых режимов атомной электростанции с уран-графитовым реактором с перегревом пара (938)
- В. Г. Нестеров, Г. Н. Смиренкин. Сечение деления Pu^{240} нейтронами с энергией 0.04—4.0 Мэв (944)
- Д. Я. Суражский, А. И. Тугаринов. Об использовании изотопного состава свинца для поисков урановых руд. (948)
- А. И. Дайковский, А. И. Евстюхин, Е. М. Савицкий, Д. М. Скоров. Внутреннее трение в уране (953)
- В. С. Емельянов, Ю. Г. Годин, А. И. Евстюхин, А. А. Русаков. Диаграмма состояния системы цирконий—бериллий (958)
- Ю. В. Сивинцев. Соотношение между дозой облучения и поглощенной дозой (964)

ПИСЬМА В РЕДАКЦИЮ

- В. В. Балашов. Об изотопе He^7 (973)
- Н. Д. Моргулис, Ю. П. Корчевой. Термоэлектронное преобразование тепловой энергии в электрическую с применением карбида тория (974)
- Э. А. Сидоров. О влиянии внутренних источников тепла на конвективный теплообмен (978)
- В. И. Жукова. О тесном срастании настурана с циркониевым минералом (979)
- С. Г. Тресвятский, В. И. Кушаковский, В. С. Белеванцев. Изучение систем $BeO-Sm_2O_3$ и $BeO-Gd_2O_3$ (982)
- В. Сантгольцер. Результаты систематических измерений радиоактивных выпадений в течение года после прекращения ядерных испытаний (983)
- В. И. Баранов, Л. В. Горбушина. Количественное определение содержания радиоизотопов свинца и висмута в воздухе подземных выработок (984)

НОВОСТИ НАУКИ И ТЕХНИКИ

- Итоги Международной монакской конференции по переработке и захоронению радиоактивных отходов (986). Павильон «Атом для мира» на Промышленной выставке СССР в Ираке (991). Датский тяжёловодный реактор DR-3 (992). О реакторе с ядерным перегревом пара (994). Опыт работы реактора OMRE (995). Производство бериллия в капиталистических странах (997). Совещание по теории дисперсионных соотношений (998). Краткие сообщения (999) (1001)

БИБЛИОГРАФИЯ

- Новая литература (1001)

СОДЕРЖАНИЕ

ноябрьского выпуска журнала "Атомная энергия" за 1960 год

СТАТЬИ

- И. Н. Плаксия, В. Н. Смирнов, Л. П. Старчик. Использование ядерной реакции (α, n) для количественного определения содержания бериллия, бора и фтора в продуктах обогащения
- В. И. Субботин, П. А. Ушаков, Б. Н. Габрианович, А. В. Жуков. Теплообмен при течении ртути и воды в плотно упакованном пучке стержней
- Л. Трлифай, И. Рочек. Замена блока в двумерной квадратной решетке
- Р. Джейн, Р. Десэй. Критерий неустойчивости, обусловленной изменением температуры в переходных режимах реактора
- Н. Ф. Правдюк, В. Н. Кузнецов, Н. И. Лалетин. Изотермическое облучение неделящихся материалов в реакторе с помощью калориметрических устройств
- Г. А. Меерсон, Р. Г. Котельников, С. Н. Башлыков. Монокарбид урана
- Ю. Н. Сокурский, Ю. В. Бобков. К вопросу об увеличении внутреннего трения в уране в процессе изменения его температуры
- В. П. Бовин. Методы направленной регистрации γ -излучения

ПИСЬМА В РЕДАКЦИЮ

- В. М. Панкратов, Н. А. Власов, Б. В. Рыбаков. Сечения деления Th^{232} , U^{235} , Np^{237} , U^{238} нейтронами с энергиями 10—22 Мэв
- Ю. Я. Стависский, В. А. Толстиков. Измерение сечений радиационного захвата быстрых нейтронов изотопами
- А. Л. Андросенко, Д. П. Бродер, А. И. Лашук. Гамма-лучи, возникающие при неупругом рассеянии нейтронов с энергией 3 Мэв
- Г. И. Хлебников, Е. П. Дергунов. Получение толстых слоев тория, урана, нептуния, плутония, амерция
- Б. М. Коноваленко, С. М. Рывкин, И. Д. Ярошецкий, Л. П. Богомазов. Установка для исследования действия γ -излучения на полупроводниковые материалы
- Ю. С. Трелин, И. Н. Васильев, В. В. Рошупкин. Измерение скорости ультразвука в расплавленных щелочных металлах
- Л. А. Красноусов, П. В. Зимаков, Е. В. Волкова. Радиационно-химическое хлорирование бензола
- И. М. Дубровин, А. К. Евсеев. Термодинамика восстановления фторидов калия и натрия металлическими кальцием и магнием

НОВОСТИ НАУКИ И ТЕХНИКИ

БИБЛИОГРАФИЯ

以上为苏联 原子能 杂志 11 月份目录

論均勻型沸騰反應堆的穩定性理論

愛爾什列爾 (Б. В. Эршлер)

道 尔 林 (Б. З. Торлин)

蘇沃洛夫 (Л. Я. Суворов)

本文中導出了考慮水-慢化劑體積沸騰特點的均勻型沸騰反應堆動力學方程。指出了可以表征反應堆工況的參數,描述了當穩定性破壞時發生的脈沖工況,並探討了某些因素對於穩定性的影響。

均勻型沸騰反應堆在水-慢化劑中所含蒸汽體積的變化,對反應性的影響很大,它可使工況不穩定,所以,半定量地或者甚至於定性地估計一下各種因素對於反應堆工作穩定性的影響是很重要的。為此,我們來探討這種反應堆的穩定性簡化理論。

在我們的工作條件下,蒸汽的主要部分不是在靠近壁處產生的,而是在液體體積內產生的。由於缺乏這種體積沸騰的成熟理論,因此難以寫出反應堆動力學方程。下列一些計算可作為一次近似值來利用。

蒸汽核難以形成是體積沸騰的特點。例如,根據我們的試驗,在過熱 $10-20^{\circ}\text{C}$ 的情況下,為了在 10 毫升的水或溶液中形成蒸汽泡,至少需要幾個小時,甚至於液體體積內鈾原子核的裂變,也不能顯著地加速此過程。水中氧化鈾粉末的存在,也不起影響。在文獻 [1] 中也進行了類似的觀察。另一方面,當以相當的強度把熱量加入液體體積中時,在過熱僅為幾度的情況下,就可以造成比較穩定的體積沸騰。從這兩個事實的對比,可以得出,穩定的體積沸騰不應該與常常在文獻 [2, 3] 中所描述的核蒸汽起源的擾動機理相聯系,這個機理要求相當大的過熱。擾動機理既然不存在,因而新的汽泡的產生,是由於大的汽泡被液體渦流打碎而引起。這種沸騰的流體動力學機理,有別於擾動機理,它並不要求大的過熱。可以引述一些數據來說明這些論點。

不含有汽泡和汽泡發生中心的水或鹽溶液,在大氣壓的情況下,有時能加熱到 200°C 而並不沸騰。由於均勻型沸騰反應堆設計工作的進行,這些在上一世紀就被許多學者所描述的觀察^[4] 更大大地擴展了^[1,5]。通過觀察證明,體積沸騰的穩定的“初生”機理(即在深水處形成汽泡)是不可能的。然而,當對於水的體積進行連續強烈的電解加熱,而又嚴密地防止電解氣體的气泡進入水內時,不可能使液體過熱超過 $10-15^{\circ}\text{C}$ 而不發生可見的沸騰。這些試驗在以後將得到更詳細的敘述。它們指出了沸騰的流體動力學機理的現實性。

為了推導具有這種沸騰機理的反應堆動力學方程,我們用 V_n, M_n, γ_n 分別表示慢化劑內蒸汽的體積,重量及密度; $V_{ж}, M_{ж}, \gamma_{ж}$ ——液體的體積,重量及密度; $H_{ж}$ ——無沸騰時反應堆內液體高度; S ——反應堆截面,反應堆是垂直布置的圓柱體。此外,採用符號 $\varphi = \frac{V_n}{V_n + V_{ж}}$ 及 $\nu = \frac{V_n - (V_n)_0}{(V_n)_0}$ 。角碼 0 在一切情況都表示,該相應量的值是對於反應堆穩態工況而取的。我們假定值 $M_{ж} + M_n$ 是常數¹⁾,換句話說,即 $M_{ж}$ 是常數,這是因為 $M_{ж} \gg M_n$ 。

反應堆內的溫度,中子通量及蒸汽氣的分布假設是相當均勻的,並可以用對整個體積不變

1) 假定蒸汽從液體逸出後,立刻凝固與返回活性區。

的某些平均值代替。某些关于均匀型沸腾反应堆静力学的计算(考虑了活性区体积内气泡分布的不均匀性)表明,上述近似值是允许的。

我们把水的过热 Δt 表示为两项之和:

$$\Delta t = \Delta t_1 + \Delta t_2.$$

式中, Δt_1 ——水对于气泡内蒸汽的过热, Δt_2 ——气泡内的蒸汽对于反应堆液面上部蒸汽的过热。水的温度 $t = t_0 + \Delta t$, 式中 t_0 ——反应堆液面上部饱和蒸汽的固定温度。

在沸腾流体动力学机理中,所有气泡的半径都满足不等式:

$$r \gg \frac{2\sigma}{P},$$

式中 P ——饱和蒸汽压, σ ——表面张力。

蒸发水向气泡输热的速度为:

$$w = k4\pi r^2 \Delta t_1, \quad (1)$$

式中 k —— r 和沸水流体动力学工况的函数¹⁾。因为在沸腾流体动力学机理中,不应该有很大的气泡存在(由于其遭到粉碎),也不应该有很小的气泡存在(由于没有初生点),所以可以近似地假设 r 为常数。这样,每秒钟产生气泡的耗热量为

$$W_1 = \frac{V_n}{\frac{4}{3}\pi r^3} w,$$

或

$$W_1 = \frac{k}{\frac{1}{3}r} V_n \Delta t_1 = f_1 V_n \Delta t_1. \quad (2)$$

由此,考虑到反应堆热功率 Q 仅消耗于两种过程上——过热 Δt 的增加以及产生蒸汽 W_1 , 我们得到热中子通量 N 、过热及 V_n 的关系方程式,

$$Q = f_2 N = C \Delta t + f_1 V_n \Delta t_1. \quad (3)$$

式中, f_2 ——比例因子, C ——活性区蒸汽与水的总热容量。显然, $f_2 = \epsilon \sigma_s N_s$, 式中 ϵ —— U^{235} 一次裂变时所释放的能量; σ_s —— U^{235} 热中子裂变截面; N_s ——活性区内 U^{235} 的原子核数。

从每平方米水面上所产生的蒸汽的容积流量 W_2 , 即每秒钟通过每平方米被气泡饱和的液体表面的蒸汽容积, 等于 $a \frac{\varphi}{1-\varphi}$, 式中 a ——常数。因为 $\frac{\varphi}{1-\varphi} = \frac{V_n}{V_{\text{ж}}}$, 所以从慢化剂全部表面产生蒸汽的重量流量为:

$$W_3 = \gamma_n W_2 S = \gamma_n \frac{aS}{V_{\text{ж}}} V_n = f_3 V_n. \quad (3a)$$

显然, $f_3 = \frac{(\gamma_n)_0 a S^3}{M_{\text{ж}} / (\gamma_{\text{ж}})_0}$ 。由此可得出计算水汽混合物中蒸汽重量变化的方程式:

$$\dot{M}_n = \frac{1}{l} f_1 V_n \Delta t_1 - f_3 V_n, \quad (4)$$

式中 $M = V_n \gamma_n$, l ——蒸发热。如果不忽略因温度的小范围波动所引起的 γ_n 的改变, 则可将下式代入方程式(4):

$$\dot{M}_n = \dot{V}_n \gamma_n + V_n \frac{\partial \gamma_n}{\partial t} \Delta t_2.$$

1) k ——相当于每一平方厘米气泡表面的、气泡周围冷水薄层的导热系数。在静止水中 k 仅取决于 r ^[5,6]。当湍流强度增加时,薄层的厚度减小,而 k 增加。

2) 由此可见,常数 f_1 之值取决于水流状况,以后仍将详细探讨。

3) 包含在 f_3 内的常数 a 与温度有关,它由文献[7]得出。反应堆运行时 γ_n 及 $\gamma_{\text{ж}}$ 不大的变化可以忽略,而认为 f_3 是常数。

為了計算慢化劑質量的慣性,應該指出,當按流體動力學機理而沸騰的水汽混合物的液面靜止時,氣泡內部的蒸汽壓力 P_n 實際上與液面上部壓力 P 相等¹⁾,所以

$$\Delta P = P_n - P = 0.$$

當由於 V_n 增長,液面以加速度 \ddot{x} 而垂直運動時,對於維持這個運動的壓力差 ΔP 可寫出:

$$\Delta P = \frac{M'}{S} \ddot{x} = \frac{\frac{1}{2} \frac{M_{\Sigma}}{g}}{S} \ddot{x}, \quad (5)$$

式中 M' ——有效運動質量²⁾

因為 $\ddot{x} = \frac{(V_n)_0}{S} \dot{V}_n$, 而當 Δt_2 值不大時, $\Delta P = \frac{\partial P}{\partial t} \Delta t_2$, 則由方程(5)可得

$$\left(\frac{\frac{1}{2} \frac{M_{\Sigma}}{g}}{S^2 \frac{\partial P}{\partial t}} \right) \dot{V}_n = f_4 \dot{V}_n = \Delta t_2, \quad (6)$$

式中 f_4 ——常數, $\frac{\partial P}{\partial t}$ 值可查表而得。方程式(6)中估計了為必須克服慢化劑質量慣性所引起的過熱 Δt_2 。

在反應性 Δk 為小值的情況下,中子通量與緩發中子源濃度的時間關係方程式,具有如下形式

$$\dot{N} = \frac{\Delta k - \sum \beta_i}{T} N + \sum \lambda_i C_i, \quad (7)$$

式中 C_i, λ_i, β_i ——分別為反應堆內第 i 羣緩發中子源的密度,衰變常數,以及 U^{235} 一次裂變的產額; T ——熱中子有效壽命。在均勻型沸騰反應堆中, $T = T_{\infty 0} (1 - \varphi)^{-1} (1 - \varphi v)$ 。如果在燃料量不變的條件下,反應堆內介質密度變化範圍不太大時,則可證明在年齡近似值中的反應堆的反應性

$$\Delta k = -K \varphi_0 v (1 + \frac{1}{2} \varphi_0 v),$$

而且

$$K = 2 \left(\frac{2.4}{K_{\text{有效}}} \right)^2 \left(\tau + \frac{L^2}{1 + \alpha^2 L^2} \right),$$

式中 $K_{\text{有效}}$ ——反應堆有效半徑; τ ——熱中子年齡; L ——熱中子擴散長度; α^2 ——圓柱形反應堆幾何曲率^[8]。

方程式(3), (4), (6), (7)描述反應堆隨時間改變的狀況。在對它們進行分析時,更方便的是採用無量綱變數 $v, P = \frac{N}{N_0}$ 及 $t = \frac{\Delta t}{\Delta t_0}$ 來代替 V_n, N 及 Δt , 式中 Δt_0 ——水過熱的穩態值。為計算 f_1, f_2, f_3, f_4 等常數,取定了 $S = 2$ 米², $M_{\Sigma} = 2000$ 公斤。計算常數的方法從相應的方程式中就可明白。

在探討這些常數時,很顯然有下列情況。

常數 f_2, f_3, f_4 單值地取決於水-慢化劑的溫度及反應堆尺寸。的確, $\sigma_s, a, \gamma_{\Sigma}, \gamma_n$ 及 $\partial P / \partial t$ 等量(根據這些量,常數可以從相應的方程式算出), 僅是溫度的函數,並可以從熟悉的表及文

1) 當探討個別靜止的、其半徑變成大大超過臨界值(即 $r \gg 2\sigma/P$) 的氣泡成長時,可以忽略慣性力^[5, 9]以及表面張力。

2) M' 值的數量級為反應堆內的水量,顯然, $M' \leq \frac{1}{2} \frac{M_{\Sigma}}{g}$ 。分析時我們選取了保持穩定性最困難的條件,採納了 M' 的最大值,因為穩定性隨着 M' 的增長而降低。順便指出,在我們得出的近似式中,液體體積內任意點的 φ 被認為是常數,因而等式 $M' = \frac{1}{2} \frac{M_{\Sigma}}{g}$ 就成立。

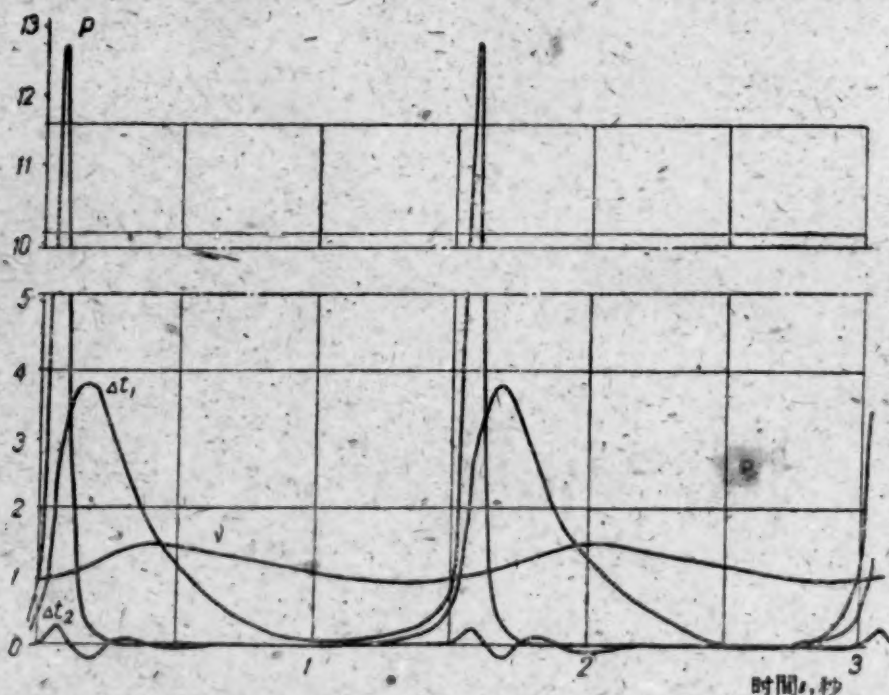
献^[7]中查得。其他为计算这些常数所需的量,即 S , M_{re} 及 N_5 、为反应堆尺寸及装载量所给定。

常数 f_1 不能从任何参数表中查得,而应加以特别探讨。因此首先指出,当温度不变时, $f_1 = \frac{W_1}{(V_{\text{H}})_0 \Delta t_0}$,或者 $f_1 \approx \frac{1}{\Delta t_0}$ 。当把方程式(2), (3a)及恒等式 $\Delta t_1 = \Delta t_0$ 加以联合时,这些关系即可得到。恒等式 $\Delta t_1 = \Delta t_0$ 的存在,对于稳态沸腾工况是很显然的。这样, Δt_0 及 f_1 值,如上所述,单值地为方程(1)及(2)所决定,也就是由活性区内水流情况来决定。同时,可定性知道,当沸腾慢化剂涡流运动增强时, f_1 值增加,而 Δt_0 减小。对于各种不同水流情况的 Δt_0 (或 f_1)的数值,目前尚不知道。但是,即使存在着这种不确定的情况,利用计算出的 f_2, f_3, f_4 等值,分析前面列出的动力学方程式,也可以查明沸腾反应堆的某些重要性能。作这样的分析时, Δt_0 值应当是任意给定的,作为反应堆工况可变参数之一。

其他参数为功率(由 $(V_{\text{H}})_0$ 及 φ_0 值所表征)及温度。

在给定的 Δt_0 及 $(V_{\text{H}})_0$ 值以及算得的 f_2, f_3, f_4 值的情况下,对于方程式(3), (4), (6)及(7)的分析表明,当系统在显著的功率极限($0 < \varphi_0 \leq 0.25$)内稳定时,则 Δt_0 值也有一定的范围。在我们选定反应堆尺寸时,这个相当于稳定工作的 Δt_0 的范围,改变在十分之几度到几度之间。它的上限随着压力的增高而升高。当 Δt_0 值越出这个范围时,无论是在较高的过热区域或是在较低的过热区域,线性近似的分析表明,即使功率很小,稳定性也消失。如果功率超出某一极限值,即使过热 Δt_0 尚处于相应的稳定工况的范围内,稳定性也消失。这个功率极限值随着 Δt_0 的增加而变小。

失去稳定性时,系统以脉冲工况工作,图中表示了在这种工况下 $P, v, \Delta t_1$ 及 Δt_2 等量随时间而改变的典型情况。在脉冲工况下,所有参数的振幅大小随着 Δt_0 的增加而增加。



在均匀型沸腾反应堆典型的脉冲工况下,功率相对值 P 、过热 Δt_1 和 Δt_2 以及水中蒸汽相对体积 v 的变化。

在 Δt_0 足够大的情况下($\sim 10^\circ\text{C}$),当扰动小时系统保持稳定的区域,可能同时就是当引入足够大的扰动后系统维持以稳态脉冲工况工作的区域。这样,当 Δt_0 相当大时,出现双工况区域。值得指出,在大的过热情况下,当功率减小时,这样的脉冲工况也可能不消失。使系统由稳定工况转入脉冲工况的扰动值,随功率的减小而增大。

如上所述, 压力增加时, 过热值(当低于此过热值时系統在所有已經研究过的功率范围内保持稳定)大大地增加。此外, 在过热相同的情况下, 当压力大时脉冲工况的振幅变小, 而当压力小时(5个绝对大气压左右)则变大。

这些結果的物理意义如下。反应堆动力学由取决于沸水运动情况的 Δt_0 值来决定; Δt_0 随着涡流运动的加强而减小。在剧烈运动时, Δt_0 值可能变为极小, 而在不剧烈运动时变为极大。在这两种情况下, Δt_0 可能越出稳定工作范围的界限。

因此, 可以通过对液体涡流运动的促进或阻碍, 来改善动力稳定性。这可以用改变活性区几何形状和引入隔板等方法来实现。

应该指出, 在推导动力学方程式时, 作了許多通常使稳定性变劣的简化。例如, 沒有估計水运动机械能的散逸, 沒有考虑到 Δt_0 在功率增加时随着水涡流运动的加速而减小(这可使功率的工作范围扩大), 除了流体动力学机理外, 未考虑其他的沸騰机理等等。因此, 在作这一分析时, 我們尽可能地选择了对于保持反应堆稳定性較困难的条件。

結 論

1. 在均匀型沸騰反应堆中, 当过热不大时(几度), 可以存在沸騰流体动力学机理。
2. 在沸騰流体动力学机理中, 稳态过热值 Δt_0 决定于反应堆內发生的沸水运动状况。 Δt_0 值可以看作是这个状况的特性。
3. 对具有沸騰流体动力学机理的反应堆的动力学方程式所进行的分析表明, Δt_0 值存在有一定范围, 此范围在頗大的功率幅度內符合于稳定的工况。当 Δt_0 值越出这个范围的界限时, 稳定性消失, 即使在功率很小的情况下, 也发生脉冲工况。 Δt_0 范围的上限随压力的增加而增高。
4. 稳定性随着慢化剂中蒸汽含量的减小、 Δt_0 的减低以及压力的增加而增高。
5. 在脉冲工况下, 所有参数的变化范围随着在水流动状况不变情况下压力的增加而减小。
6. 测量过热可做为研究体积沸騰的方法。

方程式的分析是由伊里娜(И. Л. Ильина), 克龙罗特(А. С. Кронрод), 利雅波娃(З. С. Рябова)进行的。他們作了繁复的計算和結果的分析。作者表示深切的感謝。計算的主要部分是用別斯松諾夫(Н. И. Бессонов)設計的 РВМ 计算机进行的。

阿里哈諾夫(А. И. Алиханов)和加拉宁(А. Д. Галанин)一貫关心這項工作并提出了寶貴的爭論, 作者在此向他們致以謝意。

參 考 文 獻

- [1] I. Ghormley: *Nucl. Energy*, **6**, 300 (1958).
- [2] Я. И. Френкель: *Кинетическая теория жидкостей*. М—Л., Изд-во АН СССР, 1945.
- [3] Л. Д. Ландау, Е. М. Лифшиц: *Теоретическая физика*. Т. 4—Статистическая физика. М., физматгиз, 1958.
- [4] О. Д. Хвольсон: *Курс физики*, т. III. Госиздат, 1925, стр. 510—511.
- [5] M. Plesset, S. Zwick: *J. Appl. Phys.*, **25**, 493 (1954).
- [6] M. Forster, N. Zuber: *J. Appl. Phys.*, **25**, 479 (1954).
- [7] А. И. Филимонов и др: *Теплоэнергетика*, № 10, 22 (1957).
- [8] А. Д. Галанин: *Теория ядерных реакторов на тепловых нейтронах*. М., Атомиздат, 1959.

利用过热蒸汽的鈾-石墨反应堆的 原子能电站启动工况的研究

道尔戈夫 (В. В. Долгов)

科兹洛夫 (В. Я. Козлов)

科契特科夫 (Л. А. Кочетков)

苏德尼岑 (О. А. Судницын)

烏沙科夫 (Г. Н. Ушаков)

本文敘述了利用直接在反应堆內过热蒸汽的鈾-石墨反应堆的原子能电站启动工况的研究結果。研究工作是在第一个原子能电站的汽水試驗系統中进行的。对試驗系統和各种启动方法作了描述。援引了实验工作的結果,指出各种启动方法的优缺点,根据它們的比較分析作出結論:所述类型的原子能电站可以在不加外来蒸汽源的条件启动。

已經决定,在一座正在施工的利用鈾-石墨反应堆的原子能电站,采用直接在反应堆內过热蒸汽的双迴路工艺流程^[1]。工艺流程的第一迴路包含一組反应堆的蒸发孔道,处在140—150个绝对大气压下的沸腾水(出口处蒸汽的重量含量~33%)从这些孔道中把热量带走。第二迴路包含一組蒸汽(利用第一迴路的热量在蒸汽发生器中在100个绝对大气压下产生的蒸汽)过热孔道。

所研究的工艺流程在热工学的实践中过去并没有采用过,为了制定这种流程,須要研究它的工作特性以及研究一系列与两个迴路中的物理过程有关的问题就是很自然的事了。

在应该研究的許多物理問題中有:在此种反应堆的特殊条件下,反应堆內載热剂的沸腾对反应性和載热剂的流体动力学的影响等问题。研究結果有一部分已在文献^[2,3]中闡述过。

許多工艺問題(反应堆孔道內蒸汽过热工况和电站各种启动方法等问题)也是应该研究的。

能否直接在反应堆內过热蒸汽,取决于在过渡工况中、特别是从零值提升功率时,蒸汽过热孔道(ППК)能否取得可靠的冷却。由于在提升功率的瞬間反应堆还处在“冷”态,冷却ППК所必需的蒸汽还没有,因此对于在第二迴路中取得額定参数的問題,可以提出两种原則上不同的工况。第一种是利用外来蒸汽源的启动,此时在反应堆功率上升的初始期間內ППК就用这个源的蒸汽冷却;第二种是没有外来蒸汽源的启动,此时ППК用第二迴路的載热体(水逐步被蒸汽所替换)来冷却。

本文敘述了对各种不用外来蒸汽源启动的方法的研究。

研究工作是在第一座原子能电站的反应堆上的特殊汽水試驗系統¹⁾中进行的。

图1示出了双迴路試驗系統的原理图,它基本上与未来的原子能电站的系統^[1]是类似的。

利用原子能电站反应堆的十个工艺孔道作試驗系統第一迴路的蒸发孔道。为了消除这些孔道中水流量的扩张和波动,在每个释热元件管子进口处都装有直径为2.4毫米的节流垫圈。垫圈的直径是在研究了反应堆沸腾工况下工作的单个孔道以及一大組孔道(51个)^[2,3]以后选择的。

1) 术语“試驗系統”是指这样一个試驗裝置,它包括一个或几个释热元件,再加上带泵和冷却器的循环迴路,冷却器是用来带走元件放出的热量的。

第二回路中作为蒸汽过热孔道的是原子能电站反应堆的三个工艺孔道（在有些试验中是两个），但是其中 U^{235} 的浓度比蒸发孔道的低。为了保证过渡工况下工作时的流体动力的稳定性，在所有 ППК 释热元件管子的进口处都装有直径 2.8 毫米的垫圈。垫圈的直径经过初步试验后选定。

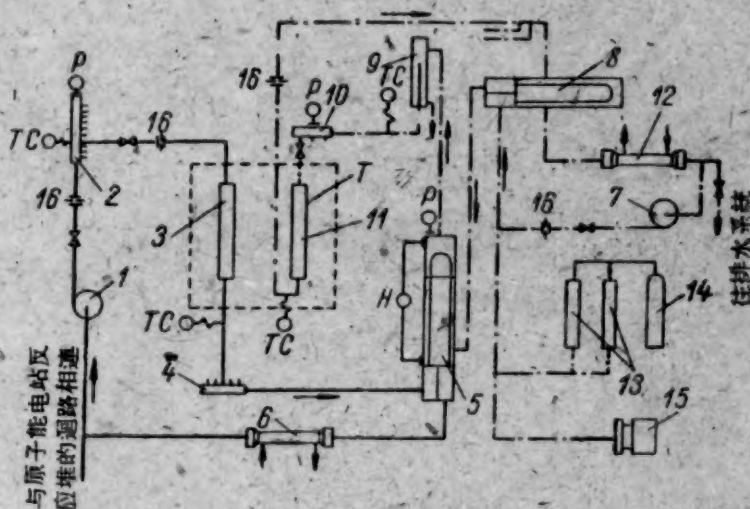


图1 双回路试验系统原理图

1——第一回路水泵；2——第一回路分配联箱；3——蒸发孔道；4——第一回路集合联箱；5——蒸发器；6——冷却器；7——第二回路水泵；8——再生热交换器；9——薄膜式分离器；10——第二回路分配联箱；11——蒸汽过热孔道；12——冷却器；13——容积补偿器；14——压缩空气瓶；15——补给水泵；16——流量计孔板；——第一回路；- - - 第二回路；TC——电阻温度计；T——热电偶；P——压力表；H——水位计。

热工参数的测量按照图1所示的原理图进行。决定这种或那种启动方法安全程度的主要参数是 ППК 释热元件的外壁温度，它用特殊热电偶测量。

在汽水试验系统中检验了三种从“冷”态过渡到过热蒸汽工况的方法。

第一种方法。在提升功率前，在 ППК 中先用水循环，其重量流量比额定蒸汽流量大3—5倍。第一和第二回路的水压以及第一回路的水流量都调整到额定值。在 ППК 出口处达到饱和温度以前，回路的加热只是依靠提升反应堆功率的办法，而不对热力系统中的设备和附件进行任何操作。应该指出，反应堆功率增长的这个阶段可以随着时间延长下去，它并不引起第二回路水的流量和压力发生重大变化；所以它实际上与第一回路的加热工况没有什么区别。

从 ППК 出口温度达到饱和温度的时候开始，由于在所研究的试验系统中再生热交换器工作特性的影响，第二回路加热过程开始加速进行。此时反应堆功率略微增加并使 ППК 中的水换为汽水混合液，以后再换为蒸汽。过渡过程按下列方式进行：ППК 进口处水温的增长导致了 ППК 出口处蒸汽含量的增加，同时，也由于流体阻力的增长，以及作为其结果的载热剂流量的减少，使得孔道中蒸汽含量进一步增加。此时一部分水用排气的办法从第二回路排走。过渡过程结束阶段的标志是蒸发器中水位的显现和降低，此时近乎干的饱和蒸汽开始进入 ППК。蒸发器中水位的显现常常带来压力的增长和各个孔道载热剂流量的稳定。只是在此之后才发现释热元件温度以及 ППК 出口处蒸汽温度急剧的、具有危机性的增长。在这个时候过渡过程实质上才告结束，并确定了稳定的额定参数：蒸发器中蒸汽压力为 60 工程大气压、通过一个 ППК 的蒸汽流量为 500 公斤/时、过热蒸汽温度为 370°C、释热元件的最高温度为 470°C。

过渡工况中特性参数变化的典型曲线图示于图2和图3。

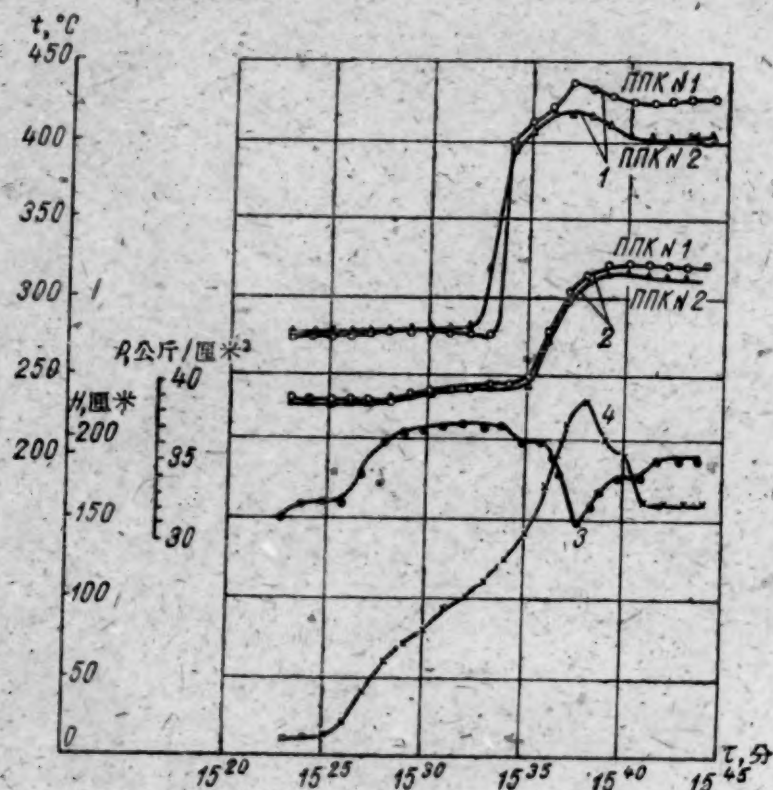


图2 在迅速提升功率时,在第一种起动方法工况中,試驗系統第二迴路参数随时间的变化。

1——释热元件温度； 2——蒸汽过热孔道出口处的蒸汽温度； 3——蒸发器中第二迴路载热剂的压力； 4——从上面一点开始计算的蒸发器中的水位。

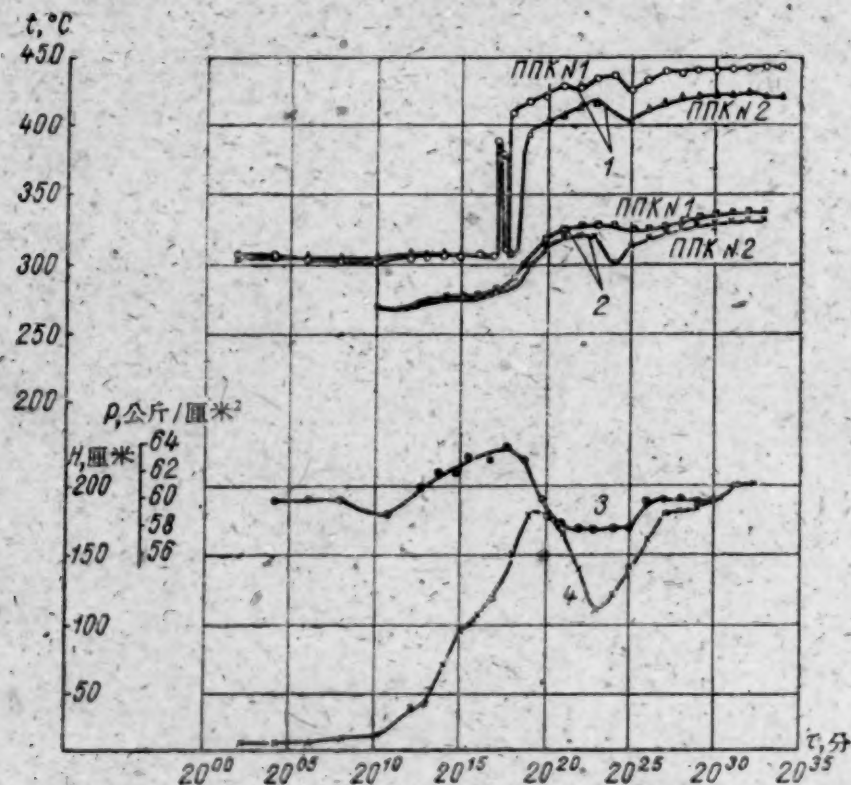


图3 在慢速提升功率时,在第一种起动方法工况中,試驗系統第二迴路参数随时间的变化(記号与图2上的相同)。

第二种方法。 系統加热的方法与利用第一种方法时一样。在 $\Pi\Pi K$ 出口处的水加热到沸腾温度后,反应堆功率就降低到可控制的最低水平。此后馬上开始对試驗系統的第二迴路強烈排气,由于排气的結果,迴路中压力降低,在最热的地段(首先在 $\Pi\Pi K$ 及其后面的管道

中) 水开始沸腾。随着水从回路中的不断排走, ППК 进口处载热剂流的蒸汽含量增加, 并在一定压力下达到 100%。从这个时候开始 ППК 实际上被蒸汽所冷却。这样, 利用第二种方法的过渡过程 (ППК 中的水被蒸汽替换) 是在反应堆处在可控制的最低功率下实现的。此后反应堆功率升高, 以使蒸汽过热工况稳定下来, 并把压力提高到额定值。

当水被蒸汽替换时, 只是发现了 ППК 释热元件和孔道出口处载热体的温度降低, 而这些温度并没有变化。图 4 列出利用第二种方法的过渡过程中特性参数的变化曲线。

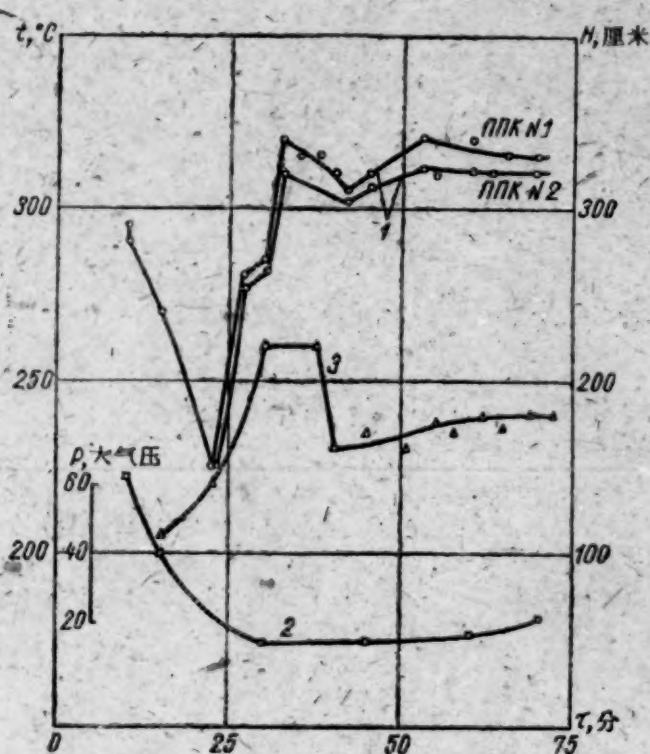


图 4 在第二种启动方法的工况中, 试验系统第二回路参数随时间的变化。

1——释热元件温度; 2——蒸发器中压力; 3——从上面一点开始计算的蒸发器中的水位。

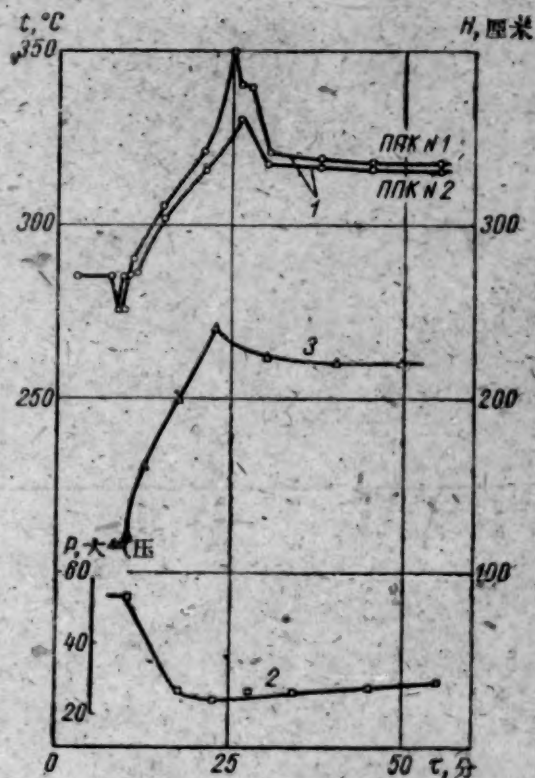


图 5 在第三种启动方法的工况中, 试验系统第二回路参数随时间的变化 (记号与图 4 上的相同)。

第三种方法。 系统用类似于上述的方法加热。过渡过程分两个阶段实现。过程的主要部分——从水沸腾和开始排气的瞬间到 ППК 中载热剂流量达到稳定——实际上是在与第二回路中水开始沸腾时的功率的同一水平下进行的。过热蒸汽的过渡过程的结尾是在反应堆降低了功率下完成的。在所做的试验中这个值约为试验系统额定功率的 30%。在低功率下得到过热蒸汽以后, 把功率提升到额定值。功率提升速度只是取决于释热元件温度增长的容许速度和过热蒸汽的容许速度。过渡过程中参数的典型变化示于图 5。

结 果 讨 论

对于达到过热蒸汽额定工况的各种方法的分析应根据下面这些明显的要求进行:

- 1) 启动方法应该允许把功率很快地从零值提升到额定值;
- 2) 过渡工况中释热元件的最高温度不应超过稳定的额定工况下释热元件的最高温度;
- 3) 在过渡工况中很重要的一点是保证释热元件的温度在时间上是平稳的上升;
- 4) 启动方法应该使工艺设备的操作次数最少。

实现过渡过程的第一种方法 (见图 2, 3) 的特点如下:

- 1) 释热元件温度急剧的 (在 1 分钟内) 增加 100—150°C, 具有危险性;

2) 由于进口联箱的分离作用, 試驗系統的各个 ППК 不能同时达到过热工况;

3) 第二迴路中压力有很大的变化, 这就使得这个迴路必須強烈排气。

为了闡明在过渡过程中, 蒸发器内的压力对释热元件温度变化的影响, 曾作了第二迴路处于不同压力下的許多实验。結果确定: 随着蒸发器内压力的增加, 达到过热工况以后的释热元件最高温度值增高 (图 6), 但释热元件温度的突变减小 (图 7)。

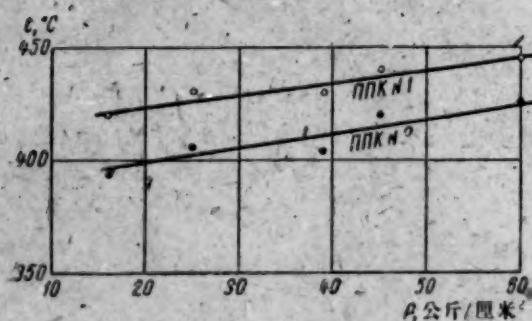


图 6 释热元件温度与其冷却蒸汽压力之间的关系。

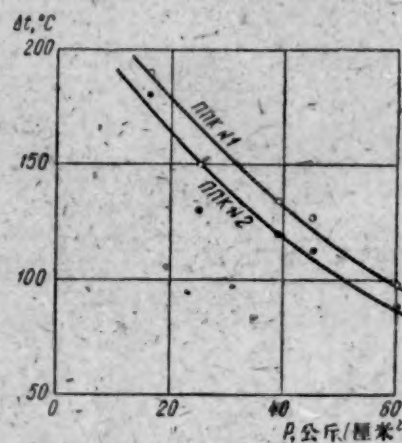


图 7 (按第一种方法的) 起动工况中蒸汽过热孔道释热元件温度的突变与工作压力的关系。

应该指出: 功率提升速度实际上并不影响温度急剧上升所耗的时间, 即不影响一次突变的时间, 但是影响到这类突变的次数: 当提升功率的速度小于一定值时, 释热元件温度会发生多次的增高和降低, 在速度高时变化则是单次的 (见图 2)。

第二种方法保证了 ППК 在过渡过程中得到可靠的冷却, 因为整个过程是在反应堆最低功率下实现的。但是, 如图 4 所示, 在该情况下温度 (由于反应堆功率和压力的降低) 急剧降低, 紧接着 (由于反应堆功率的增长) 又急剧升高。

反应堆功率降低的速度和随之而来的試驗系統第二迴路压力的降低, 取决于系統的热容量和热损失量。显然, 具有较大热容量的系統可以降低迴路压力, 可用較小的速度降低和升高反应堆的功率, 因而, 也就在很大程度上消除了此种方法所固有的、载热体和金属结构温度变化快的缺点。

第三种方法可以把温度突变縮減到最小。由于同第一种和第二种方法的结果都有些接近, 可以順利地做到这一点。温度的向上突变, 在达到过热工况瞬間之前用降低功率的办法予以防止, 温度的向下突变则利用少許降低功率和縮短 ППК 排气时间的办法使其减小。如图 5 所示: 利用第三种方法的过渡过程有較平稳的特性。

所做的实验首先表明: 直接在反应堆内过热蒸汽的热力迴路原则上是可以实现的。由于第三种方法的过渡工况中 ППК 释热元件温度沒有急剧的变化, 从而可认为这种方法对于具有中等和較高蒸汽参数的原子能电站是最合乎工艺学和最可行的。

起动电站的第一种方法比較簡單, 因此可作出这样的結論: 它可以在第二迴路蒸汽压力較高的电站中应用, 因为随着压力的增长, ППК 释热元件温度的突变将减小。

但是应该指出: 具有断开第二迴路的电站的实际流程要求对于在試驗系統中所探討的起动方法作某些修正。

在解决技术問題中有阿列申科夫 (П. И. Алещенков) 所领导的工程师小組参加。

原子能电站的全体人員对实验工作作了很大的贡献。

作者向克拉辛 (А. К. Красин) 和格里果里揚茨 (А. Н. Григорьянц) 对本工作的注意和經常关心表示感謝。

参 考 文 献

- [1] Н. А. Доллежалъ: *Атомная энергия*, III, № 11, 391 (1957).
- [2] Н. А. Доллежалъ и др: *Атомная энергия*, 5, вып. 3, 223 (1958).
- [3] Н. А. Доллежалъ и др: Тр. Второй международной конференции по мирному использованию атомной энергии (Женева, 1958). Докл. советских ученых. Т. 2 — Ядерные реакторы и ядерная энергетика. М., Атомиздат, 1959, стр. 15.

能量为 0.04—4.0 兆电子伏的中子 分裂 Pu^{240} 的截面

涅斯杰洛夫 (В. Г. Нестеров)

斯米林金 (Г. Н. Смиренин)

无论从实验检验关于裂变几率随能量变化的理论概念方面, 或者从能够利用 Pu^{240} 作为快中子反应堆的核燃料方面来讲, 详细地研究 Pu^{240} 原子核的裂变截面都是很有意义的。

测量了能量 $E_n = 0.04 - 4.0$ 兆电子伏的快中子对 Pu^{240} 的有效裂变截面与能量的关系。用 $\text{T}(p, n)\text{He}^3$ 反应作为中子源。在坪 (1—4 兆电子伏) 区内, Pu^{240} 的裂变截面为 ~ 1.6 靶; 当中子能量 $E_n \approx 0.7$ 兆电子伏时, 减小二分之一。随 E_n 减小到 0.3 兆电子伏, 裂变截面很快地降低; 当 E_n 进一步减小时, 截面的下降比较缓慢, 当中子能量为 $0.04 < E_n < 0.15$ 兆电子伏时, 截面实际上为一个常数 (~ 0.065 靶)。讨论了 Pu^{240} 原子核裂变截面曲线的不规则性和对应于非弹性散射道的能级之间的相互关联。

文献 [1, 2] 引述了快中子分裂 Pu^{240} 截面的能量关系。对 Ra—Be 源和若干光中子源也测量了一系列 Pu^{240} 的裂变截面值^[3]。在以上这些工作中所得到的裂变截面数据, 在中子能量 $E_n > 0.3$ 兆电子伏范围内彼此相符甚佳, 在实验误差范围内这些数据位于同一条曲线上。当 $E_n < 0.3$ 兆电子伏时, 文献 [1, 2] 中所列出的截面值彼此便有差异。以前我们曾查明^[4], 在 1—0.3 兆电子伏的能量范围内所观察到的截面是急剧下降, 在能量较小时变得较倾斜。而文献 [2] 的数据证明, 在 $E_n < 0.3$ 兆电子伏范围内, Pu^{240} 的裂变截面仍旧继续急剧下降。

本文的目的是为了较详细地研究 Pu^{240} 裂变截面与能量的关系, 并进一步明确 $E_n < 0.3$ 兆电子伏范围的截面。无论从实验检验裂变几率与能量关系的理论概念方面, 或者从能够利用 Pu^{240} 作为快中子反应堆核燃料方面来讲^[5], 详细地研究 Pu^{240} 原子核的裂变截面是很有意义的。

实验方法 利用实验法测量了 Pu^{240} 和 Pu^{239} 的裂变截面比。通过双裂变电离室测量。电离室中厚 ~ 0.2 毫克/厘米² 的 Pu^{240} 层和 Pu^{239} 层, 都在同一高压电极上, 因此它们受到相同的中子流照射。由于电离室的电极采用了较好的几何形状, 充了低压 (120 毫米汞柱) 的氩气 (93%) 和二氧化碳 (7%) 的混合气体以及采用了通频带上限为 10 兆周的宽频放大器, 我们成功地获得了良好的电离室计数特性, 而且还能可靠地分辨裂变碎片和 α 粒子的多次迭加的脉冲。这样可以几乎 100% 的记录裂变的次数和避免碎片角分布的各向异性效应。

在重 4 毫克的 Pu^{239} 层中含有 $\alpha_0 = 1.80 \pm 0.05\%$ 的 Pu^{240} 核, 在重 2.5 毫克的 Pu^{240} 层中 Pu^{239} 的浓度为 $7.35 \pm 0.15\%$ 。在 Pu^{239} 层中 Pu^{241} 核的含量小可以忽略, 而在 Pu^{240} 层中小于 0.2%。

利用 $\text{T}(p, n)\text{He}^3$ 反应作为单色快中子源。该反应是在加速质子最大能量达 5 兆电子伏的范德格喇夫静电加速器上实现的。所研究的中子能量区间由改变质子能量和质子束方向与电离室轴之间的夹角来获得。在 $0.3 < E_n < 4$ 兆电子伏范围内测量时, 铀层垂直于质子束放置 (电离室轴与中子射入铀层的方向之间的最大夹角为 20°)。

双裂变电离室的装置与实验示意图示于图 1。在这些实验中利用了厚 0.2 毫米铝垫片上

的固体氚靶(质子的能量损失为 25 仟电子伏)。在 $E_n < 0.3$ 兆电子伏范围内测量时,为了改善角和能量的分辨率,裂变物质层放在与中子方向相一致的平面内(中子相对于质子束在 θ 角下飞出, θ 角从 30° 到 75°),如图 2 所示。实验中应用了能量损失为 45 仟电子伏的靶。在氚层中引起裂变的中子的角发散不超过 5° 。在测量时裂变电离室的周围用厚 0.5 毫米的铜套包围起来。

在该能量区间内测量了水平线 $\frac{N_{40}}{N_{39}}$ 的值,它是 Pu^{240} 和 Pu^{239} 层中裂变数之比。为了确定在电离室两部分内可裂变物质有效数量之比,曾测量了热中子流照射下的裂变强度比 $\frac{N_{40}^T}{N_{39}^T}$,热中子是由快中子在石蜡块中慢化得到的。穿过石蜡后的共振中子和快中子的裂变作用可以用铜差的方法消除。根据我们现有的质谱分析结果,可以确定出直接包含在裂变截面计算公式中

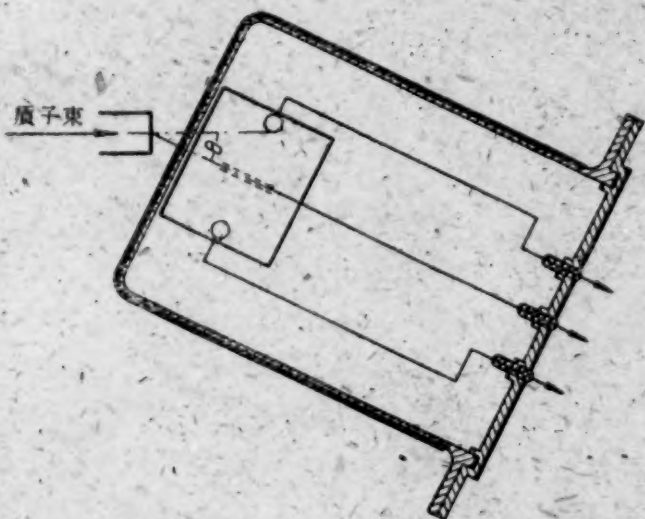


图 2 在 30° — 75° 角度下测量时的实验示意图

分裂 Pu^{240} 的截面取作零(根据文献[5])。如果考虑到在所用的样品中有 Pu^{241} 核,那么在 Pu^{240} 裂变截面中可引入不大的修正值,当 E_n 从 0.1 增加到 1 兆电子伏时,该修正值由 3% 减小到 0.2%。 Pu^{239} 裂变截面与能量关系(计算 Pu^{240} 裂变截面与能量关系的绝对值时应用的)是根据文献[2, 6]的数据采用平均方法得到的。

测量结果及其讨论 根据若干组测量数据平均后所得到的 Pu^{240} 裂变截面与能量的关系示于图 3 和图 4。图 4 中所表明的比值 $\frac{\sigma_{40}}{\sigma_{39}}$ 的测量误差基本上由 A, α_0, C 值的统计误差决定,在坪区(1—4 兆电子伏)内达 $\sim 4\%$,在 Pu^{240} 裂变截面急剧下降的区域(0.3—1 兆电子伏)内为 ~ 5 — 10% ,当 $E_n < 0.3$ 兆电子伏时为 ~ 10 — 20% 。在 $E_n < 0.3$ 兆电子伏范围内, $\frac{\sigma_{40}}{\sigma_{39}}$ 测量的最终误差的主要成份是由减去大量 Pu^{240} 的自发裂变(~ 0.5 裂变/秒,达记录裂变总数的

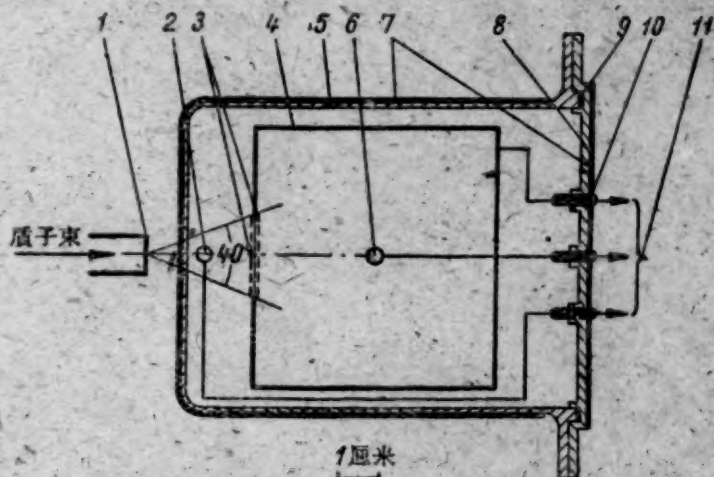


图 1 实验示意图和在 0° 角下测量的双裂变电离室

1—靶; 2—带 Pu^{239} 的电离室的集电电极; 3— Pu^{239} 和 Pu^{240} 层; 4—总高压电极; 5—电离室外壳; 6—带 Pu^{240} 的电离室的集电电极; 7—铜套; 8—电离室底部; 9—胶皮垫; 10—塑料绝缘体; 11—输出接线。

的 α (即 Pu^{240} 样品中 Pu^{240} 和 Pu^{239} 原子核数目之比)的精确度 $\sim 10\%$ 。 α 值和上述 Pu^{240} 层中 Pu^{239} 原子核的浓度值是用比较电离室两部分中自发裂变强度和热中子作用下的裂变强度的方法确定的。多组测量的结果得到 $C = \alpha/\alpha_0 = 675 \pm 15$ 。在 Pu^{239} 样品中 Pu^{240} 对 Pu^{239} 原子核数目之比以前曾用几种互不相同的方法测量过。 Pu^{240} 的裂变截面可以用下列公式,通过几个实验测定的值来表示:

$$\sigma_{40} = \sigma_{39} \frac{A - 1}{\alpha_0(C - A)},$$

式中 $A = \frac{N_{40}}{N_{39}} \frac{N_{39}^T}{N_{40}^T}$ 。在这个公式中热中子

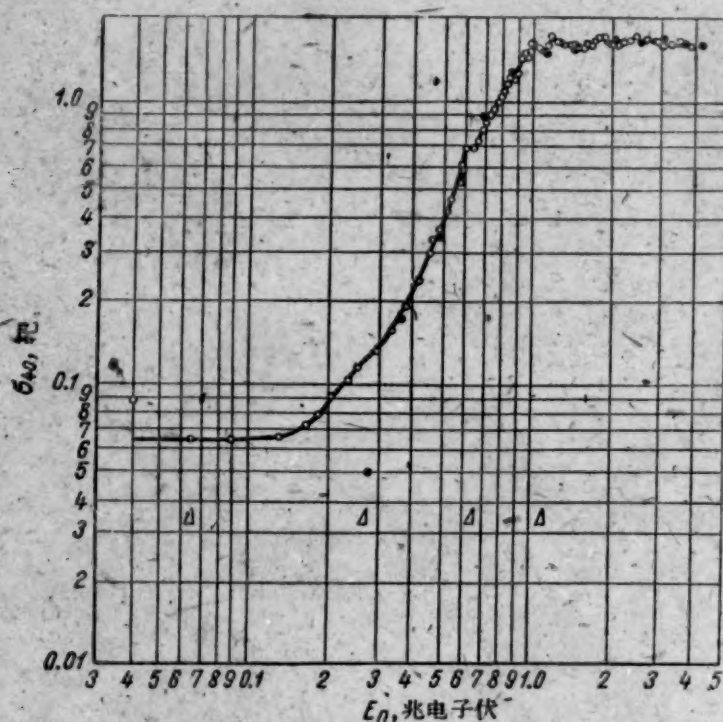


图3 在 $E_n=0.04-4$ 兆电子伏范围内 Pu^{240} 裂变截面与能量的关系。

○——本文的数据； ●——文献[2]的数据。

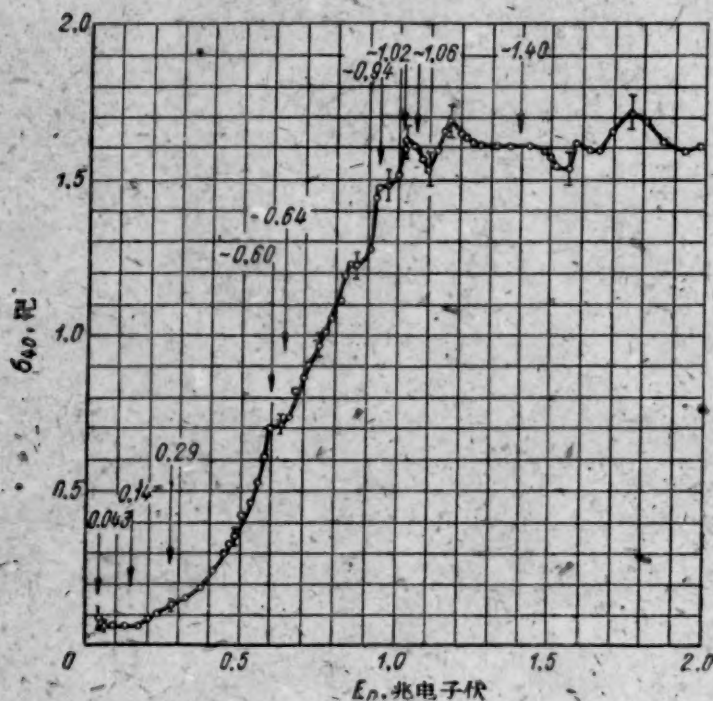


图4 在 $E_n=0.04-2$ 兆电子伏范围内 Pu^{240} 裂变截面与能量的关系。

箭头表示 Pu^{240} 原子核已知能级的位置^[9]。

在 Pu^{240} 的裂变截面与能量的关系中发现一系列不规则性，这些不规则性是在正的 E_n 范围内具有能阈的所有偶-偶同位素裂变截面曲线所特有的。在能阈范围和坪开始一段下陷的地方裂变截面增长变慢的效应，正如文献[8]所指出的，可以用开放的非弹性散射道的影响来解释；换句话说，分宽度与中子宽度相竞争。根据这些概念，在 Pu^{240} 裂变截面曲线中所讨论的特征位置与自旋值不大的靶核的能级相对应。从图4可以看到，在所测量的 Pu^{240} 裂变截面与能量的关系中的不规则性与 Pu^{240} 核已知能级（取自文献[9]）： ~ 0.6 兆电子伏（ 1^- ）， ~ 0.64 兆电子伏（ 3^- ）， ~ 0.940 兆电子伏（ 0^+ ）， ~ 1.02 兆电子伏（ 2^+ ）， ~ 1.06 兆电子伏（ 3^+ ）和 ~ 1.4 兆电子伏

（ $50-80\%$ ）后所得出的误差，在测量的持续时间内 Pu^{240} 层中自发裂变计数的均方误差不大于2%，能量分辨率 Δ （即引起裂变的中子在分布曲线半高度处量分布宽度）由靶的厚度和照射时的立体角决定。图3所示的 Δ 值随着中子能量的增加从15增大到35千电子伏。由靶和电离室中散射的中子所引起的本底在 0° 角的实验中不超过1.5%，而在其他角度下测量时不超过5%。在坪区内 Pu^{240} 的裂变截面在考虑了 Pu^{239} 裂变截面的误差（5%）后为 1.65 ± 0.1 靶，当 $E_n < 1$ 兆电子伏时急剧地下降，当 $E_n \sim 0.7$ 兆电子伏时减小了二分之一。到 $E_n \sim 0.3$ 兆电子伏， Pu^{240} 的裂变截面还继续急剧下降，而到 $E_n \sim 0.15$ 兆电子伏，截面才较缓慢地减小，达到 0.065 ± 0.02 靶，此后直到 $E_n = 0.04$ 兆电子伏，截面实际上保持不变。在 $E_n < 0.3$ 兆电子伏时， Pu^{240} 裂变截面比较小的变化与文献[2]的结果以及现有的关于能阈附近裂变几率指数变化的概念不符合。由于可能引起类似的效应，我们研究了铀上中子引起的 Pu^{240} 裂变以及能量 ~ 20 兆电子伏的 γ 射线的光致分裂， γ 射线是由 $\text{T}(p, \gamma)\text{He}^4$ 反应放出的（曾证明，在 Pu^{240} 裂变截面的测量值中，这两个过程的作用可以忽略）。 Pu^{240} 和 Np^{237} 的裂变沿铀反射层反应堆 BP-1 半径的分布曲线不同，也证明对本文的结果有利^[4]（图5）。在 $E_n > 0.3$ 兆电子伏范围内 Pu^{240} 和 Np^{237} 的截面^[2,7] 实际上是相同的。看来，图5中的两条曲线之间的差别随离堆心距离增大而增加以及中子谱的软化是由低能（ E_n ）时 Pu^{240} 和 Np^{237} 裂变截面曲线的不同而引起的。

(1⁻)的位置有关。除这些 E_n 值外, Pu^{240} 的裂变截面在 $E_n \sim 0.8-0.9$ 兆电子伏范围内发现阶跃变化。正如图 4 中所指出的, 由本文相对测量所得的精确度, 可以有把握地判定 Pu^{240} 裂变截面曲线中有一些明显的特征位置。利用快中子全波监测器所做的 Pu^{239} 裂变截面相对行径的测量证明, 所观察到的 Pu^{240} 裂变截面的不规则性不可能由 Pu^{239} 裂变截面与能量关系中的类似效应决定。

当 $E_n < 0.3$ 兆电子伏时 Pu^{240} 裂变截面其中一种可能的解释假定是: Pu^{240} 的裂变能阈低于 40 千电子伏, 而在 $0.04 < E_n < 0.3$ 兆电子伏范围内 Pu^{240} 裂变截面不变, 并当 $0.15 < E_n < 0.3$ 兆电子伏时这个截面较慢的增加, 这是由于能量为 43 和 142 千电子伏的能级上(分别为 2^+ 和 4^+)^[9] 非弹性散射相竞争的缘故所决定的。 U^{238} ^[10] 原子核在低能 E_n 时非弹性散射多半通过这些能级, 从这个例子出发, 自然假定, 在 Pu^{240} 核散射的情况下, 这些能级对这个 E_n 范围的 Pu^{240} 裂变截面曲线有重大的影响。所观察到的结果也并不与通过两个道进行裂变的可能性相矛盾, 一个道在 $E_n \sim 0.6-0.7$ 兆电子伏时具有能阈, 而另一个道看来在非常低的 E_n (一般在 $E_n < 0$ 的范围内)时才开放。也必须指出, 低能时裂变截面急剧下降的破坏不是 Pu^{240} 核单独的特性。类似的趋向不仅在 U^{238} 原子核裂变截面曲线行径中, 而且在较低的程度对于 U^{235} 核也都曾发现过^[2]。文献[7]中也发现了当 $E_n < 0.2$ 兆电子伏时 Np^{237} 的裂变截面是不变的 (~ 20 毫靶)。

作者深深感谢列依普斯基 (А. И. Лейпунский) 和庞达连柯 (И. И. Бондаренко) 对本工作的关注, 乌沙乔夫 (Л. Н. Усачев) 对所得结果的讨论, 巴拉诺夫 (Ю. И. Баранов) 和托克曼切娃 (Н. Е. Токманцева) 参加了测量。罗曼诺夫 (В. А. Романов)、斯特里金 (Г. А. Стригин) 和帕尔费诺夫 (Ю. И. Парфенов) 保证了加速器的正常运转, 作者也表示感谢。

参 考 文 献

- [1] В. Г. Нестеров, Г. Н. Смиренин: *Ж. эксперим. и теор. физ.*, **35**, 533 (1958).
- [2] D. Hughes, R. Schwartz: *Neutron Cross Sections*, BNL-4 (1958).
- [3] Г. А. Дорофеев, Ю. П. Добрынин: *Атомная энергия*, **II**, № 1, 10 (1957).
- [4] А. И. Лейпунский и др: Тр. Второй международной конференции по мирному использованию атомной энергии (Женева, 1958). Докл. советских ученых. Т. 2—Ядерные реакторы и ядерная энергетика. М., Атомиздат, 1959, стр. 377.
- [5] C. Bigham, *Canad. J. Phys.*, **36**, 503 (1958).
- [6] А. Хеммендингер: Тр. Второй международной конференции по мирному использованию атомной энергии (Женева, 1958). Избр. докл. иностранных ученых. Т. 2—Нейтронная физика. М., Атомиздат, 1959, стр. 89.
- [7] Б. М. Гохберг, Г. А. Отрошенко, В. А. Шигин: Докл. АН СССР, **128**, 1157 (1959).
- [8] Дж. Уилер: *Атомная энергия*, № 5, 71 (1956).
- [9] Б. С. Джеленов, Л. К. Пекер: Схемы распада радиоактивных ядер. М., Изд-во АН СССР, 1958, стр. 739.
- [10] L. Cränberg, J. Levin: *Phys. Rev.*, **109**, 2063 (1958).

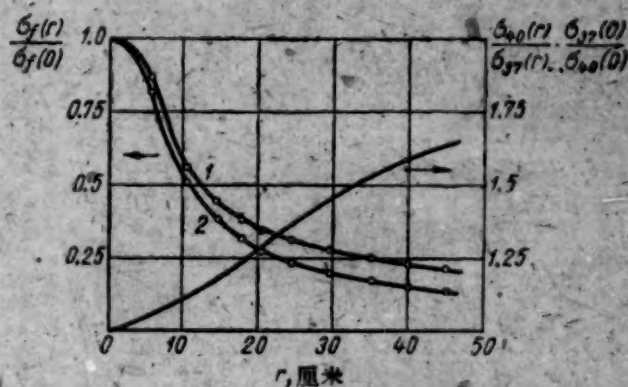


图 5 Pu^{240} (曲线 1) 和 Np^{237} (曲线 2) 的裂变截面对 Pu^{239} 裂变截面的比值与离 Br-1 反应堆中心的距离的关系。

在活性区中心比值取作 1, $\frac{\sigma_{40}(r)}{\sigma_{37}(r)} \cdot \frac{\sigma_{37}(0)}{\sigma_{40}(0)}$ 相对于堆心裂变截面的 Pu^{240} 和 Np^{237} 的裂变截面之比。

論应用鉛同位素組分普查鈾矿的問題

苏拉日斯基(Д. Я. Суражский)

圖加林諾夫(А. И. Тугаринов)

文中探討了出現異常鉛的或然性原因,以及利用鉛中同位素異常普查鈾矿床的可能性。推測,鉛中放射生成同位素(Pb^{207} , Pb^{206})含量显著昇高的現象,是由下列諸地質作用所决定的:1)由于老的鈾矿床受到激烈侵蝕而使年輕沉积物迅速堆积起来;2)在岩浆作用之前早已产生的含鈾岩石,受岩浆的同化作用和发生深成花崗岩化作用;3)鈾矿体的热液变质作用;4)鈾矿床氧化帶內的表生作用。

地壳中的鉛是由四种同位素組成: Pb^{204} , Pb^{206} , Pb^{207} , Pb^{208} 。同位素 Pb^{206} , Pb^{207} 和 Pb^{208} 相应为 U^{238} , U^{235} 和 Th^{232} 系的核反应最終产物; Pb^{204} 沒有放射性前体。

岩石中鈾和釷的放射性蜕变使地壳中放射生成鉛含量不断增加,而 Pb^{204} 的含量大概仍旧是地球形成时刻¹⁾的含量。因此,一般都用不断增长的比值 $\frac{Pb^{206}}{Pb^{204}}$, $\frac{Pb^{207}}{Pb^{204}}$ 和 $\frac{Pb^{208}}{Pb^{204}}$ 来表示天然鉛的同位素成分的演变^[1]。

当全部的鉛(包括原生的和新形成的)还未从岩浆熔体中或岩石中分出来,并且形成鉛矿体(实际上不含放射性元素)之前,原生鉛一直是在被放射生成同位素加浓。在这种情况下,鉛的同位素成分保持与成矿时期相同的成分。

鉛的各种同位素在地壳中相对分布率,基本上是時間函数,并且与時間的关系一般是用鉛-鉛法来測定絕對年齡时所利用的关系:

$$\frac{Pb^{206}}{Pb^{204}} = 19.04 - 12.15(e^{0.154t} - 1); \quad (1)$$

$$\frac{Pb^{207}}{Pb^{204}} = 15.69 - 0.089(e^{0.972t} - 1); \quad (2)$$

$$\frac{Pb^{208}}{Pb^{204}} = 39.00 - 46.48(e^{0.0499t} - 1), \quad (3)$$

式中 t ——矿物的年齡,以 10^9 年为单位; 19.04; 15.69; 39.00 ——太平洋現代淤泥的鉛中 $\frac{Pb^{206}}{Pb^{204}}$, $\frac{Pb^{207}}{Pb^{204}}$, $\frac{Pb^{208}}{Pb^{204}}$ 的比值; 12.15; 0.089; 46.48 ——根据現在采用的克拉克值 $U^{238} = 3 \cdot 10^{-4}\%$, $\frac{U^{235}}{U^{238}} = \frac{1}{138}$, $\frac{Th}{U} = 3.7$, $Pb = 1.6 \cdot 10^{-3}\%$ 所算出来的系数; $0.154 \cdot 10^{-9}$ 年 $^{-1}$; $0.972 \cdot 10^{-9}$ 年 $^{-1}$; $0.0499 \cdot 10^{-9}$ 年 $^{-1}$ ——相应为 U^{238} , U^{235} 和 Th^{232} 的蜕变常数。

地壳中 $\frac{Pb^{206}}{Pb^{204}}$, $\frac{Pb^{207}}{Pb^{204}}$ 和 $\frac{Pb^{208}}{Pb^{204}}$ 的比值随地質時間而发生的变化示于图 1。

自然,当母岩中,或与鉛矿石相結合的岩浆中,鈾、釷和鉛的含量与其在地壳中的平均含量相差很大时,能产生这样一种鉛,即它的同位素成分不同于表征該时代的鉛的平均成分^[2]。譬如,把与西伯利亚陆台的暗色建造有关的^[3,4],而且是古生代末-中生代初形成的矿点中鉛的

1) 假設从宇宙中或地球深处并没有大量的非放射性鉛。

同位素比值(表1),拿来同成因上与薩克松尼亚、北高加索、乌克兰和中亚西亚的,上华力西花崗岩类^[5-8]有关的矿点中鉛的同位素比值(表2)作一比較,就能明显地看出这点。

鉛的同位素成分大致相当于矿石年龄者,一般称为正常鉛,或称普通鉛。放射生成同位素的含量大大多于正常比例数的鉛,称为异常鉛。异常鉛主要見于有鈾矿床的区域^[9](表3)。在一般情况下,它的出現与岩浆熔体或母岩中鈾含量的增高有关。这种异常的原因并不是經常很清楚的。对此问题的实际資料的分析表明,能够促进异常鉛出現的有下述几种地质作用:

1. 在早先产生的鈾矿床遭受強烈侵蝕的区域,形成沉积物和沉积成因的鉛矿。侵蝕作用愈激烈,被侵蝕的矿床与所形成的沉积物之間的年龄差別愈大,堆积区域愈有限(岸带,山間盆地等),則鉛的同位素成分异常表現得愈明显。

在中亚細亚,凡是在侏罗紀前沉积物中的鉛具有

表1 与西伯利亚陆台之暗色建造有关的矿点中鉛的同位素成分

(根据維諾格拉多夫(А. П. Виноградов),莫尔(Г. Г. Моор),

澤科夫(С. И. Зыков)和塔拉索夫的資料(Л. С. Тарасов)^[8,11])

取 样 地 点	矿 样	鉛 的 同 位 素 成 分		
		$\frac{Pb^{206}}{Pb^{204}}$	$\frac{Pb^{207}}{Pb^{204}}$	$\frac{Pb^{208}}{Pb^{204}}$
諾里爾斯克矿床	黄銅矿中之鉛	17.81	15.24	37.54
同 上	鉑金中之鉛	17.90	15.29	37.53
同 上	方鉛矿中之鉛	17.88	15.27	37.50
泰 麦 尔 湖	方鉛矿	17.84	15.03	37.07
泰·麦 尔 区	”	17.96	15.38	37.87
中通古斯卡河	志留系石灰岩中的方鉛矿夹脉	17.97	15.35	37.72
科 图 依 河	脉状正长岩中的方鉛矿	17.98	15.36	37.65
7次測定的平均值.....		17.90	15.27	37.55
2亿年前地壳中鉛的同位素成分.....		18.66	15.67	38.54

表2 与薩克松尼亚、北高加索、乌克兰和中亚細亚花崗岩类有关的上华力西年代的矿点中鉛的同位素成分

(根据維諾格拉多夫,图加林諾夫,澤科夫等的資料^[5-8])

区 域	鉛 的 同 位 素 成 分		
	$\frac{Pb^{206}}{Pb^{204}}$	$\frac{Pb^{207}}{Pb^{204}}$	$\frac{Pb^{208}}{Pb^{204}}$
薩克松尼亚(7次測定的平均值)	18.24	15.26	37.12
北高加索(5次測定的平均值)	18.01	15.22	37.25
乌克兰(3次測定的平均值)	18.48	15.92	39.22
中亚細亚(9次測定的平均值)	18.52	15.93	38.75
2亿5千万年前地壳中鉛的同位素成分.....	18.50	15.66	38.40

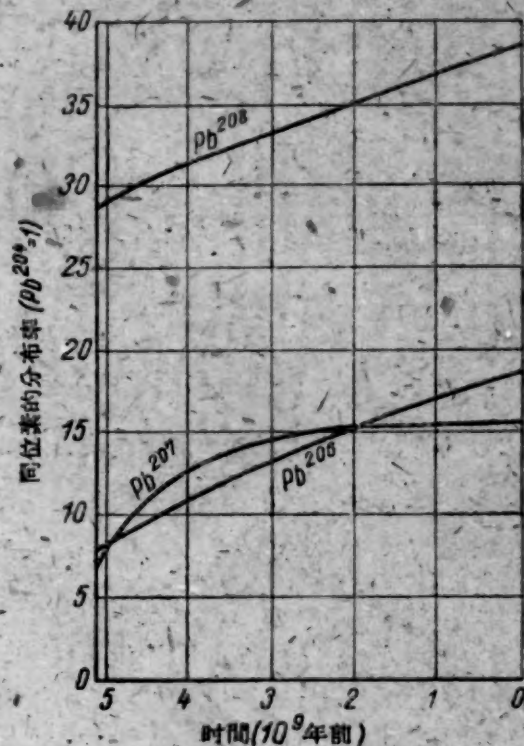


图1 作为時間函数的鉛的同位素的分布率 ($Pb^{204}=1$)^[9]

表3 某些铀矿床的方铅矿中铅的同位素成分^[9]

矿床	铅的同位素成分		
	$\frac{Pb^{206}}{Pb^{204}}$	$\frac{Pb^{207}}{Pb^{204}}$	$\frac{Pb^{208}}{Pb^{204}}$
美国, 科罗拉多, 赫皮捷克玛因.	92.62	20.12	37.77
美国, 科罗拉多, 蒙尤明特 No.2	88.81	18.75	36.36
南非联邦, 维特瓦特尔斯兰	58.94	24.10	40.19
加拿大, 布兰德河, 阿里哥姆	34.00	15.08	44.26
同上	59.48	18.61	52.49
加拿大, 安大略, 肖德贝里	26.00	16.94	52.21

正常的同位素成分, 而侏罗纪以后——即华力西铀矿和钍矿受到强烈侵蚀时期形成的沉积物中的铅具有异常成分, Pb^{206} 和 Pb^{208} 的含量剧烈增高的地方, 就发现这种明显异常的良好例子(表4).

表4 中亚细亚多金属矿床中铅的同位素成分^[1,8]

矿床类型	铅的同位素成分		
	Pb^{206}	Pb^{207}	Pb^{208}
泥盆和石炭系灰岩中的层状矿床(11次测定的平均值)	17.52	15.31	37.76
海西期砂页岩矿床和脉状矿床	18.52	15.93	38.75
白垩系灰岩中的浸染矿床和层状矿床	19.55	16.17	39.79

沉积物堆积时形成的这种堆积成因的异常铅, 发生再生作用就可形成密苏里类型的含异常铅的脉状矿和交代矿.

2. 铀含量较高的沉积物, 被岩浆同化和发生深成花岗岩化. 当岩浆活动开始前不久产生的含铀沉积物被岩浆同化时, 例如, 在地槽带内, 沉积物迅速地深深下沉, 此后地槽带又立刻回返, 那么就不太可能出现异常铅. 这是必然的, 因为在形成沉积岩和出现侵入活动之间的一段短时间内, 沉积岩层中不可能堆积显著数量的含铀铅. 其中萨克松尼亚和北高加索就是岩浆作用发育在年龄相近的沉积岩层中的(表2)这样地区的实例.

放射性元素含量较高的而且形成年代大大早于侵入体的老沉积岩层, 受到岩浆的同化作用或发生花岗岩化时, 应承认极可能在伴随铀矿石的方铅矿中出现异常铅. 在这种情况下, 被岩浆熔体所同化的沉积岩层愈老, 则 Pb^{207} 的异常就愈大, 而且其中的铀含量就愈高. 这种异常在乌克兰和中亚细亚的华力西铅矿床中尤为明显. 这些矿床中, Pb^{207} 和 Pb^{208} 的含量比在萨克松尼亚和北高加索的含量多得多. 可以设想, 这一现象是因为放射性元素含量较高的结晶岩所组成的前寒武纪基底的铅, 大量地参入矿石成分中去所致. 有些美国的科学研究工作者, 对于科罗拉多高原非放射性矿物中出现异常铅的原因, 也作出了类似的结论^[10].

3. 老的铀矿床热液变质作用时, 析出放射生成的铅和铀, 呈再生沥青铀矿和新生成的方铅矿沉淀^[11]. 在某些情况下, 铅和放射生成的铅会被带出原生矿体范围之外^[12], 在矿旁分散量中形成特殊的分带现象. 紧挨着矿体附近发现单纯由放射生成的铅组成的方铅矿. 在距离矿体数十米之外, 方铅矿就已经含有约10%的普通铅. 在距离矿体数百米处, 方铅矿就单纯含普通铅了(表5).

这种成因的异常铅, 无疑可以看作是附近铀矿体的指示体. 可是应当注意, 当溶液从含铀岩石中占有了放射生成的铅以后, 使铅矿石再沉积, 这个过程中也可以产生类似的异常. 许多

表5 鈾礦床的方鉛礦中鉛的同位素成分^[12]

采 样 地 点	鉛 的 同 位 素 成 分			
	Pb ²⁰⁴	Pb ²⁰⁶	Pb ²⁰⁷	Pb ²⁰⁸
直接从矿体中采得.....	0.02	100.00	13.04	0.58
从交錯矿层的构造帶中采得,离矿体 10 米远处.....	0.50	100.00	22.22	18.88
离矿体 100 米远处采得.....	1.00	16.86	15.86	37.00

矿区都有这种异常,最明显的是在桑德貝(加拿大,安大略)矿床。根据研究結果^[11],可以把这个区域的鉛分为两类,一类包括居阿丁(Кьюатин)年代岩层的方鉛礦中的鉛,其同位素成分比較固定,相当精确地符合矿石形成的时代(約 $2 \cdot 10^{-9}$ 年)。第二类与格林威里建造的沉积层有关,其特点是同位素比值极其复杂,而且异常很显著。可以設想,这种鉛是由两种不同的鉛混合的結果,即普通(居阿丁)鉛和放射生成的鉛,其比值 $\frac{Pb^{208}}{Pb^{206}} = 0.37$, $\frac{Pb^{207}}{Pb^{206}} = 0.185$ 。

利用第一个比值($\frac{Pb^{208}}{Pb^{206}}$)可以計算出,岩石(即从中取出类似成分鉛的岩石)中鈾对鈾的比例应当等于 1.4。第二个比值 $\frac{Pb^{207}}{Pb^{206}}$ 表示,这些岩石(假定是鉛源)的年代应该是在 2740 ± 40 到 1700 ± 30 百万年的范围内^[13]。

由表 6 可以看出,桑德貝矿床的鉛,含 14—36% 放射生成的鉛,此鉛可能是在围岩中形

表6 加拿大桑德貝和居阿丁区域的矿点中方鉛礦的鉛的同位素成分^[13]

取 样 地 点	鉛 的 同 位 素 成 分		
	$\frac{Pb^{208}}{Pb^{204}}$	$\frac{Pb^{207}}{Pb^{204}}$	$\frac{Pb^{208}}{Pb^{204}}$
居阿丁年代岩层中矿点的方鉛礦	13.66	14.78	33.46
	13.74	14.61	33.20
	13.80	14.69	33.37
	13.37	14.59	33.38
	13.32	14.54	33.16
桑德貝型矿点中的方鉛礦	18.19	15.81	37.78
	18.32	15.89	37.14
	18.55	15.95	37.82
	20.72	16.40	38.23
	30.05	18.26	41.17
	30.65	18.10	41.45
	30.71	18.21	41.23
	33.88	18.69	43.93

成的,并且由热液把它从围岩中帶出而再沉淀为鉛矿石。

在同样的条件下,原始的分散鈾可以迁出,并且富集形成真正的鈾矿体。

4. 在鈾矿床氧化带的表生作用。温和潮湿气候地区,氧化带的鈾一般都可以完全淋滤。在这种情况下,可以把鉬鉛礦或白鉛礦之类的較稳定的次生鉛礦物中的鉛,作同位素分析,根据分析結果来估价原生矿石帶中的含鈾远景。在这种情况下,放射生成的同位素含量增高的現象,应看作是地下深处可能有鈾礦物的証据。这种异常鉛也能在鈾矿床上层的土壤里堆积,

特别是在风化壳的泥质形成物里堆积。

由上述可以得出一个结论,即调查一定地质环境中铅的同位素成分变化情况,对于寻找铀

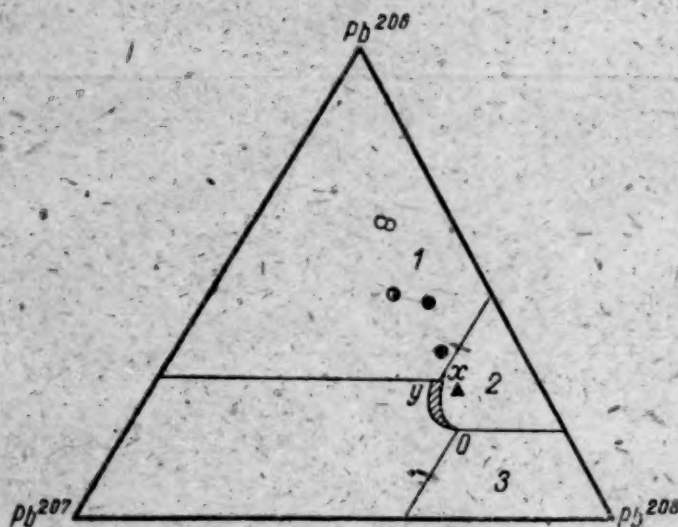


图2 铅的同位素比值图解

O_{xy} ——表示普通铅的场; 1——具有得自铀矿床区域中的异常铅的场; 2——具有钍矿床区域中的异常铅的场; 3——具有铀钍矿床区域中的异常铅的场。○——科罗拉多, ●——维特瓦特尔斯兰得, ▲——肯德贝里^[14]。

的盲矿体和估计各种地质区域含铀远景都很有用。调查工作成果最好按比值 $Pb^{206}: Pb^{207}: Pb^{208}$ 进行解释,总和取100%,即不算 Pb^{204} ,因为目前 Pb^{204} 的测定精度极小。

已确定,在非放射性矿床中普通铅的放射生成组分中,这些比值变化范围很小,根据大量分析结果^[14]作出图解示于图2,图上三角形地区的狭长形 O_{xy} 就是代表这些比值的概念。从地壳上铀和钍的含量等于克拉克值的地段中,某一“初生”(“изначальный”)铅¹⁾在地质时期内的同位素演变的理论计算,可以证实这一图形的位置。

含铀地区非放射性矿物中的铅,则完全是另一种同位素比值。在这种情况下,填在图2上三元组分地区的分析结果,远远地超出了普通铅的狭长图形范围之外。这时,同

一个区域内 $Pb^{207}: Pb^{206}$ 的比值几乎是固定的,而在不同的区域则随矿石的年代而变化。

现代显微分析法的不断进步,有可能测定非铅矿的铅中同位素比值,如硫化铁,硫化铜等,正如文献[14]中正确指出的,这些矿物中放射生成的铅被普通铅稀释的程度大大地小于方铅矿中稀释的程度。

在有关实际利用铅中同位素比值来普查铀矿的工作中,还有许多重要问题目前未弄清楚,可是总的说来,利用同位素比值的可能性是完全明显的。

参 考 文 献

- [1] А. П. Виноградов: Изв. АН СССР, серия геол., № 3, 3 (1954).
- [2] А. И. Тугаринов: Изв. АН СССР, серия геол., № 4, 31 (1955).
- [3] Г. Г. Моор, С. И. Зыков: Докл. АН СССР, 24, № 1, 168 (1959).
- [4] А. П. Виноградов, С. И. Зыков, Л. С. Тарасов: Геохимия, № 6, 515 (1958).
- [5] A. Winogradow et al: Freiburger Forschungsh., H. 57, 73 (1959).
- [6] А. И. Тугаринов, С. И. Зыков, А. В. Змеенкова: Тр. 5-й сессии Комиссии по определению абсолютного возраста геологических формаций. М., Гостеолтехиздат, 1958, стр. 64.
- [7] А. И. Тугаринов, С. И. Зыков: Геохимия, № 3, 42 (1956).
- [8] А. И. Тугаринов: Сб. «Геохимические поиски рудных месторождений в СССР». М., Гостеолтехиздат, 1957, стр. 79.
- [9] Ядерная геология. Под ред. Т. Фауля. М., Изд-во иностр. лит., 1958.
- [10] L. Stieff, T. Stern, R. Milkey: U. S. Geol. Surv. Circ., 271, 19 (1953).
- [11] W. Eckelman, L. Kulp: Geol. Soc. Amer. Bull., 68, 1117 (1957).
- [12] А. И. Тугаринов: Сб. «Вопросы геологии и минералогии». М., Изд-во АН СССР, 1956, стр. 94.
- [13] R. Farquhar, R. Russell: Trans. Amer. Geophys. Union, 38, No. 4, 552 (1957).
- [14] Р. Кеннон, Л. Стиф, Т. Стерн: Тр. Второй международной конференции по мирному использованию атомной энергии (Женева, 1958). Избр. докл. иностранных ученых. Т. 8—Геология атомного сырья. М., Атомиздат, 1959, стр. 31.

1) 这种铅的同位素成分类似陨石中铅的成分。

鈾 中 的 內 耗

達施柯夫斯基 (А. И. Дашковский)

叶夫斯秋欣 (А. И. Евстюхин)

沙維茨基 (Е. М. Савицкий)

斯科洛夫 (Д. М. Скоров)

本文研究了鈾中內耗及切變模量與溫度的關係。 α 鈾的內耗與熱處理有關，在 β 及 γ 相區域內退火後， α 鈾的內耗有所降低。當發生同質異構轉變的時候，內耗在恆溫下發生變化。隨着內耗的降低而產生 $\alpha \rightarrow \beta$ 及 $\gamma \rightarrow \beta$ 過渡，而隨着內耗的增加却產生 $\beta \rightarrow \gamma$ 及 $\beta \rightarrow \alpha$ 過渡。對應于鈾的每個同質異構轉變，在該轉變的溫度範圍內，都有它自己特有的內耗值。

在弛豫型的裝置上，用記錄自由扭擺樣品振動衰減情況的方法，進行了內耗的測量。樣品為純度99.9%，直徑0.98毫米，長320毫米的鈾絲。在振動頻率約為每秒鐘振動2次，真空度約為 $5 \cdot 10^{-5}$ 毫米水銀柱的情況下進行測量。升溫及降溫速度在5—0.5度/分鐘間隔內改變。溫度測量的精確度為 $\pm 1.5^\circ\text{C}$ 。在測量內耗的同時也測量了切變模量。

眾所周知，鈾有三種同質異構體： α 鈾（斜方晶格）， β 鈾（正方形晶格）和 γ 鈾（體心立方晶格）。 α — β 的轉變溫度為 662°C ，而 β — γ 的為 769°C [1]。

從室溫到 630°C ， α 鈾的內耗變化示於圖1。具有嚴重變形組織的冷拔樣品，在不同的溫度下進行退火。圖1所示為樣品在 630°C 30分鐘時間內退火的性狀。這些樣品的內耗——溫度曲線有着良好的再現性，然而在室溫到 200 — 250°C 的這個範圍內卻不然，在此範圍中內耗在很大程度上依賴於退火後樣品冷卻的條件。在一些樣品的內耗曲線上看到 100°C 附近有峯，其數值達到0.1（圖1中曲線5），而其高度與冷卻速度有密切關係。

在某些情況下， 180 — 200°C 溫度範圍內，出現更為低小的峯。注意到，這些低溫內耗峯只在退火之後，冷卻過程中產生極小應力的情形下才出現。我們還沒有詳細研究過影響這些峯的出現及數值的諸因素，可能這些因素也就是在此溫度範圍內引起強度極限顯著增加，並同時引起塑性極限降低的那些因素 [2]。

從室溫到 350°C ，鈾的內耗幾乎是直線式變化。對於切變模量也是這樣超過 350°C ，內耗迅速上升，而模量劇烈下降；在這兩種情況下，變化的直線關係均被破壞。對於大多數純金屬來說 [3]，在再結晶溫度下內耗曲線上會出現迴折，此迴折在 450 — 500°C 下出現。

將樣品再次加熱到 630°C 及冷卻到室溫（共進行了五次），並未看到內耗值和切變模量值有顯著變化。從文獻 [4—6] 中知道，在一定條件下，鈾在 α 區域內的循環熱處理並不發生效應。緩慢的加熱速度，尤其是緩慢的冷卻速度，是促成這種形象的原因，因為循環熱處理的效應，在增加冷卻速度才顯著增加 [4, 5]。循環次數不夠是可能的。在我們的實驗里，加熱及冷卻速度也很緩慢。在所有的情況下，高溫區域內，冷卻時的曲線總比加熱時的要低一些（圖1. 曲線2）。

β 區域內的退火（ 720°C ，30分鐘），使 α 鈾的內耗大為降低（圖1中曲線3），並消除了 450 — 500°C 範圍內的迴折。同時，內耗和切變模量變化的線性關係一直保持到 400°C 。在線性區域內，樣品的模量比在 α 區域退火的樣品的模量低，在 450°C 以上，又較高些。由於純金屬的內耗曲線上在再結晶溫度範圍內的迴折，一般都与沿着晶粒邊界的應力弛豫有關，所以

可以认为, 铀的这一迥折的消失是由于 β 区域的退火导致晶粒边界的活动性降低的缘故。

α 铀中晶粒边界粘滞性性状也用切变模量在温度变化过程中所产生的剧烈变化来解释。

从理论上得出^[7], 最大的切变弛豫滑移由下式确定:

$$1 - \frac{G_P}{G_H} = 1 - \frac{2(7 + 5\mu)}{5(6 - 4\mu)} \quad (1)$$

式中 G_P ——当切变应力的弛豫沿着晶粒边界进行得最充分的时候的多晶体切变模量; G_H ——晶粒边界不产生滑移时的切变模量; μ ——泊桑比。

在低温情况下, 铀的切变模量作线性变化(图1曲线1); 这时可以认为沿晶粒边界没有滑动, 因此可以把虚线所表示的延长线 I 看成是与未弛豫的模量相联系的曲线。在任何温度下, 弛豫模量 G_P 与非弛豫模量 G_H 的比将等于相应的振动频率的平方之比:

$$\frac{G_P}{G_H} = \left(\frac{f_P}{f_H}\right)^2 \quad (2)$$

从图1(曲线1)阐明 α 区域退火之后的 G/G_{20} 可以确定, 沿着晶粒边界的弛豫, 在接近 630°C 的时候等于某一常数。可以认为, 此时沿着晶粒边界的弛豫进行得完全, 根据等式(2), 可算出 $G_P/G_H = 0.56$ 。这就意味着, 可以沿着晶粒边界弛豫的那一部分全切变等于 $1 - 0.56 = 0.44$ 。

取铀的泊桑比为 0.23 (根据文献[8]), 由方程式(1)得理论值 $G_P/G_H = 0.535$ 。这样一来, G_P/G_H 实验值(0.56)和从晶粒边界粘滞性的概念导出的理论值(0.535)十分吻合。

β 区域的退火不仅增加了晶粒边界的粘滞性, 而且还改变了切变模量曲线中非弛豫部分的斜率(图1, 曲线3)。众所周知, α 区域的退火并不能完全消除塑性形变后所具有的晶粒结构^[9], 而切变模量的温度过程是和优先取向有关。伴随着相重结晶的 β 相的退火消除了变形结构, 并且在这种情况下, 切变模量的温度过程与晶粒作无序取向的多晶体相对应。

按图1中曲线3的 G/G_{20} 值, 测出 β 相退火以后的晶粒边界弛豫的实验值为 0.29 而不是 0.44, 也就是说显著地减少了。它证实了关于晶粒边界迁移率由于 β 相的退火而发生变化的假说。

在 960°C γ 相区域内回火 30 分钟以后的样品, 其 α 相区域的内耗最低(图1, 曲线4)。同时 450°C 以下的内耗和切变模量值几乎与在 β 相内退火的相同。但是在 450°C 以上, 内耗值明显地比 β 相退火后要低, 而切变模量也弛豫得很少。

同晶型转变时, 随着晶体结构变化的同时物质的物理和机械性质也发生显著的变化^[10]。内耗, 作为一种结构敏感的特性, 也应当受到鲜明的改变。

有关纯金属中多晶型转变时的内耗变化, 仅仅对钴进行过研究^[11,12]。

图2所示为样品在 960°C 退火后, 其铀的内耗和切变模量的温度曲线(直到 850°C)。内耗上升, 并在 670°C 达到最大值, 等温保温时在温度条件下内耗降低到某一稳定值。再进一步

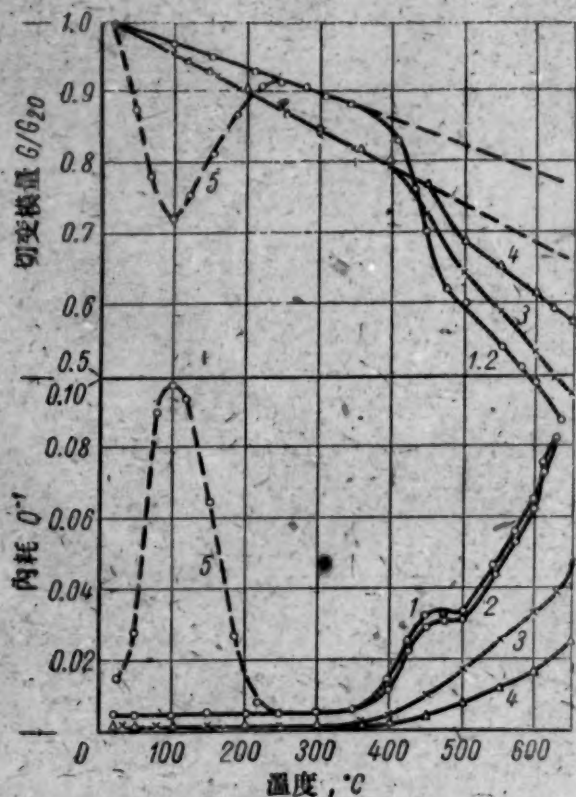


图1 α 铀的内耗(下方)及切变模量与温度的关系(切变模量以比值的形式给出, 此比值系该温度下的切变模量与 20°C 的切变模量之比)

1——在 630°C 退火 30 分钟之后; 2——同 1 样品在冷却过程中的曲线; 3——在 β 区域, 720°C 退火 30 分钟之后; 4——在 γ 区域, 960°C 退火 30 分钟之后; 在 γ 区域退火并在应力状态下冷却。

理论值(0.535)十分吻合。

加热到 780°C 时, 内耗又重新上升, 在这一温度下, 内耗等温上涨, 并达到很大的数值(约为 0.13), 进一步加热时, 内耗急速上升. 切变模量在 670°C 下有些增加, 但在 768°C 又显著减少. 在 670 及 768°C 保温情况下所发生的内耗的变化, 是由于鈾中多晶型转变而引起的.

在冷却过程中, 多晶型转变又伴随着内耗及切变模量的逆变化, 但这个变化发生在较低一些的温度: 755 和 645°C. 这样一来, 在内耗变化上出现了滞后现象, 这种滞后现象在很大程度上与冷却速度有密切关系(测量过程中不作保温处理的情况下).

在稍低于 $\alpha \rightarrow \beta$ 转变温度以下进行保温, 使得内耗有所减低, 但在将样品进一步加热到 670°C 时, 内耗又猛烈上升. 仅仅在这一温度下, 由于保温处理而使内耗达到与 β 相对应的小值. 在 $\beta \rightarrow \gamma$ 转变中也出现类似的现象, 并伴随着内耗的增长.

在多晶型转变的温度下, 保温过程中鈾的内耗变化如图 3 所示. 在所有的情况下, 经过某一定时间的保温之后, 内耗达到某一稳定值. 当加热或冷却时, 内耗随时间的变化具有完全可逆的性质. 变

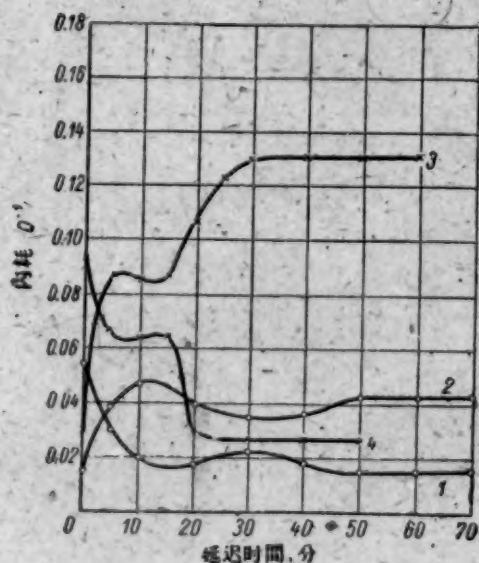


图 3 鈾中内耗变化与等温保温时间的关系
1— $\alpha \rightarrow \beta$ 转变, 670°C; 2— $\beta \rightarrow \alpha$ 转变, 645°C; 3— $\beta \rightarrow \gamma$ 转变, 768°C; 4— $\gamma \rightarrow \beta$ 转变, 755°C.

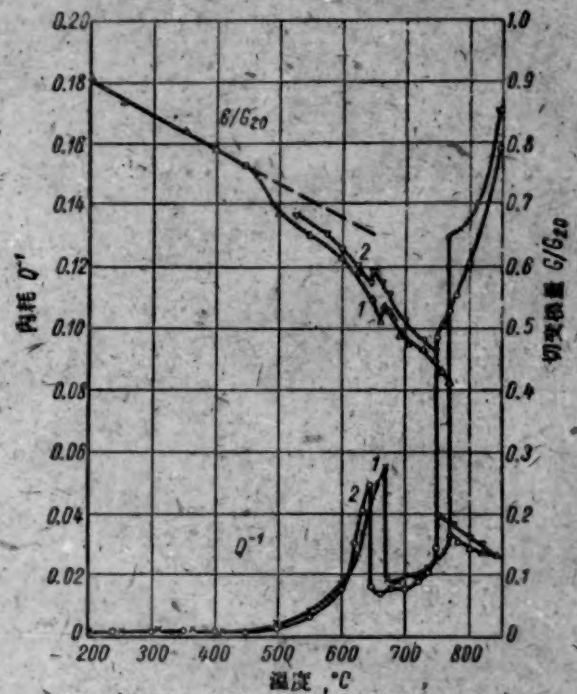


图 2 鈾的内耗(下方)和切变模量(上方)与温度的关系(850°C 以下):
1—加热的曲线; 2—冷却的曲线.

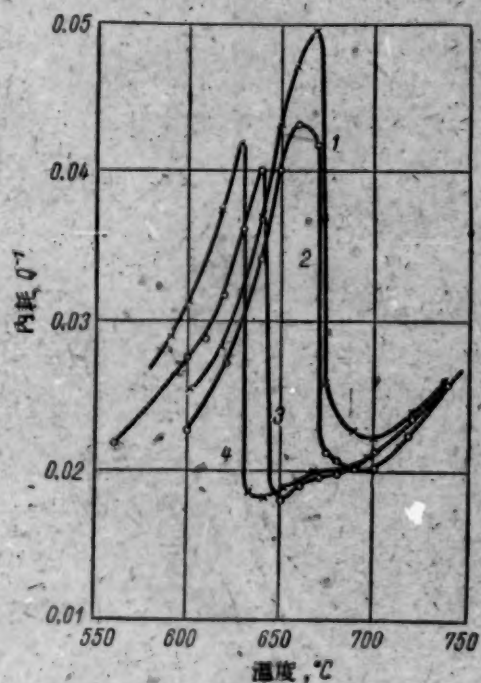


图 4 加热及冷却的速度对于鈾中内耗的影响
1—加热速度为 5 度/分钟;
2—加热速度为 0.5 度/分钟;
3—冷却速度为 0.5 度/分钟;
4—冷却速度为 5 度/分钟.

化的规律是: 内耗迅速增长(或减小)后, 在最初持续的几分钟内, 就有一些减少(或增长), 然后继续平稳地达到稳定值.

在连续加热(或冷却)过程中, 发生多晶型转变的温度是和温度变化速度有关的. 图 4 所

示为在转变区域内,两种加热速度(5和0.5度/分钟)下的内耗变化曲线。加热速度的增加,并不能显著地提高转变温度,因为,经过这种快速加热之后,在仅仅比内耗转变温度高出5°C的过热情况下,内耗的数值已经和在转变温度进行保温时所得到的内耗相等。换句话说,随着过热程度的增加,转变速度增长得如此剧烈,以致不可能用增加加热速度(从0.5到5度/分钟)的方法使转变向高温方向移动。但是,增加冷却速度却显著地将转变移向更低的温度。当用其他方法研究铀的转变时,也发现有类似的情况^[13]。

于是,铀在多晶型转变时的内耗变化在原理上和弛豫过程中的内耗变化是不同的。多晶型转变时,在恒定温度(不依赖于振动频率,并由转变本身来决定)情况下,内耗发生变化。由于保温的结果,内耗达到一个一定的数值,这个数值相应于新的相态,也就是相应于新型晶格。

这样的一个事实值得特别注意:即在等温保温时, $\alpha \rightarrow \beta$ 的转变过程中内耗减低了,而在 $\beta \rightarrow \gamma$ 的转变过程中却有所增加。这个现象证明了,在一定的温度下,铀的不同晶型变体的内耗值不同。



图5 $\alpha \rightarrow \beta$ 转变中内耗的变化量与经历 $\alpha \rightleftharpoons \beta$ 转变的连续过渡次数的关系

1— α 铀中的内耗,
2— β 铀中的内耗。

根据多晶型在转变过程中所产生的或者消失的晶格类型,内耗相应的增加或减少。

在多次经历 $\alpha \rightleftharpoons \beta$ 的反复转变的过程中, α 区域里的内耗一次比一次减低(在头几次循环里是这样);大约经过十次循环以后, α 区及 β 区域的内耗达到一定的,而且几乎是不变的数值。图5表出转变温度附近内耗的极大值的减低和 $\alpha \rightleftharpoons \beta$ 转变次数的关系。

此时所观测的这个效应数量,实质上与温度变化范围无关,并在600—700°C及20—700°C这两个范围内也都一样。经过转变之后, β 区域中内耗的最低值,在头几次循环之后也有所减低,但减低较少(图5曲线2)。这些效应显然与上述的一些现象有关:由于 $\alpha \rightleftharpoons \beta$ 转变,使优先取向降低并使晶粒边界的活动性减少了。

经过几次循环之后内耗就达到某一固定值,并在随后的循环热处理中不再发生变化,这个事实说明:人们熟知的,使样品发生尺寸变化的 $\alpha \rightleftharpoons \beta$ 循环热处理,在一定的条件下(在5—6次循环中温度变化速度为~5度/分钟),对于内耗并无影响。

图2—4中所绘的曲线是从预先经过5—6次 $\alpha \rightleftharpoons \beta$ 循环处理的样品上得到的。

从上述可以得出以下结论:

1. 450—500°C 温度范围内,内耗曲线上的迴折是由于晶粒边界粘滞性引起的,并在 β 及 γ 区域退火处理后消失,这是由于相变再结晶之后,晶粒边界活动性减低的缘故。

2. 铀中的多晶型转变是由在转变温度附近的内耗的等温变化所引起,这种变化在加热及冷却时有可逆的特征。

3. 具有体心立方晶格,塑性最大的 γ 相铀,其特征是内耗值最大。四角形的 β 同质异晶体,倾向于脆性,有着最小的内耗值(在 $\alpha \rightarrow \beta$ 的转变温度下, β 铀的内耗比 α 铀的内耗低)。因此内耗不仅与晶体结构的类型有直接关系,并且也和该同质异构晶体塑性形变的能力有直接关系。

参 考 文 献

- [1] А. А. Бочвар и др: *Атомная энергия*, 5, вып. 1, 5 (1958).
- [2] Г. Я. Сергеев и др: *Атомная энергия*, 5, вып. 6, 618 (1958).
- [3] В. С. Постников: *Усп. Физ. наук*, LXVI, вып. 1, 43 (1958).
- [4] А. А. Бочвар, Г. П. Томсон: *Атомная энергия*, II, № 6, 520 (1957).
- [5] Чизуик, Келман: Материалы Международной конференции по мирному использованию атомной энергии (Женева, 1955), т. 9. Л., Госхимиздат, 1958, стр. 184.
- [6] S. Pugh: *J. Inst. Metals*, 86, No. 12, 497 (1958).
- [7] C. Zener: *Phys. Rev.*, 61, 906 (1941).
- [8] Р. Селлер: Ядерные реакторы. Т. III—Материалы для ядерных реакторов. М., Изд-во иностр. лит., 1956, стр. 285.
- [9] Фут: Материалы Международной конференции по мирному использованию атомной энергии (Женева, 1955), т. 9. Л., Госхимиздат, 1958, стр. 51.
- [10] Е. М. Савицкий: Влияние температуры на механические свойства металлов и сплавов. М., Изд-во АН СССР, 1957.
- [11] В. С. Постников: Тр. Кемеровского пединститута, 1, 191 (1956).
- [12] В. С. Постников: *Физ. металлов и металловедение*, 4, 344 (1957).
- [13] P. Lehr, J. Langeron: *Rev. metallurgie*, 55, № 9, 829 (1958).

鋯-鈹系相图

叶密里揚諾夫 (В. С. Емельянов)

郭 丁 (Ю. Г. Годин)

叶甫斯久欣 (А. И. Евстюхин)

魯沙科夫 (А. А. Русаков)

用金相的、热学的和X射线的定性相分析法及硬度测量法,研究了鋯-鈹合金,并且繪制了它的相图。确定了該系有四个中間相: $ZrBe_2$ 、 $ZrBe_6$ 、 $ZrBe_9$ 和 $ZrBe_{13}$ 。前三种化合物是在温度分别为 1235° 、 1475° 和 1555°C 时按包晶反应形成;后一种化合物是在温度 1645°C 随着出現最大值而溶解。在温度 965°C 和含鈹 5% (重量) 时, $ZrBe_2$ 与鋯之間形成共晶体。鋯中加鈹使 $\alpha-\beta$ 转变温度降低和在 800°C 下形成共析体。 α 鋯中鈹的溶解度小于 0.1% (重量), 而 β 鋯中鈹的溶解度小于 0.3% (重量), 鈹中鋯的溶解度不超过 0.3% (重量)。

过去对鋯-鈹系相图研究得很少。根据对粉末冶金法制成的合金試样所进行的研究^[1],在鋯-鈹系內,富鋯区域可能存在着共晶体,至少有四个中間相。一个成份为 $ZrBe_2$, 另一个約为 27% Be (重量), 其余相的成分是可变的。鋯中加鈹能够提高 $\alpha-\beta$ 转变温度。

在較晚发表的文献[2]中,証实了在温度 980°C 和 5% Be (重量) 时,存在着 $ZrBe_2$ 化合物和共晶体。除了存在 $ZrBe_2$ 化合物外,最可能有 $ZrBe_6$ 、 $ZrBe_9$ 、 $ZrBe_{16}$ 金属間化合物,也可能存在 $ZrBe_2$ 在 $ZrBe_9$ 中的固溶体区。鋯中加鈹会引起 $\alpha-\beta$ 转变温度的降低和共析体的形成。文献[3]指出了鋯-鈹系內存在 $ZrBe_2$ 和 $ZrBe_{13}$ 化合物,估計,有 $ZrBe_4$ 和 $ZrBe_7$ 中間相,并且后者可能具有均质区。

$ZrBe_2$ 化合物的結構研究証明^[4],这种化合物为六方晶格,周期 $a = 3.82 \text{ \AA}$, $c = 3.24 \text{ \AA}$, $c/a = 0.848$ 。 $ZrBe_{13}$ 化合物为面心立方晶格,周期 $a = 10.047 \text{ \AA}$ 。

由于对鋯-鈹系存在着相互矛盾的数据,作者决定用显微研究、热分析和X射线相分析法,以及用测量硬度和显微硬度等方法,对此系进行系統的研究。

在制备合金的时候,系采用純度为 99.7% (重量) 的碘化鋯条和純度为 99.4% (重量) 的蒸餾鈹(集合状)作为原材料。

合金的熔炼是在水冷銅場的电弧炉(洁淨氩气)中进行。合金的試样經過多次精炼,并制成重量为 25~40 克的棒。由于鈹在熔炼过程中的蒸发作用,使得合金的制备复杂化,即合金的成份易变,难于观察熔炼过程,以及鑄錠在冷却或在电弧炉內冷却的时候,由于产生很大的热应力而有碎裂和劈裂的現象。后一种現象使鑄錠大大失重(在許多情况下,失重达到配料重量的 10~20%)。

試样的化学分析結果表明,合金中的鈹含量与配料成分的鈹含量比較減少了一些(在許多情况下大致減少 1~2%)。

对于长期退火后的鑄造和淬火合金进行了金相研究。合金的热处理规范列于下表。

合金系在充滿着氩气的石英細頸瓶中退火,以防止鈹在退火过程中蒸发。合金的淬火是采用从炉中迅速取出瓶子而噴入水的方法。

金相研究用的磨片是用普通方法制备。为了預防脆性合金在研磨的时候产生剝离現象,

合 金 的 热 处 理 規 范

退 火 溫 度, °C	退 火 时 間, 小 时	退 火 溫 度, °C	退 火 时 間, 小 时
750	250	870	150
730	220	935	110
810	188	1000	70
830	170	1200	35

附注: 含鉍超过 17%(重量)的合金, 系在溫度 1000° 和 1200°C 下退火.

最細的砂紙要涂一层腊. 为了显现合金的結構, 金相磨片要在氟氫酸和硝酸水溶液中进行浸蝕.

合金的热分析是在真空下进行, 加热和冷却速度为 5~7°C/分. 测定了含鉍 2.9; 5.04 和 8.9% (重量) 的合金的临界点. 鋳中加鉍降低了 α - β 转变溫度. 鋳-鉍系中的共析分解是在 ~800°C 的溫度下进行, 而共晶体的熔点为 965°C.

合金的初熔点是按照試样中心未穿透孔的移变法 (比拉尼和阿尔多士姆法) 进行测定的. 在测定合金的初熔点时, 采用把試样压入电极之間通电的真空加热方法將試样加热. 对硬度极高的、一般无法机械加工的試样, 其未穿透孔是在超声波机床上加工的. 溫度計的校正是按照純金屬 (鋳、鐵、鎳) 的熔点进行的.

合金試样的 X 射綫研究采用的是 K_{α} 輻射的照相法和电离法. 在第一种情况下, X 射綫图是在底片非对称的 PKY-86 充电盒內获取的, 在第二种情况下, 是利用 YPC-50И 装置获取的. 用 YPC-50И 装置获取的被研究合金的 X 射綫衍射曲綫, 系用以校驗照相法的数据. 富鋳或富鉍的合金粉, 是从合金上錐下来的. 其余合金的粉碎, 先在压力机上压碎成小块, 然后在瑪瑙鉢中研碎. 为了消除内应力, 合金粉应在高真空和溫度 ~700°C 下退火 2~3 小时.

合金的显微硬度是在洛氏硬度計 (金剛石圓錐体压头、載荷 15 公斤) 上进行测量的. 曾經試图在普通載荷下測定硬度, 結果沒有成功, 因为合金的微粒落入了测量部位之內.

根据研究所获得的資料, 繪制了鋳-鉍系相图 (图 1).

对于鑄造試样以及用于測定初熔点和热分析的試样所进行的金相研究确定, 鋳-鉍系中的共晶点位于溫度 965°C 內, 相当于含鉍 ~5% (重量) 的合金.

等溫退火的合金結構的研究表明, 在共晶溫度附近, β 鋳中鉍的溶解度小于 0.3% (重量). 鋳用鉍来合金化不会引起 β 相稳定化; 后者在淬火以后轉变成为 α' 相, 即 α 鋳中鉍的过饱和固溶体.

固态 β 相在溫度 800°C 下分解. $\beta \rightleftharpoons \alpha + \text{ZrBe}_2$ 的共析分解, 是根据热分析資料和用研究等溫退火合金的方法确定的. 它具有如图 2 所示的結構. 图 2, a 所示的結構, 是由含鉍 0.18% (重量) 的合金在 810°C 下退火后所得的 α 和 β 相的机械混合物組成. 图 2, b 所示为同一合金在 790°C 下退火以后的結構. 在該試样中, β 相在退火过程中分解并凝聚成 α 相和 ZrBe_2 . 鋳-鉍系按照显微研究資料所确定的共析点, 相应于含鉍 ~0.23% (重量) 的合金.

关于 α 鋳中鉍的最高溶解度值, 是根据含鉍 0.1% (重量) 的合金的結構得出的. 这种在 810°C 下退火后迅速冷却的合金, 基本上由 α 相的晶粒組成, 其中有少量的、等溫形成的 β 相晶粒.

对于一系列鑄造和退火合金的显微結構所进行的研究表明, 鋳-鉍中确实存在四个中間相. 当合金含鉍 5% (重量) 时, 其中共晶体由 β 相和中間相 (含鉍 16.5%) 的 ZrBe_2 的机械混合物組成. 对于含鉍 >5% (重量) 的鑄造合金, 这个相的初晶是在 $\beta + \text{ZrBe}_2$ 共晶混合物的底

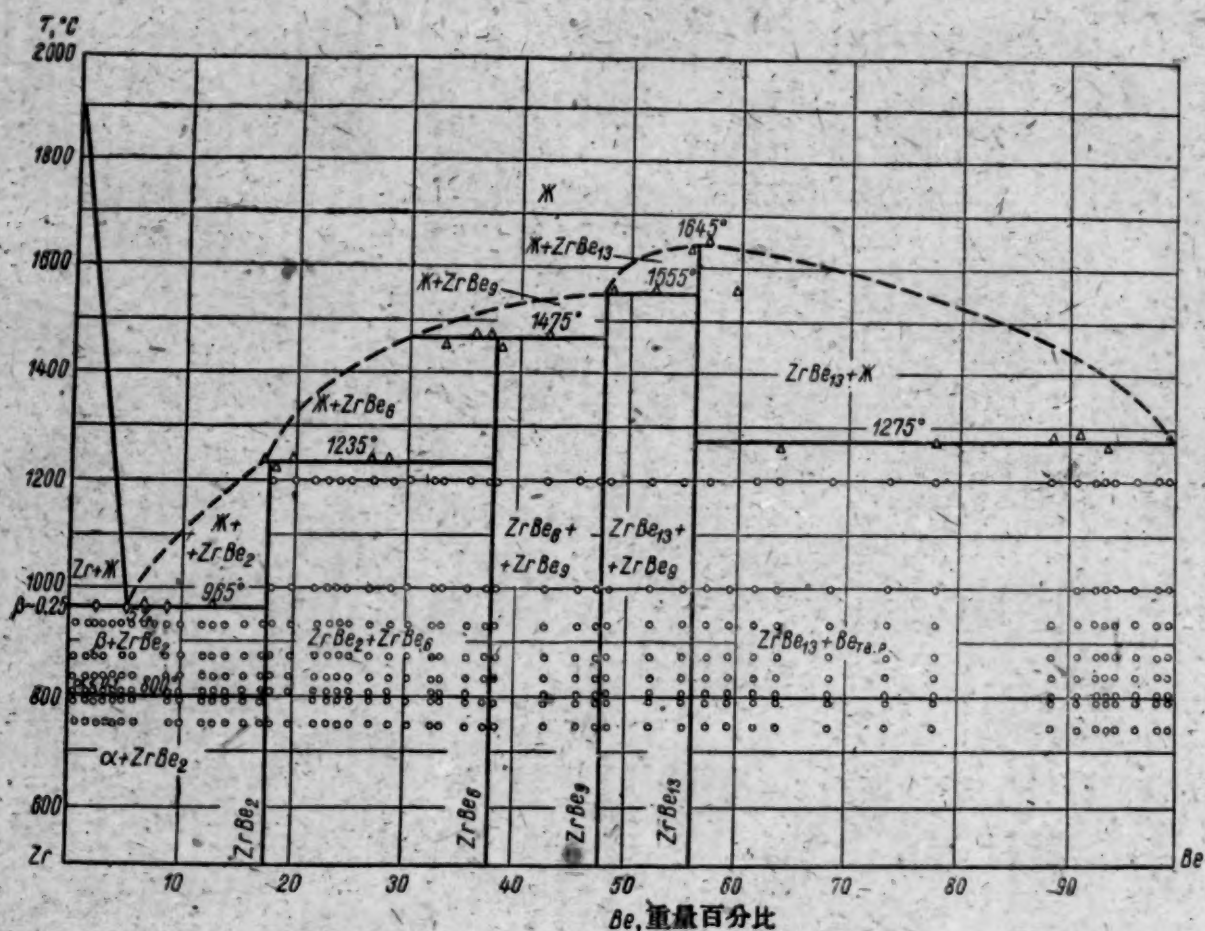


图1 锆-铍系相图

○——二相合金；△——合金的初熔点；◇——合金的初熔点(根据热分析的資料)。

图2 含铍0.18%(重量)的合金($\times 340$):

a——810°C 退火； b——790°C 退火

面上观察到的(图3)。从图3可以看到含铍5.87%(重量)的合金的显微结构。含铍16.3%(重量)的合金,其结构几乎完全由 $ZrBe_2$ 晶粒组成。

在示出含铍17.65%(重量)的铸造合金显微结构的图4上,可以看到下列中间相,主要是包晶形成的 $ZrBe_2$ 相的初晶。含铍36.7%(重量)的合金的结构是由第二个中间相的晶粒组



图3 含鈹 5.87% (重量) 的鑄造合金 ($\times 500$).

图4 含鈹 17.65% (重量) 的鑄造合金 ($\times 340$).

成, 因此这个相就是 ZrBe_6 . 由此可見, ZrBe_2 是在 1235°C 下因 $\text{ZrBe}_6 + \text{液相} \rightleftharpoons \text{ZrBe}_2$ 包晶反应形成的. 在含鈹 30.4% (重量) 的鑄造合金的結構中, 有第三个中間相的初晶, 它圍繞着包晶的 ZrBe_6 , 处于 ZrBe_2 的母液中. 后一个相中的鈹含量为 47.1% (重量), 因而分子式写为 ZrBe_9 . 相 ZrBe_6 是由于在温度 1475°C 下产生 $\text{ZrBe}_9 + \text{液相} \rightleftharpoons \text{ZrBe}_6$ 包晶反应而形成的.

图5所示为含鈹 42.7% (重量) 的鑄造合金的、由中間相 (含鈹 56.3%) 的 ZrBe_{13} 和在 1555°C 下按 $\text{ZrBe}_{13} + \text{液相} \rightleftharpoons \text{ZrBe}_9$ 包晶反应形成的 ZrBe_9 的初晶所組成的显微結構.



图5 含鈹 42.7% (重量) 的鑄造合金 ($\times 340$).

图6 含鈹 77.9% (重量) 的鑄造合金 ($\times 200$).

化合物 ZrBe_{13} 在温度 1645°C 随着出現最高温度值而熔化. 含鈹超过 56.3% (重量) 的合金, 其結構由 ZrBe_{13} 相与富鈹固溶体的机械混合物組成. 图6所示含鈹 77.9% (重量) 的合金的、由鈹中鋯的固溶体母体中 ZrBe_{13} 的初晶所組成的显微結構, 具有非常寬的双相区.

ZrBe_{13} 与鈹之間的相互作用的特点 (共晶或包晶) 沒有确定. 共晶点或者包晶点应位于温度 1275°C 下的 99.5~100% (重量) 鈹浓度范围之内. 鈹中鋯的溶解度沒有測定, 但是估計它

不会超过 0.3% (重量)。

为了证实金相研究的资料,曾经研究了处于各种不同相的一系列合金的 X 射线照片和绕射曲线,并对它们进行了相分析。图 7 所示为 X 射线照片的示意说明图。绕射曲线也绘制成外推曲线,以确定相应的单相合金的浓度。为了绘制这种曲线,曾经测量了各种成份合金的若干对绕射最大值的相对强度,同时在每一对绕射最大值中取各种合金的最大值。

根据显微研究结果所获得的数据证明,在锆-铍系中有 4 种成份分别为含铍 16.5; 37; 47.1 和 56.3% 的中间化合物。经过精密的测量确定,金属间化合物 ZrBe_2 、 ZrBe_6 、 ZrBe_9 和 ZrBe_{13} 的晶格周期,当偏离化学计算的成份时没有显著的变化 (当 $\theta \approx 85^\circ$ 时,原子平面间距等于 $\pm 0.00004 \text{ \AA}$)。对 ZrBe_6 和 ZrBe_9 按照最强烈的线条计算的原子平面间距,具有相同的值,但是绕射线的强度则显著不同。这就说明两种金属间化合物的结构具有相似性。

ZrBe_{13} 的 X 射线照片的特性,证实了这种化合物为面心立方晶格,其周期 $a = 10.009 \text{ \AA}$ 。

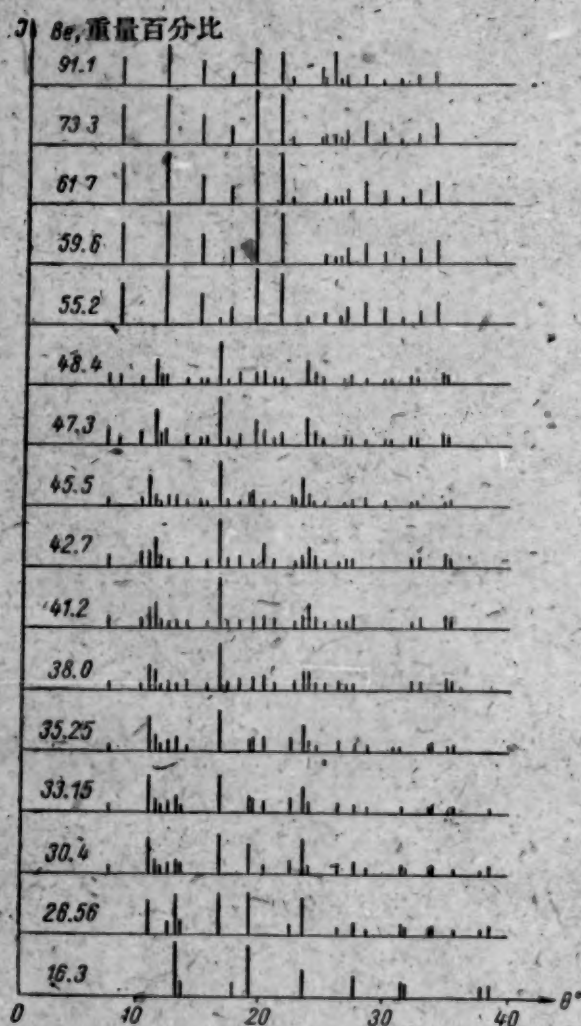


图 7 锆-铍合金粉的 X 射线照片示意图

图 8 所示的铸造合金的硬度与其成份的关系曲线,在成份为含铍 16.5; 37, 47% (重量) 下具有三个最高值,相应于化合物 ZrBe_2 、 ZrBe_6 和 ZrBe_9 的位置。对于含铍 56.3% (重量) 的,相当于金属间化合物 ZrBe_{13} 的合金,在硬度曲线上没有最高值。十分明显,这与含铍约为 56.3% (重量) 的合金中存在大量气泡和显微裂纹有密切的关系,锆中加铍能显著提高其硬度,铍中加锆也有类似的作用,只是程度较小而已。

显微硬度的测量数据证实了在锆-铍系中存在

四个中间相。化合物 ZrBe_{13} 的显微硬度最高 (1580 公斤/毫米²), 而化合物 ZrBe_2 的显微硬度最低 (840 公斤/毫米²)。 ZrBe_6 和 ZrBe_9 两个相的显微硬度分别为 ~ 1145 和 1230 公斤/毫米²。共晶体的显微硬度为 244 公斤/毫米²。

总的来说,所获得的相图 (图 1) 与文献 [3] 所列的取向相图相似。和早先发表的资料有所不同的是,我们的研究确定了锆-铍系中存在四个道尔顿型的中間相¹⁾。在富铍的区域内,存在着金属间化合物 ZrBe_{13} , 它在出现最高值时熔化,是一种最难熔的化合物,其余化合物也是随着

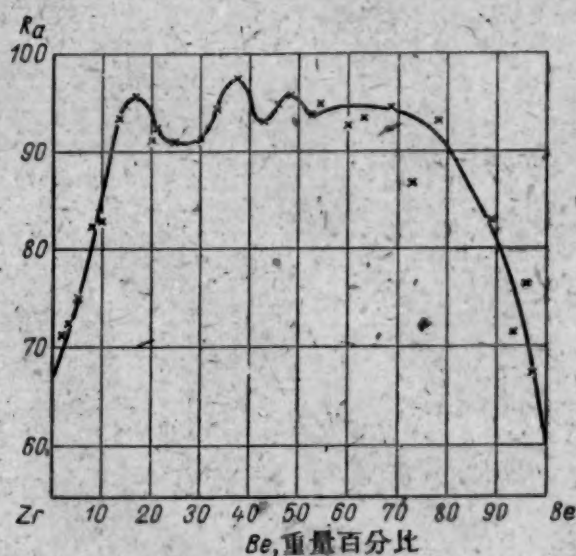


图 8 锆-铍铸造合金的硬度与其成份的关系。

1) 译者注: 道尔顿型的中間相是指合金中存在的稳定化合物。

出現最高值而熔化。在鋅-鈹系中,基于金屬間化物的固溶體是沒有的。同樣可以指出,鋅中加鈹会降低鋅的 $\alpha-\beta$ 轉變溫度。

[吳振寰譯]

參 考 文 獻

- [1] H. Hausner, H. Kalish: *J. Metals*, 188, No. 1, 59 (1950).
- [2] J. McGurty et al.: Report TID-5061, April 1951.
- [3] M. Hansen, K. Anderko: *Constitution of Binary Alloys*. New York, McGraw-Hill Book Co., 1958.
- [4] *Acta crystallogr.*, 7, 132 (1954).
- [5] *Acta crystallogr.*, 2, 258 (1949).

輻照剂量和吸收剂量之间的关系

西文采夫 (Ю. В. Сивинцев)

本文指出了“輻照剂量”和“吸收剂量”两概念之间的区别,列示了按照輻照剂量的绝对测量结果计算吸收剂量的具体公式,阐明了当我们对 200 仟电子伏—32 兆电子伏之间各种不同能量的伦琴和 γ 辐射进行剂量测量时电子平衡的条件。

直到不久以前,在放射生物学中还流行着这样一种观点。这种观点认为:只有穿透辐射电离细胞分子所耗的能在生物学中才是传给有生物的有效能量。相应地把测量被輻照介质的绝对电离数值当做了剂量学中的重点,而对于传给物质的能量的估计却视为派生的过程。但是,在放射生物学中许多过去被当做公理的准则近年来也有了改变。其中这一领域内的一个重大发明——细胞内激发能量的迁移过程会引起蛋白质分子破坏的附加效应,结果使细胞电离的效果^[1]增强,促进了上述情况的改变。对现代剂量学中某些原理已重新进行了评价。经过多年争论以后,现代剂量学的基本任务终于被认为是测定一克被电离辐射的物质所得到的能量问题。

这一问题的决定已经反映在国际放射学单位和测量委员会 (IRCU) 1957 年所发表的建議中^[2]。

我们首先来谈谈精确地区别吸收剂量和輻照剂量两种概念的必要性。前面已经指出,剂量学的基本任务是测定吸收剂量 D ,即传给被电离辐射輻照的单位物质质量 Δm 的能量 ΔE 。吸收剂量值是唯一的、一个为剂量学本身所确定的严格的物理值。根据定义

$$D = \frac{dE}{dm} = \frac{1}{\rho} \frac{dE}{dv} \quad (1)$$

式中 $\Delta m = \rho \Delta v$ 吸收剂量的量纲是

$$[D] = \frac{\text{焦耳}}{\text{仟克}} = \frac{\text{瓦} \cdot \text{秒}}{\text{仟克}} \quad (2)$$

吸收剂量的专门单位是拉特。它在数值上等于

$$10^{-2} \text{瓦} \cdot \text{秒} / \text{仟克} = 10^2 \text{尔格} / \text{克} \quad (3)$$

术语“吸收剂量”不能认为是适当的,因为任何剂量都是吸收辐射的结果(真空不可能得到任何剂量)。考虑到这一点,西德放射性防护委员会对吸收剂量提出了“能量剂量”的术语,而对輻照剂量则称为“电离剂量”^[3]。但是,考虑到必须统一科学文献中的术语起见,在以后叙述中我们采用国际放射学单位和测量委员会(ICRU)的最新方案。

虽然吸收剂量在物理上是对任意形式的电离辐射和任意介质而严格定义的,但是剂量的直接测量是极端困难的,只能在量热法的基础上才是可能的。量热法仅用在测量效果的值特别高,而且根本不能对生物应用的某些情况下使用。但是这一问题常常可以用测量輻照剂量(以伦琴表示)的方法解决。后一数值(仅表征辐射场,不依赖被輻照物体的成份),可以根据广泛应用的电离测量方法求出。对于伦琴和 γ 辐射,测量常在标准介质(空气)内进行,主要的优点是:辐射的线性吸收系数与其能量的关系实际上和活机体的组织是相同的。众所周知,由于后一情况,就有可能在大的能量范围内建造所谓没有硬度过程的电离室。用电离计方法测量輻照剂量的实际结果可以用最简单的关系式表出:

$$I = \frac{dQ}{dm} = \frac{1}{\rho_B} \frac{dQ}{dv}, \quad (4)$$

式中 Q ——為電量，而 ρ_B ——為空氣密度。

輻照劑量的量綱是：

$$[I] = \frac{\text{庫倫}}{\text{仟克}} = \frac{\text{安培} \cdot \text{秒}}{\text{仟克}} \quad (5)$$

測量輻照劑量的專門單位是倫琴，數值上等於

$$2.58 \times 10^{-4} \text{ 安培} \cdot \text{秒} / \text{仟克} = \frac{1 \text{ 靜電單位電量}}{0.001293 \text{ 克}} \quad (6)$$

吸收劑量，其值不僅由輻射決定，而且還要由被輻照物體的成份決定，可以根據（除上面提過的直接量熱法外）輻照劑量測量，電離測量，螢光測量或輻射化學效應測量求出。因為電離輻射的生物作用主要制約於物質所接受的能量。顯然，生物效應與吸收劑量的關係應該比輻照劑量大。精確地區別輻照劑量和吸收劑量的必要性可由下面的例子說明：在相同的輻照劑量（用倫琴表示）情況下，在骨骼組織中的吸收劑量（用拉特表示）能夠比鄰近軟組織中的吸收劑量大三倍多^[4]。

在許多情況下，吸收劑量能夠根據輻照劑量的測量很容易算出，因此，在倫琴或 γ 射線照射下作為輻照劑量實用單位的“倫琴”仍然是現代實用劑量學的基本量。

根據倫琴的定義，由光子束在標準條件下 1 厘米³ 的乾燥空氣中形成的高能電子所引起的空氣電離（以電量的靜電單位表示）等於倫琴數。實際上，在給定的空氣體積中所形成的電子把本身的部分能量消耗於給定體積之外。另一方面，在所研究的體積之外所發生的某些電子在給定體積中產生了附加的電離，因此電離損失能夠部分地或全部地得到補償。眾所周知，以倫琴表示的測量需要完全的補償，假如，1) 由被研究點至少到被測量的輻射所形成的電子的最大射程，在所有方向內，倫琴或 γ 輻射的強度和能譜沒有變化；2) 能量的質量吸收系數和介質的抑制本領在同樣區域內的所有距離上為常數。當被輻照的介質中任何一點都保持電子 γ 平衡的條件滿足時，這一要求實際上是完全可以滿足的。

當滿足這些條件時，研究點周圍的無限小體積內，一個電子離開後，實際上便有另一個能量相同的電子從外面進入這一體積。這樣一來，在這種情況下，由所有通過體積的次級電子在介質內傳給體積 Δv 元素的能量，等於在 Δv 體積內由輻射所形成的次級電子沿其射程傳給介質的能量。從上述可以得知，不論在標準電離室中（其測量體積的四周圍有大量的空氣），或者在與空氣等效的電離室中（如其壁厚不小於次級電子在構成器壁的材料中的最大射程，而又是相當薄的，甚至可以忽略原始輻射在其範圍內的吸收。）都能達到電子的平衡。

下列情況是電子平衡不存在的典型例子：

1. 在直接靠近輻射源區域的輻射場，輻射場強度變化很快；
2. 在帶有不同原子成份（而不是密度^[5]）的物質之間的邊界區域，如軟組織和骨骼組織一樣；
3. 在介質中與次級電子射程的平均長度相等的距離上受到強烈衰減的高能（實際上高於 3 兆電子伏）倫琴或 γ 輻射。

正如格雷 (Gray)^[6] 在 1936 年所確定的，吸收劑量可借助於處在所考察的被輻照物質的一點上的充氣空腔內的電離與單位質量被輻照物質獲得的能量之間的關係來估計，當空腔的尺寸充分小時，其中所充的气体 A 與所考察被輻照物質 B 受到同一致電離粒子流的作用。因此，

$$D_B = S_{BA} D_A \quad (7)$$

式中 S_{BA} 表示被輻照介質與充在區域內的气体對次級電子的質量阻止本領之比值。

在应用标准介质(空气)的情况下,对足够小的体积,关系式可以写为:

$$D_B = U_i I \quad (8)$$

式中系数 U_i 与在空气中形成一对离子所需要的能量平均值 W_i 之间的关系为:

$$U_i = W_i / e \quad (9)$$

式中 e 为电子电荷.

根据最近研究,对于在空气中的伦琴和 γ 辐射,数值 W_i 可能处于 33 到 35 电子伏之间. 现在,在计算中(应用到带有光子能量高于 20 仟电子伏的伦琴和 γ 辐射),推荐利用数值 $W_i = 34$ 电子伏 (5.44×10^{-11} 尔格). 因此,当以瓦·秒/仟克为单位测量吸收剂量 D_B 而以安培·秒/仟克为单位测量辐照剂量 I 时, U_i 的数值为 34 伏. 当辐照剂量 I 为 1 伦琴的伦琴或 γ 辐射时,在标准条件下的空气中或在电子平衡条件下的空气等效物质中的一定点的吸收剂量 D_B 为:

$$\begin{aligned} & \left(\frac{1 \text{ 静电单位电量}}{0.001293 \text{ 克空气}} \right) \times \left(2.082 \times 10^9 \times \frac{\text{电子}}{1 \text{ 静电单位电量}} \right) \times \left(34 \frac{\text{电子伏}}{\text{电子}} \right) \times \\ & \times \left(1.602 \times 10^{-12} \frac{\text{尔格}}{\text{电子伏}} \right) \times \left(\frac{1 \text{ 拉特}}{100 \text{ 尔格/克}} \right) = \\ & = 0.877 \text{ 拉特} \approx 0.88 \text{ 拉特} \end{aligned}$$

由此可见,当以伦琴单位测量辐照剂量 I , 而以拉特表示空气中的吸收剂量时,系数

$$U_i \approx 0.88 \text{ 拉特/伦琴} \quad (10)$$

由以上所述可知,当任何电离室或其它测量仪器,在利用标准电离室或任何其它表为伦琴的方法校正后,在电离室器壁中电子平衡的条件下测得辐照剂量为 I 伦琴时,则那时在伸展着空气质量的同样点上,在平衡条件下的吸收剂量为:

$$D_B \approx 0.88 I \text{ 拉特} \quad (11)$$

由此关系式可看出,伦琴是辐照剂量的单位而不表示在空气中的吸收剂量.

为了说明已经形成的论点起见,图 1—3 表出了对于带有能量为 200 仟电子伏的伦琴射线和带有能量为 2 及 31 兆电子伏的韧致辐射在水模型不同深处的吸收剂量和辐照剂量大小^[7]. 利用所列公式从理论上计算了辐照剂量¹⁾, 而吸收剂量则利用顶针电离室在外推电离室(它的上电极厚度可以改变)模型的正面一层中进行测量. 电离室由电木(酚醛塑料)和石墨的混合

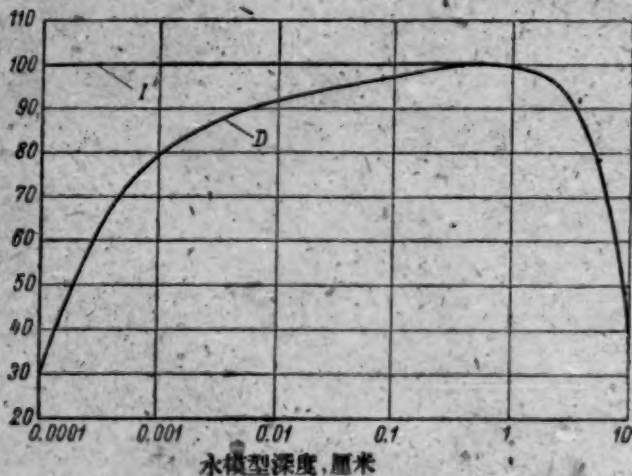


图 1 对于 200 仟电子伏的伦琴辐射,在水模型的不同深度处的辐照剂量 I 和吸收剂量 D . (达到平衡的深度为 0.3 毫米)

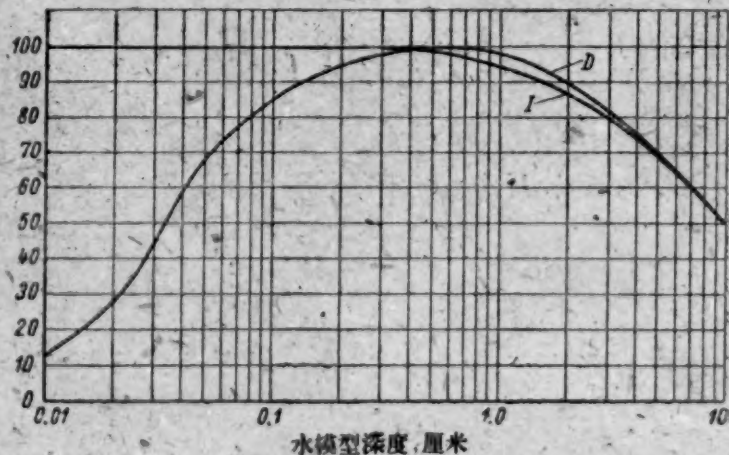


图 2 对于 2 兆电子伏的韧致辐射,在水模型的不同深度处的辐照剂量 I 和吸收剂量 D (达到平衡的深度为 5 毫米)

1) 辐照剂量的曲线指出了当所假定的模型不存在时原始辐射的衰减(在以克/厘米²表示的空气等效厚度中).

物組成；為改善電極的導電性，特在它的表面上用汽化金屬塗料的方法塗以薄的金屬層（氧化鈦或銅）。當考察圖例時可以看到，對於 200 仟電子伏的倫琴輻射來說，當這種輻射在深度為 0.3 毫米處所達到的電子平衡建立後，吸收劑量就可以按照輻照劑量測量的結果而得到。對於 2 兆電子伏的鈹致輻射，電子平衡在深度 5—6 毫米處達到，但是在給定情況下，輻照劑量和

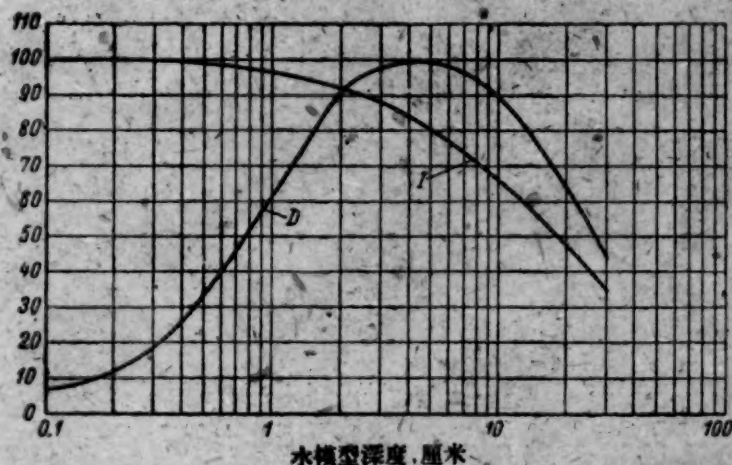


圖 3 對於 31 兆電子伏的鈹致輻射，在水模型的不同深處的輻照劑量 I 和吸收劑量 D （達到平衡的深度為 60 毫米）

吸收劑量之間的關係只是近似地（在百分之几的範圍內）保持。對於 31 兆電子伏的鈹致輻射，用能量單位表示的輻照劑量（在此能量下，未被應用的倫琴單位可看成為 93 爾格/克）在圖解上假定標出是為了說明它與吸收劑量缺乏相互關係。先決條件是：當在給定情況下在深度大於 60 毫米處達到了電子平衡時，原始輻射的吸收便極重要地表現出來。

考慮到所列一般關係式(7)以後，我們可以研究在電離室的空氣等效壁內電子平衡的兩種實際很重要的常遇情況。第一種情況與校正為倫琴的電離室的應用相聯繫着，校正工作是利用下面一種光譜組成的倫琴或 γ 輻射來進行的，這種光譜組成存在於我們所感興趣的被輻照介質的點內。在放射生物學的實驗中，射線的作用一般還是很強，而且在利用專門的倫琴或 γ 裝置進行的時候，經常遇到這種情況。此裝置的輻射譜已很清楚，它並能在校正劑量計時再現。除了已經提到的電子平衡外，加在測量裝置的唯一限制是：電離室的尺寸必須極小，以便在放到輻射場時不會使場發生顯著的變化。器壁材料在這裡可以任意選擇，因為，儘管它對室內的電離有影響，但這種效应在利用標準電離室對劑量計作校正時實際上已經考慮到了。

當上述條件滿足時，在介質 B 內的吸收劑量可以利用下列關係式按照輻照劑量的測量結果而得到：

$$D_B = D_B \frac{(m\mu_{en})_B}{(m\mu_{en})_B}, \quad (12)$$

$$D_B = 0.88 I \frac{(m\mu_{en})_B}{(m\mu_{en})_B} = fI \text{ 拉特}, \quad (13)$$

式中 $m\mu_{en} = m\tau + m\sigma_a + m\kappa$ 表示介質（或空氣）對能量的質量吸收係數，表為厘米²/克，是對穿過介質到所研究點的倫琴或 γ 輻射的所有能譜計算的； $m\tau$ ， $m\sigma_a$ ， $m\kappa$ 相應地表示對光电效应，康普頓效应和電子偶形成過程的質量吸收係數，而 f 表示數值上等於表為拉特的吸收劑量和表為倫琴的輻照劑量之比值的一個係數。

在表 1 中列出了國際放射學單位和測量委員會最新推薦的單能光子照射下水、軟組織和骨骼組織的質量吸收係數的值。

同時，空氣、軟組織和骨骼組織的化學組成與國際推薦的相同^[2]。

表 1 能量的质量吸收系数和系数 f

光子能量 兆电子伏	能量的质量吸收系数 ($m\mu_{en}$), 厘米 ² /克				$f = \frac{0.88 (m\mu_{en}) \text{ 介质 B}}{(m\mu_{en}) \text{ 空气}}$		
	水	空 气	骨骼組織	軟 組 織	水 空气	骨骼組織 空气	軟組織 空气
0.010	4.80	4.66	19.0	4.96	0.92 ₀	3.58	0.93 ₃
0.015	1.32	1.29	5.80	1.36	0.89 ₇	4.00	0.92 ₅
0.020	0.523	0.516	2.51	0.544	0.88 ₇	4.27	0.92 ₅
0.030	0.147	0.147	0.743	0.154	0.87 ₇	4.43	0.91 ₀
0.040	0.0047	0.0640	0.305	0.0677	0.88 ₇	4.18	0.92 ₅
0.050	0.0394	0.0384	0.158	0.0409	0.90 ₀	3.61	0.93 ₁
0.060	0.0304	0.0292	0.0979	0.0312	0.91 ₃	2.94	0.93 ₇
0.080	0.0253	0.0236	0.0520	0.0255	0.94 ₀	1.93	0.94 ₈
0.10	0.0252	0.0231	0.0386	0.0252	0.95 ₇	1.47	0.95 ₇
0.15	0.0278	0.0251	0.0304	0.0276	0.97 ₁	1.06	0.96 ₁
0.20	0.0300	0.0268	0.0302	0.0297	0.98 ₃	0.98 ₃	0.97 ₂
0.30	0.0320	0.0288	0.0311	0.0317	0.97 ₇	0.94 ₇	0.96 ₉
0.40	0.0329	0.0296	0.0316	0.0325	0.97 ₅	0.93 ₆	0.96 ₅
0.50	0.0330	0.0297	0.0316	0.0327	0.97 ₄	0.93 ₃	0.96 ₀
0.60	0.0329	0.0296	0.0315	0.0326	0.97 ₁	0.93 ₃	0.96 ₀
0.80	0.0321	0.0289	0.0306	0.0318	0.97 ₄	0.92 ₉	0.96 ₅
1.0	0.0311	0.0280	0.0297	0.0308	0.97 ₄	0.92 ₇	0.96 ₅
1.5	0.0283	0.0255	0.0270	0.0281	0.97 ₀	0.92 ₉	0.96 ₀
2.0	0.0200	0.0234	0.0248	0.0257	0.97 ₄	0.92 ₀	0.96 ₀
3.0	0.0227	0.0205	0.0219	0.0225	0.97 ₁	0.93 ₇	0.96 ₀
4.0	0.0205	0.0186	0.0199	0.0203			
5.0	0.0190	0.0173	0.0186	0.0188			
6.0	0.0180	0.0163	0.0178	0.0178			
8.0	0.0165	0.0150	0.0165	0.0163			
10.0	0.0155	0.0144	0.0159	0.0154			

表 2 对不同伦琴辐射谱, 1 伦琴的辐照剂量在水、软组织和骨骼组织中所相应的平均吸收剂量

加于管子 上的工作 电压, 千伏	滤片厚度, 毫米	半衰减层, 毫米	谱	$f = \frac{\text{拉特}}{\text{伦琴}}$		
				水	軟組織	骨骼組織
100	0.18 Cu	0.25 Cu 或 5.5 Al	测出的	0.91	0.94	3.10
100	0.18 Cu	0.25 Cu 或 5.5 Al	計算的	0.91	0.94	3.13
150	0.075 Cu	0.2 Cu	"	0.92	0.94	2.69
200	0.20 Cu	0.5 Cu	"	0.94	0.95	2.05
250	0.17 Cu+3.0 Al	1.0 Cu	"	0.95	0.95	1.76
250	0.9 Cu+3.0 Al	2.0 Cu	"	0.96	0.96	1.42
280	—	1.7 Cu	测出的	0.96	0.96	1.44
280	—	2.5 Cu	"	0.97	0.96	1.22
280	—	3.1 Cu	"	0.97	0.965	1.13
400	—	4.16 Cu	"	0.97	0.97	1.11

在表 2 和图 4 上列出了按一系列伦琴辐射谱平均而得到的(不论是在实验中加以测量的或是按照克拉米尔斯 (H. Kramers) 公式^[8]进行计算的)系数 f 的实际上重要的数值。

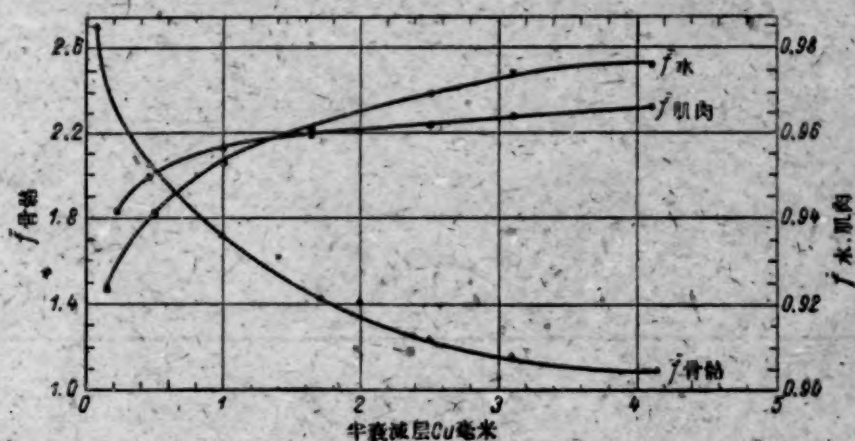


图4 作为半衰减层的函数的系数 f 之值。

輻照剂量的测量方法也成功地应用于确定已知性质的 γ 辐射的放射性。例如,在第二届和平利用原子能国际会议上,英国的一些学者在报告中指出^[9],用此方法可以容易地确定钴源的放射性,精确度为 $\pm 5\%$ 。应当承认,对于大多数目的这已经是足够满意的了。

在电子平衡条件下,对伦琴或 γ 辐射的吸收剂量进行绝对测量的第二个实际上重要的情况是与采用器壁由空气等效材料所组成的电离室相联系着的。保持电子平衡的要求对电离室

表3 某些物质与空气相比较的质量阻止本领的平均值
(考虑到密度效应)

电子的最初动能, 兆电子伏	阻 止 本 领 数 值		
	碳	水	组 织
0.01	1.050	1.202	1.182
0.02	1.044	1.191	1.172
0.03	1.041	1.185	1.166
0.04	1.039	1.181	1.163
0.05	1.038	1.179	1.160
0.06	1.037	1.177	1.159
0.07	1.036	1.175	1.157
0.08	1.035	1.174	1.156
0.09	1.034	1.173	1.155
0.1	1.034	1.172	1.154
0.2	1.030	1.166	1.148
0.3	1.027	1.163	1.145
0.4	1.024	1.161	1.143
0.5	1.022	1.159	1.141
0.6	1.020	1.158	1.140
0.7	1.017	1.156	1.138
0.8	1.016	1.154	1.136
0.9	1.014	1.152	1.134
1.0	1.012	1.150	1.132
2	1.001	1.139	1.121
3	0.985	1.121	1.103
4	0.976	1.110	1.093
5	0.968	1.108	1.084
6	0.961	1.093	1.076
8	0.950	1.080	1.063
10	0.940	1.069	1.052

結構提出两个限制:一方面,它的器壁应当足够的厚,以消除来自电离室周围的外部介质中任意的次级电子;另一方面,空腔的尺寸比起大部分使其中气体电离的次级电子的射程来,又应该是很小的。后一条件当测量软伦琴射线时是难以满足的,因此在这种情况下应当偏重于电离室的方法,后者用标准电离室校正为伦琴。

在应用空气等效电离室时,吸收剂量的计算基于利用区域电离理论的关系式,它考虑到器壁材料和空气的相对阻止本领 $S_{e,B}$:

$$D_C = 0.88 Q S_{e,B} \text{ 拉特} \quad (14)$$

式中 Q 表示由所研究的辐射在标准条件下 1 厘米³ 空气内产生的任何符号的离子所携带的电荷(以电量的静电单位表示)。由此可见,在介质 B 内的吸收剂量可按下公式得到:

$$D_B = 0.88 Q S_{e,B} \frac{(m\mu_{en})_B}{(m\mu_{en})_A} \text{ 拉特} \quad (15)$$

表 3 表示出了碳、水和肌肉组织的相对阻止本领的平均值(与空气相比较),它们是对电子能量从 0 到电子的最初(单色)能量施行积分而得到的。

表 4 某些物质与空气相比较的质量阻止本领的平均值,积分是按 Co^{60} 或 Cs^{137} 的 γ 辐射所形成的康普顿电子的最初能谱进行的

γ 射线源	阻 止 本 领 数 值		
	石 墨	水	组 织
Co^{60}	1.01 ₀	1.15 ₈	1.13 ₇
Cs^{137}	1.02 ₀	1.16 ₈	1.14 ₈

表 4 包括了对于碳、水和组织的平均相对阻止本领(与空气相比较)的实际上重要的计算结果,对应的能谱是由 Co^{60} 和 Cs^{137} 的 γ 辐射所形成的康普顿电子的能谱(包括密度效应的修正^[10])。

从上所述可以看出,利用所谓空气等效的物质作为电离室器壁的材料是多么重要。在不久以前,认为石墨在这方面是很好的材料,但是,由于对放射生物学实验精确度的要求日益增长,在近来甚至于要求必须消除与石墨的应用相联系的那些微小的误差。此问题已在 1958 年被以法依拉(Failla)为首的一批美国剂量学家所解决,他们应用了导电电木所组成的“理想”器壁,所得到的结果已在第二届和平利用原子能国际会议的报告详细地谈过^[11]。这些研究家所得到的材料成分,是在分析了(把这些物质与空气的电离特性等同起来所导出的)方程系的解以后得出的。选取了聚乙烯(CH_2),尼龙($C_6H_{11}NO$),烟黑(C),二氧化硅(SiO_2),氟化钙(CaF_2)作为复杂的导电电木的组分。

由国际放射学单位和测量委员会所推荐的数据^[2]已成为人体肌肉和骨骼组织的化学成分的基本数据。

为测定混合物质 $(C)_a (CH_2)_b (C_6H_{11}NO)_d (SiO_2)_e (CaF_2)_g$ 组成的百分比的数值,特利用下列组成方程式的原则:1)使氮、氢、碳的含量相等(同时注意到实验中得出的事实:当游离碳占 13.5% 时具有合适的导电性);2)把康普顿和光电效应产生的离子对数目取作相等(后者规定为 30 仟电子伏)。

用这种方法进行计算和实验修正以后,制成了这样的导电电木(其中也包括组织等效的),它不仅对于肌肉和骨骼组织中的光子,而且对于光子和中子的混合流(这一点在反应堆和加速器的基本粒子的实际剂量学中,具有特别重要的意义)都可以直接测定以拉特为单位的吸收剂量。利用这些材料测量到的结果与计算相偏离的程度对于真正的组织来讲是极端微小的,甚

至于在目前最复杂的低能区域中也只不过是3—5% (例如, 与組織等效的塑料混合物——肌肉相似体, 当無論用 γ 射綫或是用中子——其能量范围为20—50 仟电子伏——輻照它們时, 給出的偏差为——3.7% 到 6.0%, 类似的對骨骼組織相似体为——1.1 到 2.1% 等等)。帶有金屬壁的电离室照樣能在用頂針电离室确定一些校正系数时用来作相对測量。在第二屆和平利用原子能国际會議上, 捷克劑量学家克魯姆巴爾 (Клумпар)^[12] 所作的報告便是一个例子。但是这种发送器只可能用于已知譜成分的輻射場, 这就大大地限制了它的应用范围。

除了已指出的絕對測量的优点外, 頂針电离室具有某些根本不能消除的限制, 縮小了应用范围和这一方法的普遍性。鑑于上述情况, 在一系列的實驗中, 为了建立一种可以消除布萊格-格列依 (Брэгг-Грей) 原理的基本限制 (小的区域, 忽略被測量的輻射在壁中的微小吸收, 在壁內的次級电子完全被吸收), 而保持其优点的方法, 正在进行了一些探索性的研究。意大利劑量学家罗那季 (Лонати)^[13] 在这領域中得到重大的結果, 他設計成了一种安装在輻照模型內的熒光塑料物質。对于积儲的光和 (它单值地与1克物質吸收的能量相联系) 的下一步測量工作是利用与塑料探测器相联系的电离室而进行的。十分有趣地注意到, 罗那季創造性地运用了为我国盖依李姆-馬尔庫斯 (И. Б. Кеirim-Маркус) 和安东諾夫-罗曼諾夫斯基 (В. В. Антонов-Романовский) 及其合作者所研究出来的两个原理。这里所指的是个人发光检查法 (ИЛК)^[14], 这一方法利用了熒光現象測量輻照的积分劑量, 以及在1958年提出的依照 Na^{22} 次級 γ 輻射測量热中子深部劑量的新穎的方法^[15]。罗那季拒絕采用对不同能量的 β 粒子具有不同灵敏度的照相乳胶, 而研究出一种新的塑料, 它由苯乙烯 (重量占 97.46%)、联三苯 (重量占 2.5%)、联三苯丁二烯 (重量占 0.03%) 所組成。

此物質的密度为 1.1 克/厘米³, 具有的平均有效原子序数几乎和人体組織的平均有效原子序数相同, 它可以用来可靠地測量硬伦琴和 γ 輻射的深部劑量, 因为它对 β 粒子的灵敏度在很寬的能量范围内是常数。

实际上經常在电子平衡条件不存在的情况下进行劑量測量 (例如, 在組織——空气或骨骼——組織区域边界上具有过渡效应的条件下)。在这种情况下, 現在推荐应用器壁比次級电子在輻照介质的被研究点內的射程还要薄的。空气电离室如果器壁薄到这样程度: 它对空气区域的总电离的貢獻小到可以忽略, 那末器壁的成分可以是任意的。但是实际上这一要求是难以实现的, 因此室壁应由那些成分接近于直接圍繞測量裝置的介质成分的物质所制成。显然, 在这种条件下电离室在吸收劑量的梯度方向的深度应当是小的。如果在此条件下所研究的輻射在标准条件下1厘米³ 的空气中形成的任意符号的离子所带的电荷为 Q 静电单位电量, 那末区域电离理論的一般关系是适用的:

$$D_B = 0.88 S_{EB} Q \text{ 拉特} \quad (16)$$

所举材料証明, 在大多数研究核輻射对物質的相互作用的所有可能的放射生物学和物理学的實驗中, 伦琴或 γ 輻射的吸收劑量能够按照輻照劑量的絕對測量結果而得到。由于, 伦琴的概念可用于能量达到3兆电子伏的輻射, 这一方法被应用在最廣闊的伦琴或 γ 輻射的能量范围内。

[家 白譯]

参 考 文 献

- [1] А. М. Кузин: Тр. Всесоюз. конференции по применению изотопов и ядерных излучений. Радиобиология. М., Изд-во АН СССР, 1958, стр. 3—13.
- [2] Report of the International Commission on Radiological Units and Measurements (ICRU). National Bureau of Standards Handbook, 62 (1957).
- [3] H. Franz, W. Hubner: Доклад № 971, представленный ФРГ на Вторую международную конференцию по мирному использованию атомной энергии (Женева, 1958).
- [4] H. Woodard, F. Spiers: *Brit. J. Radiol.*, **26**, No. 301, 38 (1953).
- [5] U. Fano: *Rad. Res.*, **1**, No. 3, 237 (1954).
- [6] L. Gray: *Proc. Roy. Soc.*, **A156**, 578 (1936).
- [7] W. Ooster Kamp: *Appl. Sci. Res.*, **3**, No. 2, 100 (1953).
- [8] H. Kramers: *Philos. Mag.*, **46**, 836 (1923).
- [9] W. Eastwood, R. West, E. Wiblin: Доклад № 288, представленный Великобританией на Вторую международную конференцию по мирному использованию атомной энергии (Женева, 1958).
- [10] R. Sternheimer: *Phys. Rev.*, **103**, No. 3, 511 (1956).
- [11] F. Shonka, J. Rose, G. Failla: Доклад № 753, представленный США на Вторую международную конференцию по мирному использованию атомной энергии (Женева, 1958).
- [12] И. Клумпар. Доклад № 2108, представленный Чехословакией на Вторую международную конференцию по мирному использованию атомной энергии (Женева, 1958).
- [13] R. Lonati: Доклад № 1393, представленный Италией на Вторую международную конференцию по мирному использованию атомной энергии (Женева, 1958).
- [14] В. В. Антонов-Романовский, И. Б. Кейрим-Маркус, М. С. Порошина, З. А. Трапезникова: Сессия АН СССР по мирному использованию атомной энергии (заседания Отд. физ.-матем. наук). М., Изд-во АН СССР, 1955 стр. 342.
- [15] А. Г. Истомин, И. Б. Кейрим-Маркус: Физика и теплотехника реакторов. Приложение № 1 к журналу «Атомная энергия». М., Атомиздат, 1958, стр. 136.

簡 報

論 同 位 素 He^7

巴拉紹夫 (B. B. Балашов)

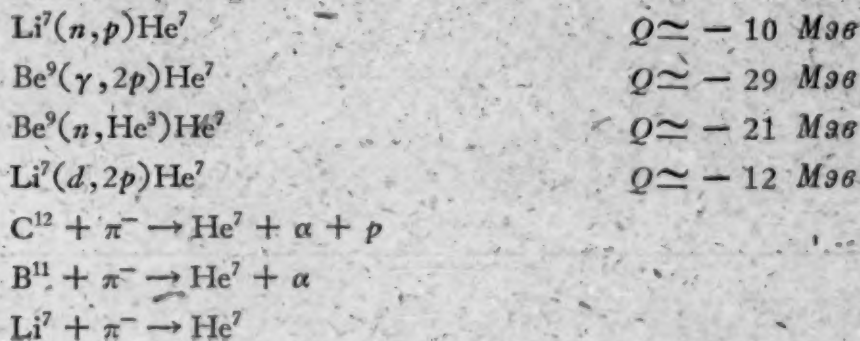
在文献[1,2]中,作者根据原子核 Li^7 的能級的計算得出了下面的結論:可能存在稳定同位素 He^7 (对核子的发射來說). 按照計算,对于具有同位旋 $T = \frac{3}{2}$ 的原子核 Li^7 來說,其前三个状态相应的能量为 $10.1 \left(J = \frac{3}{2}\right)$, $12.4 \left(J = \frac{1}{2}\right)$ 和 13.2 兆电子伏 $\left(J = \frac{5}{2}\right)$. 根据同位旋的选择定則,在反应 $\text{Li}^7(\gamma, n)\text{Li}^{6*}$ 中可能出现这些状态,而在反应 $\text{Li}^7(\gamma, \text{H}^3)\text{He}^4$ 中这些状态是禁戒的. 实际上,反应 (γ, n) 的实驗研究指出,在所研究的能量范围中,存在有能量为 10.8; 12.4 及 14.0 兆电子伏的三个能級. 这些能級在反应 (γ, H^3) 中是观察不到的,然而其相邻的状态(能量为 9.3 和 17.5 兆电子伏, $T = \frac{1}{2}$) 却在两种反应中都能观察到^[3].

具有 $T = \frac{3}{2}$ 的原子核組成一同位四重綫. 原子核 He^7 (以及 B^7) 的基态相当于 $T = \frac{3}{2}$ 的 Li^7 的最低激发态. 从上述可知: 分解为 He^6 和中子的 He^7 的結合能非常小, 其值为几个电子伏(为了实現核稳定同位素 He^7 , $T = \frac{3}{2}$ 的 Li 核的第一个能級不得超过 10.81 兆电子伏). 因为用来鉴别 Li^7 能級的实驗准确度較低, 确定結合能时的“儲备”不大. 严格的說, 应该认为: He^7 的結合能在实驗誤差范围内等于零, 因而关于同位素 He^7 的存在就变成了悬而未决的問題.

現在来闡述一下这个問題的实驗.

获得和直接观测同位素 He^7 的实驗 He^7 核应是 β 放射性. 在 β 衰变时, 大半是向 Li^7 的基态和第一級激发态 (0.477 兆电子伏) 跃迁. β 譜的上限等于 ~ 10 兆电子伏. 根据壳模型在 $j - j$ 耦合近似的情况下而計算出的 $\log ft$ 值等于 3.26, 在接近 $j - j$ 耦合的图象时 $\log ft$ 值增大, 因此同位素 He^7 的寿命应为 $\sim 30 - 100$ 毫秒. 可以直接地也可以通过 Li^7 的第一激发态与基态之間的放射跃迁来观察这种衰变.

在下列反应中可以得到同位素 He^7 :



如果相应于 He^7 的状态位于正能量范围时,它就應該按照 He^6 和中子的特征关联出現于上述各反应中.

文献[4]报导,在碳吸收負 π 介子时,除了 B^{12} 衰变 ($\tau = 20$ 毫秒)所引起的 β 放射性外,还观察到了 $\tau = 80$ 毫秒的放射性. 本文作者对其本性是不清楚的. 虽然此未知原子核的寿命与同位素 He^7 寿命的計算值很相符,但是仅仅根据这样一个实验,尚不足以証实同位素 He^7 存在.

間接实验 用来观测 $T = \frac{3}{2}$ 的 Li^7 能级的实验很不准确,因为能级的能量是根据产额曲线确定的. 可以进行旨在直接研究具有 $T = \frac{3}{2}$ 的 Li^7 和 Be^7 的能级实验. 除上述 (γ, n) 和 (γ, H^3) 反应外(对这些反应須更准确地进行研究),我們还应该研究 $\text{Li}^6(\rho, p)\text{Li}^6$ 和 $\text{He}^4(\text{He}^3, \text{He}^3)\text{He}^4$ 反应.

由于庫仑作用破坏了同位旋态的純度, $T = \frac{3}{2}$ 的 Be^7 的第一能级对于 $\text{Li}^6 + p$ 和 $\text{He}^4 + \text{He}^3$ 道的寬度約为維格涅洛夫斯基极限 1%, 相应于形成 $T = 1 (J = 0; E = 3.57$ 兆电子伏) 的激发态 Li^6 的道,对于 S 质子是禁戒的,而对于 p 质子減弱的很厉害,因为质子所荷的能量約等于 0.5 兆电子伏. 因此上述反应的截面应在相应于 $T = \frac{3}{2}$ 的 Be^7 的第一能级处出現尖的共振峯.

作者感謝希罗柯夫 (Ю. М. Широков) 对此工作的关注.

参 考 文 献

- [1] В. В. Балашов: Доклад на IX ежегодном совещании по ядерной спектроскопии. Харьков, 1959.
- [2] В. В. Балашов: Диссертация. МГУ, 1958.
- [3] F. Ajzenberg, T. Lauritzen: *Rev. Mod. Phys.*, 27, 77 (1955).
- [4] J. Burgman, I. Fiseluri: *Phys. Rev. Letter*, 1, 469 (1958).

利用碳化鈦把热能轉变为电能的热电子轉換

莫尔古里斯 (Н. Д. Моргулис) 柯尔切沃依 (Ю. П. Корчевой)

目前,利用热电子发射来直接把核(热)能轉变成电能的問題引起了极大的兴趣. 在这方面已經做过的初步工作在短評[1]中有所描述,在該短評中我們探討了下列几种情况:

1. 应用純的难熔金属(在铯蒸汽中的鎢)作为阴极. 当阴极温度为 $T = 2500^\circ\text{K}$ 时,在 1949 年曾得到了能量的轉变效率为 $\eta \simeq 1\%$ 和阴极上的有效单位功率为 $\omega \simeq 1$ 瓦/厘米². 相似的充铯换能器的工作原理在其他文献中^[1]取得了进一步的发展.

2. 采用铯蒸汽中的双組份低温 (Ba-W) 金属薄膜的 λ 阴极作为阴极. 用类似的方法在 $T = 1300^\circ\text{C}$ 下成功地得到了 $\eta \simeq 5\%$ 和 $\omega \simeq 0.6$ 瓦/厘米².

在該試驗中我們曾找到了单組份的阴极材料,希望这种材料能在温度 $T \simeq 2000^\circ\text{K}$ 的平均范围内給出明显的电子发射并且希望有不太小的电子逸出功 ϕ_k . 后者所以是必要的,是为了得到: 1) 在阴极整个表面上的铯蒸汽能均匀而明显的热电离,該热电离能中和电子空間电荷;

2) 电动势主要值 $\mathcal{E} \simeq (V_K + V_0) \approx V_K$, 也就是說, 能得到同类型轉变的 ω 和 η 值, 此处 $V_K = (\varphi_K - \varphi_A)$ ——逸出功为 φ_K 和 φ_A 的阴极和阳极之間接触电位差, 而 $V_0 = \frac{2e}{K} (T_K - T_A)$.

从这个观点来看, 根据已有的非常有限的資料^[2], 在二碳化鈷—— ThC_2 ——中似乎是有效地符合上述性質, 因此它被选用来进行研究. 必須指出, 在簡介[3]中同样也說明了采用碳化鈷来进行能量的热电子轉换, 在該情况下曾获得了 $\eta > 15\%$, 和 $\omega > 15$ 瓦/厘米².

在試驗的最初阶段, 曾采用了在鈷蒸汽中的二极管. 用窄鈷片作为阴极, 窄鈷片的中間部分涂上一层薄的 ThC_2 ; 阳极是用鉭做的, 并且在两端有保护圈. 两极間距是 1.5 毫米左右. 阴极温度是在假定 ThC_2 在黑体輻射的情况下^[2] 用光学微高温計測量的. 曾向电子管內加了一滴金属鈷, 金属鈷的蒸汽压力由放置在可調温的恆温器內的电子管瓶的温度 t 来确定. 为了防止灯絲电流磁場的失真影响和防止有纵向电位降, 阴极是供交流电, 在灯絲綫路上帶有一个整流器, 并在截止灯絲电流的半周期內借助于示波器用熟知的电路来测定阴极各参数.

同时用电子和离子发射的方法測量 ThC_2 的电子参数. 在第一种情况下, 当电子管瓶是冷的时候, 亦即当蒸汽压力 P 最低时, 曾测定了电子发射 I_e 和温度的关系. 得出了李恰遜关系 (Зависимость Ричардсона) $\lg \frac{I_e}{T^2} = f\left(\frac{1}{T}\right)$ (图 1). 由已得直綫的角系数发现, $f_K = 3.2$ 电子伏和常数 $A = 200$ 安/厘米²度². 在第二种情况下, 測量了离子发射 I_p (即用热电离鈷蒸汽原子的方法在阴极上所得到的电离电流) 和温度的关系. 在这种情况下电子管瓶曾加热到 $t \simeq 95^\circ\text{C}$, 式中 $p \simeq 4 \cdot 10^{-4}$ 毫米水銀柱. 得到了 $\lg I_p = f\left(\frac{1}{T}\right)$ 的关系, 这个与理論一致的关系就是图 1 中的直綫 2. 根据此关系的角系数曾得到 $f_K = 3.4$ 电子伏. 在这种情况下 α ——

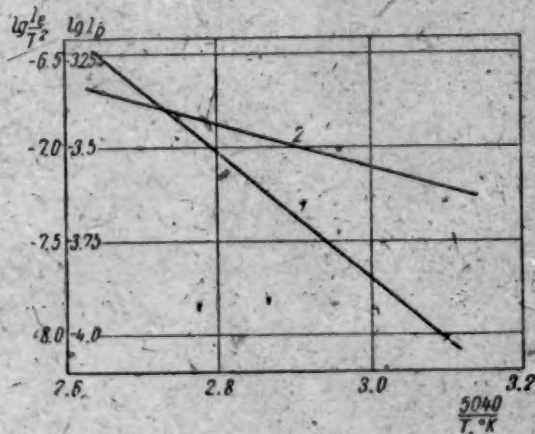


图 1 电子(曲綫 1)和离子(曲綫 2)发射与温度的关系.

ThC_2 表面鈷原子的电离几率 (例如, 在 1900°K 下) 約等于 7%, 同时在理論上 (暂不把 ThC_2 同金属区分开) $\alpha = \frac{1}{2} \exp \left[-\frac{e}{kT} \times (V_i - \varphi) \right] \simeq 2.4\%$. 由此可見, 这两种方法得到了实际上是相同的并且和实验[2]相近的 φ_K 数值, 就是說, 得到了明显的而又按其符号是有用的 (相对于阳极鈷封閉薄片而言) 接触电位差为 $V_K \simeq 1.6-1.8$ 伏.

我們来分析一下能量轉变时电子管的工作. 首先我們測定短路电流 I_0 和轉变电动势 \mathcal{E} 在一定温度 T 下同 p 或 t 值間的关系. 当 $T = 2000^\circ\text{K}$ 时类似的关系如图 2 上实綫所示, 此处我們可看到, 电动势实际上具有不变的并且同 V_K 很接近的数值 $\mathcal{E} = 1.7$ 伏, 而 I_0 值当 $t > 100-120^\circ\text{C}$ 时开始很快地上升, 表明在阴极处有很大的发射潛力. 图上的虛綫表示对于

$t = 20^\circ\text{C}$ (曲线 1) 和 $t = 250^\circ\text{C}$ (曲线 2) 二种情况下电动势 \mathcal{E} 同阴极温度的关系。

现在选出 $t = 250^\circ\text{C}$ ($p \approx 0.5$ 毫米) 和 $T = 2100^\circ\text{K}$ 后, 我们可作出对我们很重要的在把外部电阻接入线路时的负荷特性曲线, 即电流 I_R , 电位降 $V_R = I_R R$ 和有效功率 $W_R = I_R^2 R$ 的关系, 这个特性曲线如图 3 所示。果然不出所料^[1], 当 R 等于内电阻 R_i 时, 数值 $W_R = \omega S_n$ 刚好通过最大值, 此处我们得到 $\omega \approx 16$ 瓦/厘米², $V_R \approx 1.1$ 伏, $R_i \approx 0.1$ 欧姆/厘米²。此外, 在这种状况下 $\mathcal{E} = 1.7$ 伏和 $I_0 \approx 19$ 安/厘米²。至于转变效率的测定则非常困难。在这种实验方法下阴极温度是在断开线路时用高温测定法来测量, 此时所得的灯丝功率 W_n 保持为常数。同时, 当电子管工作时阴极的能量平衡遭到了很大破坏。既然由于铯蒸汽的发光作用不可能应用阴极温度的高温测定法, 那么, 我们就仅仅指出 η 所在的范围, 即 $\frac{\omega}{W_n + I_R \phi_n} \leq \eta \leq \frac{\omega}{W_n}$

$$\eta \leq \frac{\omega}{W_n}$$

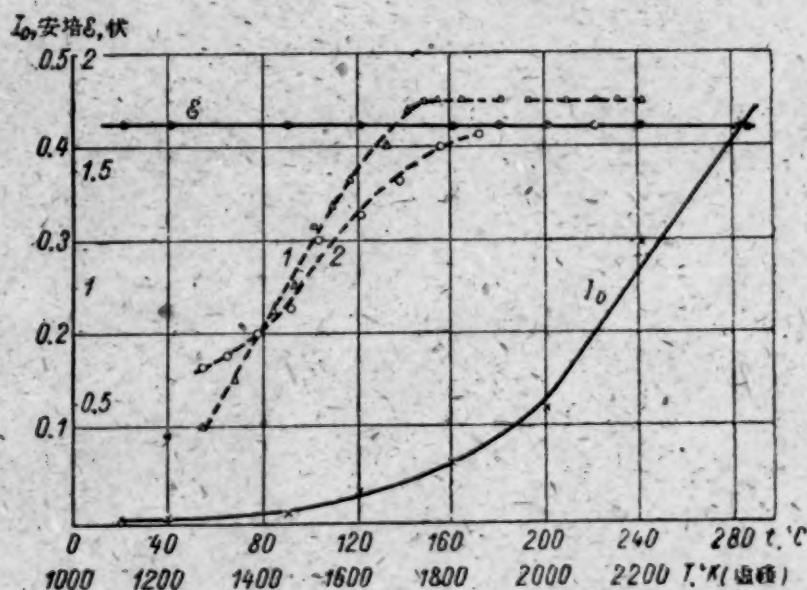


图 2 短路电流 I_0 和转变电动势 \mathcal{E} 在 $T=2000^\circ\text{K}$ 时同铯蒸汽压 (通过电子管瓶温度表示) 的关系 (实线) 以及电动势 \mathcal{E} 在 t 等于 20 和 250°C 时 (对应于虚线 1 和 2) 同阴极温度 T 的关系。

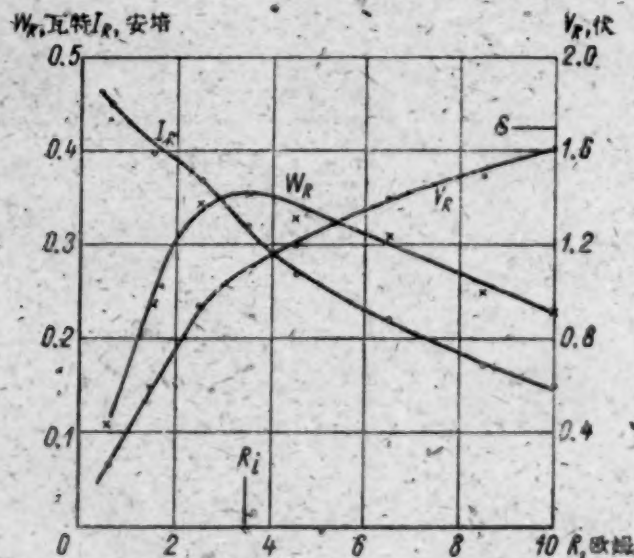


图 3 对于 $t=250^\circ\text{C}$ 和 $T=2100^\circ\text{K}$ 时的负荷特性曲线。

用同样方法处理图 3 上的数据, 我們將得到 $\eta = 10-15\%$, 这同 $\omega \simeq 16$ 瓦/厘米² 一样是非常有利的。

对于相似轉变更完整的特性我們將列出 T 和 t 不同工况下的数值表。这些特性表明当 $T = 2000-2100^\circ\text{K}$ 和 $t = 250^\circ\text{C}$ 时能稳固的获得 $\mathcal{E} = 1.7$ 伏, $\omega > 10$ 瓦/厘米² 和 $\eta \simeq 10\%$ 。根据文献[1]中的資料来看, 特别是对于平均 $T \simeq 2000^\circ\text{K}$ 來說, 所有这些 ω 和 η 值是非常令人满意的。

在图 4 上根据图 3 的数据作出两条伏-安曲线: 外部綫路曲线(亦即电子电流 I_R 同电位 V_R 的关系曲线)(此处引入了动力学特性, 亦即与 $\text{tg}\theta = R$ 的条件相适应的直綫)和轉变器内部綫路曲线(亦即同一个电流 I_R 与其在内部的电位降 $V_p = (\mathcal{E} - V_R)$ 的关系曲线)。曲线 1——实质是个持延曲线——表征轉变器的有益函数, 即 I_R , V_R 和 W_R 值。在 V_R 值小时饱和区极不明显, 其原因尚不得而知。

在能量轉变的情况下, 当电子管工作时 T 和 t 不同工况下的数据

$T, ^\circ\text{K}$	$t, ^\circ\text{C}$	\mathcal{E}, v	$I_0, \text{a/cm}^2$	$\omega, \text{gm/cm}^2$	$\eta, \%$
1900	200	1.7	5	2	2
1900	250	1.7	12	8	8-10
2000	250	1.7	15	11	8-12
2100	250	1.7	19	16	10-15

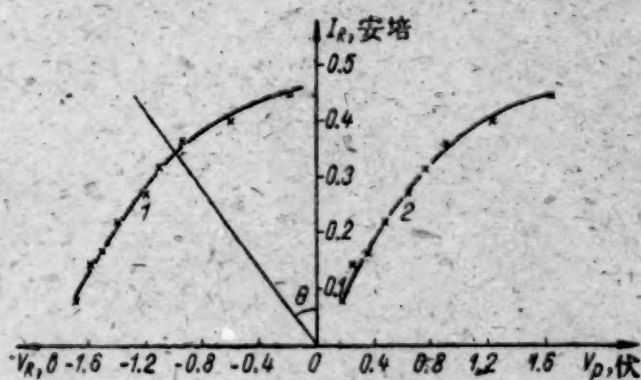


图 4 伏-安曲线

1——外綫路的; 2——內綫路的($T = 2100^\circ\text{K}$, $t = 250^\circ\text{C}$)

曲线 2 有一个非常有意义的特点, 它上面沒有满足条件 $\frac{dV}{dI} \leq 0$ 的綫段, 而 $\frac{dV}{dI} \leq 0$ 是普通电弧放电的条件。因此必須认为, 換能器电极之間的空间主要是充滿着热等离子体, 也就是說充滿着一种介质, 在其中电子和离子(他們具有相同的浓度)是在阴极表面上互相无关的以热方法而获得的。在这种場合下介质起着某种內电阻的作用^[1]。

由此可見, 我們已获得的初步結果証明了即便在平均温度范围为 $\sim 2000^\circ\text{K}$ 时也有获得明显的 ω 和 η 值的可能性。

作者衷心感謝曾为本实验精心制备二碳化鈦的沙姆遜諾夫 (Г. В. Самсонов) 教授(乌克兰苏維埃社会主义共和国科学院金属陶瓷与合金研究所)。

参 考 文 献

- [1] Н. Д. Моргулис: Усп. Физ. наук. 70, 679 (1960).
- [2] D. Goldwater, R. Haddad: J. Appl. Phys., 22, 70 (1951); D. Wright, Proc. Instn. Electr. Engrs., III, No. 100, 125 (1953).
- [3] R. Fox, W. Gust: Bull. Amer. Phys. Soc., 4, 322 (1959).

論物体内热源对对流换热的影响

西 道 洛 夫 (Э. А. Сидоров)

众所周知,在某些情况下气体和液体的运动同时伴随着吸热或放热的物理化学过程。在文献[1,2]中讨论了关于当液体(在加入或导出的热流密度不变时)在稳定管段内运动时的内部散热问题。

现在要研究,在改变热流密度的任何特性下,在改变环流表面温度的任何规律下,对弯曲表面环流的一般情况来说,内热源对放热交换强度的影响问题。

我们把原始能量方程式写成积分式:

$$\frac{d}{dx}(U t_0 \varphi) = \frac{1}{\rho c}(q + W \delta). \quad (1)$$

这个方程式对稳流和湍流都是成立的。式中所用符号意义如下:

x ——坐标轴,与气体或液体的流动方向一致; U ——介质在边界层外的流速; $t_0 = T_0 - T_1$; 其中 $T_0 = \text{常数}$ ——介质在边界层外的温度; $T_1 = T(x)$ ——环流表面温度; φ ——焓损失厚度; ρ 和 c ——分别为介质的密度和热容量; q ——在介质边界和物体表面的热流密度; W ——内发热源单位体积功率; δ ——温度边界层的厚度。

如文献[3]中分析表明,流体运动时存在的压力梯度和环流表面不等温性实际上对 $q = q(\varphi)$ 函数的关系形式影响很小。因此有理由认为,当具有其他因素(包括内热源)影响时, $q = q(\varphi)$ 函数依赖关系形式不变。将文献[4]中所求得的无梯度环流关系式

$$\delta = m \varphi \quad (2)$$

和

$$q = A \rho c U t_0 Pr^{2/3(s-1)} \left(\frac{U \varphi}{\nu} \right)^s \quad (3)$$

代入方程式(1)中,并当边界条件 $\varphi(0) = 0$ 时对 φ 解方程式(1),则得

$$\begin{aligned} \varphi = & \frac{1}{U t_0} [A(1-s)]^{\frac{1}{1-s}} Pr^{-2/3} \nu^{\frac{s}{s-1}} \exp\left(\frac{m W x}{\rho c U t_0}\right) \times \\ & \times \left\{ \int_0^x U t_0^{1-s} \exp\left[-\frac{m(1-s) W x}{\rho c U t_0}\right] dx \right\}^{\frac{1}{1-s}}. \end{aligned} \quad (4)$$

式中, ν ——介质的动粘系数; Pr ——普朗特数; A, m, s ——表征流态特性的无量纲数(对稳流 $A = 0.222, m = 7.55, s = -1$; 对湍流 $A = 0.00658, m = 10.3, s = -\frac{1}{6}$)。

现将考虑了内热源影响的解(4)代入不变式(3),求出当有内热源时的放热强度关系式(无量纲形式)

$$\begin{aligned} Nu = & (1-s)^{\frac{s}{1-s}} A^{\frac{1}{1-s}} Re^{\frac{1}{1-s}} Pr^{\frac{s}{1-s}} \exp\left(\frac{m s W x}{\rho c U t_0}\right) \times \\ & \times \left\{ \frac{1}{U x t_0^{1-s}} \int_0^x U t_0^{1-s} \exp\left[-\frac{m(1-s) W x}{\rho c U t_0}\right] dx \right\}^{\frac{s}{1-s}}, \end{aligned} \quad (5)$$

式中, $N_u = \frac{qx}{\lambda t_0}$ ——努謝尔特数; $Re = \frac{Ux}{\nu}$ ——雷諾数。从式(5)得知, 仅对平面絕热环流情况 ($U = \text{常数}$; $t_0 = \text{常数}$) 来说, 内热源的影响效果在分析上可写成“純粹的形式”。在这种情况下, 从公式(5)得

$$Nu = Nu_0 \left[\frac{1}{Z} (\exp Z - 1) \right]^{\frac{s}{1-s}}, \quad (6)$$

式中 $Z = \frac{m(1-s)Wx}{\rho c U t_0}$ ——表征具有内热源的无量綱数; Nu_0 ——无内热源时的努謝尔特数

值。分析(6)式时就不难看出, 由热源发出的热量 ($W > 0$) 可使放热系数 $\alpha = \frac{q}{t_0}$ 减少; 而热量的吸收 ($W < 0$) 引起 α 增大。从(6)式同样可知, 稳流时比湍流时影响更大。以上两种結論均与文献[1,2]的結果相符。

参 考 文 献

- [1] G. Muller: *Amer. Soc. Mech. Engrs., Paper No. 58-HT-17, 1*, (1958).
- [2] С. С. Кутателадзе, Н. И. Ивашенко, Т. В. Заблоская: *Атомная энергия*, 7, вып. 3, 253 (1959).
- [3] Г. С. Амброк: *Ж. техн. физ.*, 27, № 9, 2134 (1957).
- [4] Л. Р. Лойцянский: *Механика жидкости и газа*. М., Физматгиз, 1958.

論非晶鈾矿与鋳矿物的稠密共生

朱 柯 娃 (В. И. Жукова)

当研究产在白云石和石英-鈉长-綠泥石頁岩中的綜合性硫化物鈾-鋳矿和鈾矿时, 确定, 存在于这些矿石中的非晶鈾矿含有太量的鋳和稀土元素(主要为釷和釷族元素)。

非晶鈾矿在白云石中, 形成薄层細脉(零点几厘米)和矿巢, 并呈胶状体。与非晶鈾矿共生者有: 黄銅矿、針白鉄矿、粒輝鋳矿、輝鉄鋳矿、綠泥石、滑石及方解石。在石英-鈉长-綠泥石頁岩中, 非晶鈾矿相互交替造岩矿物, 填充空隙, 形成小細脉和扁豆体。黄鉄矿、黄銅矿、白鉄矿、赤鉄矿、磁黄鉄矿、砷黄鉄矿、輝鈾矿、輝砷鋳矿、綠泥石、电气石、石英及方解石, 均与非晶鈾矿共生。

含鋳非晶鈾矿的物理性質与普通非晶鈾矿的物理性質无差別。其中, 非晶鈾矿的絕對显微硬度变化于 580—1070 公斤/毫米²之間。

非晶鈾矿的化学成分列于表 1 中。由于很难分出純非晶鈾矿(特别是从頁岩中), 故分析了一些不純的粒級。

表 2 中列出了伦琴光譜分析結果, 这些結果表明, 非晶鈾矿中的鋳含量变化于千分之几到 10%, 而稀土元素的总合則占 0.5 到 6%。同时, 白云石中的非晶鈾矿比頁岩中的非晶鈾矿所含的鋳和稀土元素要多得多。

用显微鏡观察(包括加紫外照明器), 在矿石标本中, 未发现鋳矿物和稀土矿物。在所有的金属矿物和脉石矿物——非晶鈾矿的伴生矿物中, 以及围岩-白云石中, 均无鋳和稀土元素。在石英-鈉长-綠泥石頁岩中和頁岩的个别造岩矿物中, 发现有万分之几的鋳。

表1 非晶铀矿的化学成分(%)

氧化物	白云石中的非晶铀矿(顿斯基赫分析)	石英-钠长-绿泥石页岩中的非晶铀矿(斯涅吉列娃分析)
MgO	0.42	3.32
CaO	0.65	1.10
PbO	0.87	0.56
TR ₂ O ₃	1.85	1.30
Fe ₂ O ₃	0.07	0.64
UO ₂	46.14	41.12
UO ₃	42.55	31.47
SiO ₂	1.52	4.40
CuO	—	0.37
ZrO ₂	5.10	2.13
TiO ₂	—	0.14
H ₂ O	0.40	0.7
烧损(300°C)	未测	0.2
总合	99.57	99.60*

* 包括 8.40% 碳酸气, 0.15% 硫和 3.6% 其他元素(铈、钼、钾等)。

表2 用伦琴光谱法, 鉴定非晶铀矿中铈和稀土元素的结果(以百分比为单位)

样品编号	Zr	Y	Ce	La	Sm	Nd	Dy	Gd
白云石中的非晶铀矿								
1	1	0.65	0.05	未发现	0.05	0.05	未发现	0.05
2	2.3	0.70	0.05	”	0.1	0.1	0.1	0.1
3	3.0	1.2	0.07	”	0.2	0.3	0.3	0.3
4	4.0	0.9	未发现	”	0.3	0.3	0.3	0.3
5	1.5	0.3	”	”	未发现	未发现	未发现	未发现
6	9.5	4.5	0.05	”	0.15	0.4	0.4	0.5
7	5	2.0	0.1	”	0.3	0.3	0.3	0.5
8	10	2.5	0.15	”	0.3	0.4	0.3	0.5
9	2.2	1.4	0.1	”	0.1	0.1	0.05	0.1
10	2.5	1.2	0.05	”	0.05	0.2	0.05	0.05
11	3.2	1.5	0.05	”	0.05	0.05	0.05	0.05
石英-钠长-绿泥石页岩中的非晶铀矿								
12	0.4	0.8	0.1	未发现	未发现	0.15 痕	未发现	未发现
13	0.4	0.4	0.05	0.05	”	0.15	”	”
14	0.4	0.3	0.05	0.05	0.05	0.1	0.05	0.05
15	1.5	0.6	0.1	0.05	0.1	0.1	0.05	0.15
16	1.5	0.3	0.07	0.07	0.1	0.1	0.15	0.1
17	0.9	0.3	0.1	0.1	0.3	0.3	0.05	0.1
18	1.0	0.7	0.07	0.05	0.15	0.15	0.05	0.1
19	1.0	0.3	0.1	未发现	0.15	0.15	0.07	未发现
20	1.0	0.1	0.1	”	未发现	0.15	0.1	”
21	0.7	0.4	0.2	0.2	0.15	0.15	0.15	0.1
22	1.0	0.3	0.1	未发现	0.1	0.1	0.07	0.1

注: 在所有的样品中均未发现钍。

非晶鈾矿(采样清洁的)的伦琴結構的研究表明,沒有发现可以說明其中有矿物杂质的外加譜綫。晶格的常数为 $5.44 - 5.45 \text{ \AA}$ 。沒有确定鈾混入物对晶格参数的影响。含鈾非晶鈾矿煅烧(达 1000°C)产物的伦琴图表与不含鈾的非晶鈾矿煅烧产物完全一样。煅烧到 500°C 立方晶格的参数减少到 5.39 \AA ; 然后就出现了 U_3O_8 的六方晶相, 并且在伦琴图表上未发现属于鈾产物的外加譜綫。

在 5% 的 HNO_3 中, 加热溶解非晶鈾矿时, 钇(和其他稀土元素)和部分鈾与鈾在一起完全变成溶液, 而絕大部分的鈾, 則富集在未溶解的滤渣中。用浓 HNO_3 溶解非晶鈾矿的方法所确定的易活动鈾的数量約占总数的 40%。未溶解残渣的顏色为白色。显微镜下(油浸法)呈各向同性質体(折射率不超过 1.57), 其中发现有个别小的高双折射的晶体。根据公式它們很象鈾石, 但其特点是折射率較低(1.60)。煅烧后, 粉末在 1100°C 时, 折射率为 1.57—1.60。在加热曲綫上当 1000°C 时見有一吸热效应。

在不溶解残渣的粉末图表上, 見有微弱而分散的与鈾石譜綫相同(表 3)的綫条, 这些綫条在 900°C 煅烧后变得很明显。

表 3 鈾石(标准源)和煅烧前不溶解残渣的譜綫强度和面間距离

鈾 石 (标 准 源)						不 溶 解 残 渣					
譜綫编号	<i>I</i>	<i>d/n</i>	譜綫编号	<i>I</i>	<i>d/n</i>	譜綫编号	<i>I</i>	<i>d/n</i>	譜綫编号	<i>I</i>	<i>d/n</i>
1	2	5.20	11	8	2.06	21	2	1.288	1	弱, 寬	3.31
2	4	4.44	12	3	1.900	22	2	1.256	2	弱	2.71
3	3	3.65	13	3	1.881	23	1	1.248	3	中, 寬	2.51
4	10	3.30	14	2	1.819	24	7	1.187	4	同	1.913
5	1	3.17	15	4	1.750	25	2	1.164	5	强	1.682
6	1	2.76	16	10	1.706	26	8	1.107	6	弱, 寬	1.635
7	1	2.70	17	8	1.641	27	8	1.099	7	极弱	1.563
8	1	2.56	18	7	1.476	28	8	1.057	8	中	1.536
9	8	2.50	19	8	1.380	29	8	1.050	9	弱	1.448
10	2	2.32	20	2	1.360	30	8	1.035	10	弱, 极寬	1.353

因此, 根据所进行的研究可以认为, 在所研究的矿石中, 存在有非晶鈾矿与鈾矿物稠密共生的罕見情况(在很大的程度上, 与鈾石共生)。鈾石所需 SiO_2 数量的計算表明, 在取自白云石的非晶鈾矿中(考虑到鈾的未溶解部分占非晶鈾矿中鈾总含量的 60%) 几乎所有的硅酸, (1.52% 中的 1.46%) 可能均与鈾石有关, 而在取自頁岩的非晶鈾矿中 SiO_2 則处于过剩状态。后者說明具有其他的矿物杂质。

稀土元素和易活动鈾的矿物形成尚未确定。根据它們在非晶鈾矿溶解时, 很容易变为溶液这一点, 可推断稀土元素是呈类质同象混入物存在的。

丁 菊 譯
海 洋 校

BeO-Sm₂O₃ 与 BeO-Gd₂O₃ 系的研究

特列斯維亞特斯基 (С. Г. Тресвятский), 庫沙科夫斯基 (В. И. Кушаковский),

別列萬采夫 (В. С. Белеванцев).

为了研究 BeO-Sm₂O₃ 与 BeO-Gd₂O₃ 系, 采用了主要组分含量大于 99.5—99.9% 的氧化物。氧化鈮和氧化釷中的主要杂质是其它稀土元素, 而氧化鋁中的主要杂质则是鈣、鋁、鎂和其他一些含量为 0.001—0.1% 的元素。

BeO-Sm₂O₃ 与 BeO-Gd₂O₃ 系的液相线和固相线温度的测定, 是采用高温热分析法, 使用鎢-鉬热电偶在鉬坩鍋內和氬气气氛中进行的^[1]。这种热电偶的刻度曲线示于图 1。BeO-Sm₂O₃ 系中一些杂质的固相线温度, 采用热分析法并使用鉬-鉬热电偶附带的进行了测定。

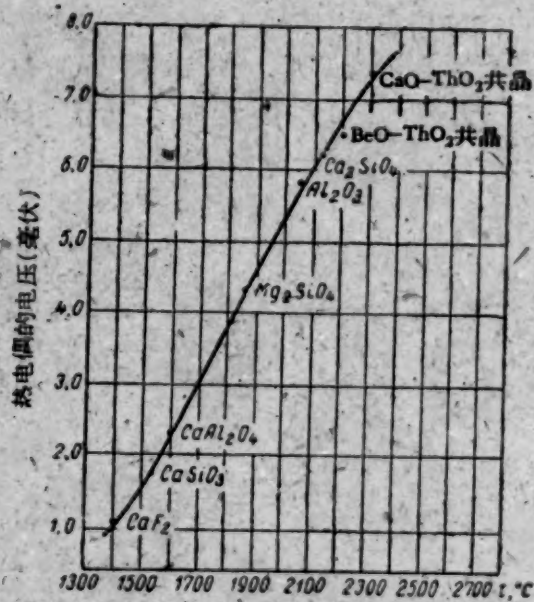


图 1 鎢鉬热电偶温度刻度曲线

用緩慢重結晶合金的化学分析法来测定共晶的组分, 重結晶合金的结构相当于純的共晶的结构。与含 2—3% (克分子) 过剩组分 (曾用反光显微鏡测定) 的共晶组分相比, 亚共晶与超共晶合金也进行了化学分析。

上述的合金以及一些其它的合金化学分析的结果证实: 合金的组分实际上与配料组份没有区别, 因此就可以按配料的组份来建立相图。

根据融合試样的显微结构, 在亚共晶合金中最先产生結晶的是氧化鋁, 而在超共晶合金中则是氧化鈮或者氧化釷。氧化鋁的晶格参数为 $a = 2.693 \text{ KX}$; $c = 4.372 \text{ KX}$; $c/a = 1.623$ 。在它与稀土氧化物的混合物中, 经过不同的热处理之后, 实际上它的晶格参数与表值没有什么不同, 即 $a = 2.693 \text{ KX}$; $c = 4.37 \text{ KX}$; $c/a = 1.625$ ^[2], 这表明在氧化鋁中不存在固溶体。

系中的共晶成分为 35% 克分子的氧化鈮或氧化釷与 65% 克分子的氧化鋁。

由于 X 光的譜线不清晰, 以及氧化鈮和氧化釷的晶格太复杂, 因此富稀土氧化物試样的相组成的 X 光的测定没有成功。用反光显微鏡研究指出, 含量达 0.5% 克分子或較多的氧化鋁試样, 在 1300—1500°C 淬火处理后, 出現两个相。这表明, 在 BeO-Sm₂O₃ 与 BeO-Gd₂O₃ 系中, 在

1300—1500°C 溫度區間內, 稀土氧化物內不存在大的固溶體範圍。

在所述的試驗條件下, 用 X 光觀察系統中新化合物的形成沒有成功。

根據研究, 在 1300—2500°C 的溫度區間內, 所建立的 $\text{BeO}-\text{Sm}_2\text{O}_3$ 與 $\text{BeO}-\text{Gd}_2\text{O}_3$ 系的相圖, 表示在圖 2 與 3 中。 $\text{BeO}-\text{Sm}_2\text{O}_3$ 與 $\text{BeO}-\text{Gd}_2\text{O}_3$ 系的共晶熔點與 $\text{BeO}-\text{La}_2\text{O}_3$ 系一樣的低^[3]。

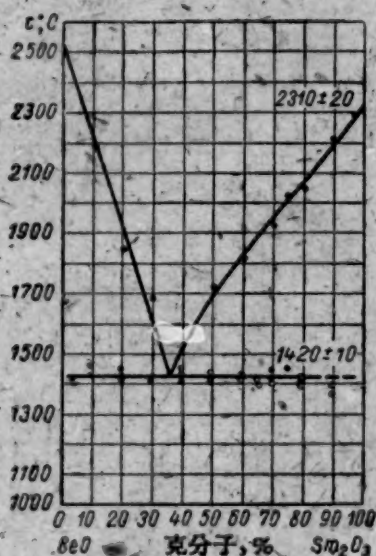


圖 2 $\text{BeO}-\text{Sm}_2\text{O}_3$ 系在 1300—2500°C 溫度間隔內的相圖。

用熱分析法微熱電偶測定溫度:

●——為鉬-鉬熱電偶測定的溫度。

○——為鉬-鎳熱電偶測定的溫度。

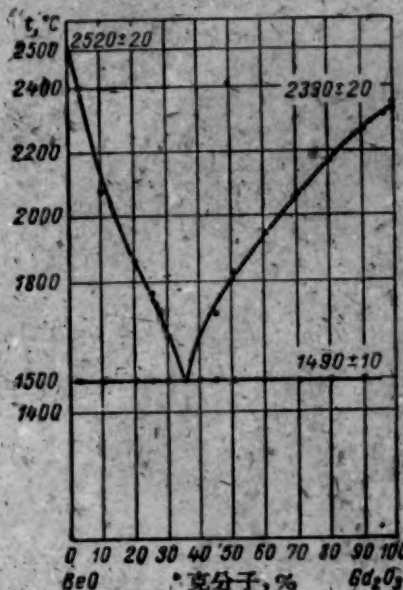


圖 3 $\text{BeO}-\text{Gd}_2\text{O}_3$ 系在 1300—2500°C 溫度間隔內的相圖。

參 考 文 獻

- [1] П. П. Будников, С. Г. Тресвятский: *Огнеупоры*. № 4, 167 (1955).
- [2] Б. Ф. Ормонт: *Структуры неорганических веществ*. М., Гостехиздат, 1950.
- [3] H. von Wartenberg, H. Reusch, E. Saran, *Z. anorgan. und allgem. Chem.*, **230**, H. 3, 257 (1937).

在停止核試驗后的一年過程中放射性 沉澱物的系統測量結果

山特哥里潔爾 (B. Сантгольцер)¹⁾

發表較早的報導²⁾中曾指出, 停止核試驗后的半年過程中, 放射性沉澱物的數量實際上並未減少。每天沉澱物的平均數量為 1.8 毫居里/平方公里。放射性隨時間的衰減公式為 $A = at^{-n}$, 式中 a 為常數。時間 t 應該從相應的核試驗日期算起。因為停止核試驗的時間已經過去一年多了, 所以在近似確定指數 n 值的情況下, 試驗日期是否準確, 並沒有重要意義。1959 年 6 月最新試樣表明, 如果把 1958 年夏天或秋天的任何一天算作試驗日, 則 n 的極限值為 1.4 和 1.8。

1) 捷克斯洛伐克, 哥拉捷茨, 克拉洛夫 (Градец, Кралов) 卡爾洛大學醫學系物理教研室。

2) 山特哥里潔爾, 原子能雜誌 5 卷 3 期。

已确定的平均值 n 等于 1.64, 直至目前这个值仍然有效。把 4—36 个月时期内的放射性沉积物作偶然组合时, 也得到同样相近的数值 n 。停止核试验后所收集起来的试样中最早的是在 17 个月以前得到的。收集的方法在以前的报导中已有所叙述(见脚注 2)。

最近几个月, 放射性沉积物的收集不仅在一天到三天内进行, 而且同时又在整个月内进行(在面积约为 0.06 平方米的不大的水槽内)。

停止试验后的个别月份内得到了下列放射性沉积物平均数(毫居里/平方公里)(以日计)

1958 年	11 月.....0.3	12 月.....3.4
1959 年	1 月.....2.0	6 月.....1.4
	2 月.....2.7	7 月.....0.6
	3 月.....1.0	8 月.....0.2
	4 月.....1.5	9 月.....0.05
	5 月.....1.3	10 月.....0.07

试验停止后, 仅经过两个月到四个月的时间, 就观察到沉积物的最大放射性。1959 年 10 月甚至大气沉积物也象 1959 年春天一样, 没有很大的放射性。1959 年 4 月 6 日所收集的雨天最大放射性为 10.1×10^{-9} 居里/升。经过二个月的干燥期之后, 于 1959 年 10 月底在沉积物中观察到的放射性只有 $0.03-0.40 \times 10^{-9}$ 居里/升, 恰好和预料的相反。

相隔半年的总放射性数值证明, 沉积物的放射性显著下降: 1959 年 4 月 30 日前总放射性数值为 121 毫居里/平方公里; 而 1959 年 10 月 31 日前总放射性数值只有 54 毫居里/平方公里。在停止核试验后的整个一年中, 总放射性为 104 毫居里/平方公里。

因此, 在停止核试验后的一年内, 放射性沉积物的系统测量证明, 最近沉积物的数量显著地减少, 并稳定在每月 1 毫居里左右的数值上。在停止核试验后的头几个月中, 观察到的值要大两个数量级以上。

地下巷道空气中铅和铋放射性同位素含量的定量测定

巴拉诺夫 (В. И. Баранов), 哥尔布什娜 (Л. В. Горбушина)

在矿山企业中工作时, 最大的放射性危险是空气中存在的氡及其短寿命衰变产物: $\text{RaA}(\text{Po}^{218})$, $\text{RaB}(\text{Pb}^{214})$, $\text{RaC}(\text{Bi}^{214}) + \text{RaC}'(\text{Po}^{214})$ (它的短寿命产物)。氡的衰变产物浓度, 照例, 是小于其平衡浓度, 因此为了剂量估计其含量就必须进行专门测定。

然而利用经典的射气方法就可以简单而又很准确地测定氡, 在实际中用来单独测定氡的短寿命衰变产物的那些方法, 到目前为止尚不能认为是相当可靠的。

在文献 [3, 4] 中曾提出过测定短寿命射气衰变产物的辐射测量法, 1925 年在文献 [5], 以及在文献 [2, 6] 中对此法(用于大气的情况)进行了研究。这种方法实际上是一种间接法, 在目前尚不能认为是足够可靠的。因此建议采用我们所用过的单独测定铅(RaB 和 RaD)和铋(RaC 和 RaE)同位素(收集在 БФ 过滤器上)的放射化学方法作为验证性的检验方法。

在体积速度能保证气溶胶足以完全沉淀的情况下采用普通方法^[1, 7]收集带有 RaA , RaB 和 RaC 的气溶胶。当空气透过过滤器之后, 过滤器立即受到化学处理, 以便使沉淀在它上面的铅和铋的同位素分离。在空气短时间的透过过滤器的情况下, 可以略去长寿命衰变产物 (RaE 和 RaD) 的量。

在相当数量的空气透过过滤器之后,过滤器就发生自燃。按照文献[8]中叙述的方法对试样繼續进行化学处理:即借助于双硫棕分离加入有同位素载体的鉛和鉍。将具有鉍的同位素的双硫棕和具有鉛的同位素的剩余溶液逐漸地汇集于器皿中并进行蒸发。将过滤器完全处理到获得具有鉍的同位素的靶需要 40 分钟,到获得具有鉛的同位素的靶約为 1 小时。

在装有钟罩形 β 计数管的 B 型装置上来测量靶。为了定量计算,利用与试样一样貼在同一靶上的平衡标准 RaD-RaE 来校正装置。

由于氢的短寿命衰变产物的半衰期短 ($T_{RaB} = 26.8$ 分, $T_{RaC} = 19.7$ 分),在测量中只能得到这些元素的衰变曲线的最終部分。根据这个部分就可以计算出在空气透过过滤器終止的时刻沉淀在过滤器上的 RaB 和 RaC 的原子数目。用平衡溶液 RaD (RaD 和 RaE 及針处于平衡)对分析这样小量的鉛和鉍的同位素,事先作过实验。

在图 1 上列出了具有 RaD 和 RaE 的靶的 β 放射性随时间的变化曲线。因为 RaD 的 β 粒子的能量很小 ($E = 0.0167$ 兆电子伏),所以根据 RaE 的 β 放射性随时间的增长就可确定 RaD (曲线 1', 2', 3', 4')。根据曲线 1—4 计算,放射性同位素的半衰期接近 5 天,因此这五天也就是 RaE 的半衰期。

在图 2 上列出了处理过滤器以后 (将近 400 公升的空气透过了过滤器) 所得到的两个靶 (RaB 和 RaC) 的放射性随时间的曲线变化图。根据半衰期推测,能相当好的将 RaB 和 RaC 分离,因此根据所得到的曲线就可以计算出沉淀在过滤器上和含于空气内的 RaB 和 RaC 的原子数目。

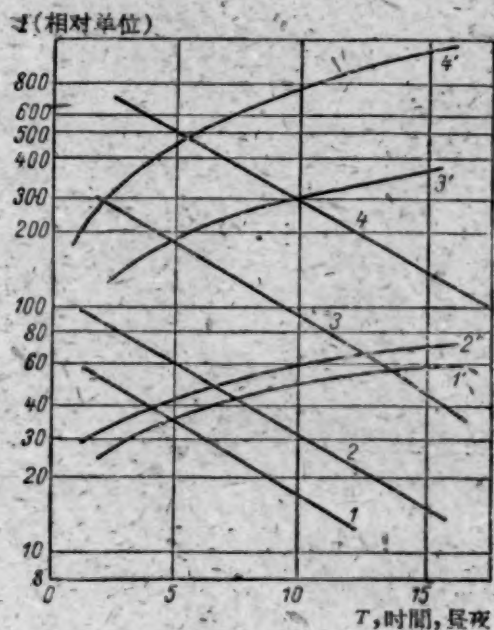


图 1 带有 RaD 和 RaE 的靶的 β 放射性随时间的曲线变化图

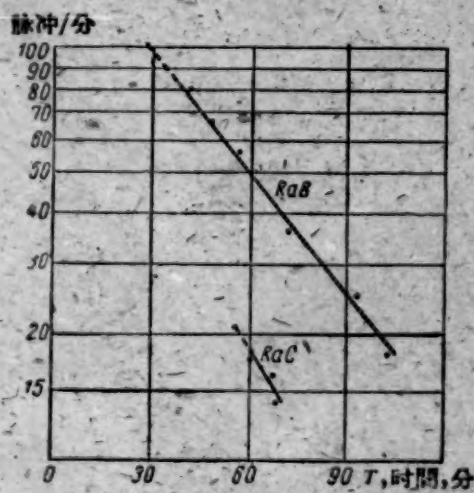


图 2 具有 RaB 和 RaC 的靶的放射性随时间的曲线变化图

参 考 文 献

- [1] E. Tsivoglou, H. Ayer, D. Holaday: *Nucleonics*, 11, No. 9, 40 (1953).
- [2] E. С. Щепотьева: *Тр. Радиового ин-та*, III, 64 (1937).
- [3] W. Swann: *Terr. Magn.*, 20, 13 (1915).
- [4] S. Kinoshita, S. Nishikawa, S. Ono: *Philos. Mag.*, 22, 821 (1911).
- [5] В. И. Баранов: *Тр. Ин-та физики и кристаллографии*, вып. IV, 3 (1925).
- [6] Е. Г. Грачева: *Тр. Радиового ин-та*, IV, 206, 219 (1938).
- [7] И. И. Гусаров, В. К. Ляпидевский: *Гигиена и санитария*, № 10, 10 (1958).
- [8] А. И. Гусев: *Аналитическая химия висмута*. М., Изд-во АН СССР, 1953, стр. 133.

科技新聞

处理和埋藏放射性废物的摩納哥国际會議总结

使用原子能时总会产生放射性废物,近十年来,仅由于使用原子核动力装置,其数量每年就达几十亿居里。对这些废物如果不采取除害处理和可靠地埋藏措施,这是很危险的。由于缺乏适当的协议,在某种情况下又无必要的责任制度,结果,一些国家不经过预先除害处理就排除了放射性废物。所有这一切都引起了人们正当的忧虑,并指出了在这方面交换经验和知识的必要性。

从1959年11月16日至21日,在摩納哥海洋学研究所召开了由国际原子能事业局(МАГАТЭ)和联合国教育科学及文化组织(ЮНЕСКО)组织的放射性废物处理的国际会议。来自32个国家和几个国际组织的300多位学者出席了会议,其中有苏联科学院院士斯彼琴率领的苏联代表团向会议提出了80篇报告和报导,12次全体会会议听取了其中的70篇。

在会议上曾研究了放射性废物的性质、处理和运输的问题,近代排除方法和与排除放射性废物有关的政治法律问题,将废物排入海中(这个问题)的生物学的、物理学的和化学的方面,将放射性废物埋藏在土壤中与地质岩层深处的問題。

在会议开幕式上国际原子能事业局局长考烏尔(Коул)和联合国教育、科学及文化组织(ЮНЕСКО)总干事維洛涅茨(Веронезе)提出了必须确定排放量标准和为此目的必须建立海洋的国际监督组织的问题,认为将放射性废物排入海洋是允许的。

放射性废物的性质

卜留斯(Брюс)在讨论这个问题的会议上作了题为“放射性废物的起源与性质”的报告。在报告中重点放在大体积的中等和低等放射性强度的废物上。例如,在1944—1948年期间仅在汉福特就排放了1350亿升强度为 10^{-4} — 10^{-8} 居里/升的废溶液。预计到1970年将产生30亿居里废物(含于27兆升溶液中),而到2000年时达600亿居里(含于11亿升溶液中)。

在美国现行的核燃料加工方法中,蒸发后工艺废液的体积是每一吨照射铀的1—5立方米,而且废

液体积的80%以上是溶液状态,它是当释热元件的外壳溶解时得到的。在这个意义上说,取下外壳的机械方法,由于能显著的减少释热元件废物的体积,有很大的前途,尽管在美国现在还没有采用。

由卜留斯的报告和其他的报导可见,美国的萃取方法正在不断地改进,这种改进是向寻找新的萃取剂和新的工艺形式的方向发展着。但是,得到废物的特性没有原则上的改变。

值得注意的还有这样一种情况,美国正在大力研究化学处理释热元件的新方法,例如在 600°C 下的氯化,氯化氢处理和氟化等等,这些方法能大大地减少废物的体积。

罗德热尔斯(Роджерс)(美国)指出,可以将低浓度的废物排入河内,下水系统和地内,而固体废物可以包在密闭的混凝土容器内投入海中。开尼(Кенни)(英国)认为,对于有机的和生物废物(动物尸体,垃圾等)可以不经过特殊净化焚烧后与气体同时排入大气中。苏联代表团指出,为了防止大气被沾污,有必要将这一类气体用净化的方法予以处理。

杰克逊(Диксон)(英国)在研究放射性废物的排除时,根据美国原子核动力发展计划而发表意见说,不同种类的废物不可避免地要排入海中,将小强度的废物可倒入河中。

从所听的报告中可以得出结论,无论在英国,或者在美国,均将液体放射性废物分为三类:1)高强度废物——每升的浓度有几十个居里或更高(这些溶液保存在特制容器内);2)中等强度的废物——每升浓度有几个毫居里或一居里的十分之几;这些废物一般经过化学处理并将浓缩物埋藏起来,在某些国家里(例如美国)将废物抛入海中;3)低强度废物,其中放射性同位素的含量超过现行饮水标准几个数量级;这些废物可以用水稀释到医学标准并放入露天蓄水池中。

放射性废物的处理和运输

在舒里特(Шульт)(美国)的报告中指出,反应堆的新结构能将大部分放射性抛入空气中。在研究了与此有关的问题以后,报告人得出结论说,废物排

入大气中应加以限制。斯瑪尔(Смалл)和斯托列別(Сторебе)(挪威)也得出同样一个結論。他們指出,平流层的空气大約在两年以內变化一次。因此,如象有时候所假想的那样,将放射性废物放入高空,从废物排除的安全观点看来是不够好的。报告中也敘述了记录原子装置周围大气中放射性的自动记录站的装置。

西里維尔曼(Сильвермен)(美国)曾研究过原子核过程中空气和气体淨化的經濟价值。在哈佛大学曾比較过气态废物的不同淨化法,其中包括从灰尘中清除的方法。当过滤材料用的玻璃纖維它在使用以后就熔化了。淨化 Kr^{85} 时,可将它在低温时吸附于活性炭中或者脂肪酸中。淨化气体的价值和建造一座高烟囱而将之用大气稀释的价值差別不大。

在討論中,英国代表声称,在英国所有的原子装置都有气体过滤器。

在有关液体废物处理方面听取了維特列(Верле)(比利时)的报告,他說,为了固定放射性阳离子,用褐煤作离子交換材料。研究是在实验室条件下进行的。对于包含微量成分 Sr^{90} 和 Cs^{137} 以及大量成分鈣、鈉和氫的离子的系統,測量了其平衡常数。关于吸附的机制問題尚未研究,暂时还不清楚褐煤中的那一部分是吸附剂。

关于为什么不用可使淨化程度提高两三个数量級的合成离子交換树脂問題,报告人只指出了經濟价值的巨大意义。

千古里(Генгуль)(印度)的报告研究了固体废物中溫度的分布。根据計算,当 Sr^{90} 强度为1居里/克时,在半径为20厘米的圓心或直径为36厘米的圓柱中心內,最大溫度是 250°C ,而在表面上則是 175°C 。当 Sr^{90} 的浓度为5居里/克时,順次为 1200° 和 800°C ,也就是在80公斤材料中容許有 400×10^{13} 居里 Sr^{90} 。作者打算对分裂产物的混合物也繼續作出同样的計算。

謝尔(Серр)(法国,薩克列)的报告研究了固体废物的处理問題。为了更密致地埋藏,可以采用預先将这些废物分裂和压实的方法。磨碎后的产物可放在混凝土块內,混凝土块做成壁厚約16厘米直径和高度为1.3米的圓柱形,产物放入后并灌以水泥。混凝土的成分(HTS 水泥50公斤,砂子76公斤,Окси́д水泥25公斤,鋁粉0.005公斤,水30升)要可靠的固定洗滌碎片。在将水泥块沉于水中保存一年的期間內,沒有发现水的放射性有所增高。

在保瑪洛尔(Помаролл)(薩克列)的两篇报告里研究了将废物埋藏于土壤中的不同情况,以及在必

須通过本国或其他国家运输废物的情况下,可能采取的各种决定。

报告人說,除了将废物保存于特殊的地下貯存处以外,将低强度的废物放在容器內,然后放在填满泥土的壕沟內是相当可靠的。为了埋藏高强度废物起見,制作了水泥管,管內放入容器。

在會議上提出了有关处理和排除废物現代方法的报告共11篇。

在保瓦尔(Бовар)和坎吉里昂(Кандильон)(法国)的报告中曾指出,在薩克列,哥列諾卜尔(Грено-бл),馬庫尔(Маркул)等地原子核装置的周围,被放射性同位素沾污的区域达到最大限度。在某些地方(例如,在希那(Шинол)),在1958年土壤的放射性达到 4×10^{-5} 居里/米³,其中 $Sr^{90} + Y^{90}$ 的沾污是 4×10^{-7} 居里/米³。

在瓦尔木謝尔(Вормсер)(法国)的报告里,敘述了在薩克列用以淨化低强度废物的較小的装置。放射性濃縮成磷酸盐、氫氧化物和碳酸盐类残渣以后埋藏于容器內和壕沟內。

在摩桑(Моусон)和拉謝尔(Расселл)(加拿大)的报导中描述了各种埋藏放射性废物的方法。值得注意的一个方法,是将中等强度的废物浇灌成水泥放在鋼桶內,以后埋藏于深的矿井里。用这种方法保存几千个居里的废物,在周圍环境內仅发现有放射性的痕迹。

曾經試将不同状态的废物埋藏在坑內,在那里,液体废物放在聚乙烯容器內,而固体废物放在沒有外壳的、用砂子和瀝青一层一层隔开的坑內。在埋藏高强度的废物的情况下,在瀝青內发现有裂缝,这就迫使我們在使用这种埋藏方法时要提高警惕。

拉尔謝(Ларсен)(丹麦)指出,为了不超过現行标准(距处理点10米处不超过最大容許标准的十分之一),甚至于在水流动緩慢的峡湾中,也不容許将弱放射性溶液未經淨化就排走。

根据別厄斯(Бернс)的报导,在哈威尔(Хару-элл)甚至连所有低能級的废物都进行了綜合处理。在排放之前,經過仔細地检查,因为在它們排入的泰晤士河是伦敦主要的飲水水源。

为了淨化低能級的废物,加入苛性鈉至 $\text{pH}=9.5$,并同时加入磷酸鈉,形成的磷酸鈣沉淀物(由于在原始溶液中有足够数量的鈣)。放在密閉的槽內,以后将它投入海中,而傾析液經過检查以后倒走。

为了处理中等强度的废物,建造有生产力达4米³/小时的工厂,在这里用 Ca-Fe-磷酸盐 沉淀(当 $\text{pH}=11.5$ 时)的方法进行淨化。該方法能分离出

99%的 α 和89%的 β 辐射体。为了排除钆,将溶液酸化到 $\text{pH}=3$,沉淀出硫酸钆,从而能使99.8%的 α 和91%的 β 放射性除掉。在剩余物中约含有0.3—0.5%的原有 β 放射性。最后净化用离子交换法进行。在哈威尔也在进行用压制和熔化的方法减少固体废物体积的工作。

在美国,净化放射性废物的工作大致上和英国与法国向同一个方向发展。弱强度的废物弃于河、海和土壤中,而在美国的报告中没有谈到处理废物的问题。

在斯捷文斯(Стивенс)(美国)的报告里,讨论了处理高强度废物的问题。在报告中着重指出,现在将高强度液体废物保存在大罐中的方法是不方便的,因为,在第一年就没有使温度保持在 65°C 以下,尽管它有良好的冷却系统。其腐蚀程度是0.002—0.005毫米/年。

所进行的研究证明了以固体形式保存废物的优点。因为,这时它只占很小的体积,而且碎片在其中移动的较小,这就使贮存室省钱且简单,这也就补偿了废物处理的费用。

为了将含有硝酸钆的溶液转变成固态,建议蒸发和煅烧在沸腾层内于 $350-550^{\circ}\text{C}$ 的条件下形成的氧化物。在报告中叙述了生产力可达200毫升/分的正在运转的模型装置,和在艾达荷正在建造的装置(生产力是5米³/昼夜)。

此外,详细地讨论了保存高强度固体产物的问题。在 1000°C 以下时,没观察到放射性同位素有严重的损失,但是在 1200°C 时,就已经约有100%的 Cs^{137} 被排掉了。作者得出结论说,为了更可靠地保存(不使贮存室因昂贵的冷却系统而变得复杂化),必须进一步处理煅烧材料,其中有玻璃化材料。

在其他学者的报告里[例如,威尔逊(澳大利亚),山本(日本),洛得热尔(美国)]没有叙述废物处理和其他新的问题。

吉玛可夫(Зимаков)(苏联)研究放射性废物的玻璃化产物的成分和性状的报告引起了听众很大的兴趣。

曾经在两次会议上讨论了将放射性废物排到土壤内和深的岩层内的问题。

匹尔斯(Пирс)和林杰洛特(Линдерот)等(美国)关于汉福特工厂将液体放射性废物排放到土壤内的报告引起了听众很大的注意。到1959年中,曾经排放到这里的天然低地(“沼地”)内有1390亿升低强度废物(冷却设备的水,非工艺废物等);其总强度为2500居里,向特殊容器内倒入了106兆升放

射性废物,他们都是在经过不同的处理方法以后得到的强盐化产物,其总强度为647000居里。最后,将149亿升含有1.9兆居里的分裂产物废物倒入在地下建筑的井框内,废物逐渐从井框内渗入土壤。检查井可以观测放射性同位素在土壤内的迁移。现在,发现放射性有很大的迁移。虽然地下水位很低(150—200米),分裂元素已经达到了这一水位且随水流溢散。例如,起初在一个井框下面沾染的面积是370米²,而现在已达7400米²。地下水样表明,沾染扩散到距排放地点五公里的地方。在水中 β 辐射体的含量达 $1.5 \times 10^{-7} - 1 \times 10^{-4}$ 毫居里/升,有时大大地超过这一数值。钆是主要的迁移元素,但也往往发现有显著数量的铯存在。报告人指出,土壤俘获放射性同位素主要是由于离子交换反应而产生。但是,在废物中如含有磷酸根离子,那末,它和土壤的碳酸钙便形成人造磷灰石,从而可以俘获放射性铯。当土壤中有氟离子和碳酸钙时便可形成萤石,这便增加了捕获稀土族元素、铯、钍和钍的作用。根据这个报告可以做出这样的结论:甚至于像在汉福特那样良好的水文地质条件下也不允许将液体放射性废物直接排入土壤内和地下。

巴开尔(Паркер)(美国)报告了关于正在继续进行的寻找将液体放射性废物保存在岩盐沉淀物内的工作(关于这一问题,在第二届和平利用原子能国际会议上已有过报导)。现在,实验正在半生产条件下进行(在天然岩盐层内)。但是,用的是非放射性模拟溶液。

汉斯杰得(Хонсел)等人(美国)在“放射性废物在汉福特天然水中的运动”一文中曾研究了哥伦比亚河被放射性同位素沾污的有关问题。冷却汉福特工厂反应堆的水被60多种放射性同位素(主要是由于溶解性杂质被中子活化而产生的)所污染,冷却水在1—3小时内经过沉淀池,以后便排入河中。报告人指出,电离辐射对人(住在汉福特工厂附近,并使用卡鲁河的水)作用的平均值,小于最大容许剂量的20%。考虑到发生事故以及沾污水平因事故而升高的可能性,上述数值未必可以认为是十分安全的。

贝尔比叶(Барбье)和米沙(Мишон)(法国)报告了关于被培植的土壤吸收低强度废物(由灌溉水所带入的)中的放射性同位素的计算。他们得出结论说,蔬菜被放射性同位素沾污的程度与其水的含量不成正比,而是很高。

斯彼琴(Спицын)和贝鲁可娃(Балукова)等人(苏联)报告了关于用土壤层过滤碎片元素溶液的方法吸附碎片元素的实验室和野外研究的结果。在报

告中着重指出,在土壤中吸收的放射性铯,容易被天然水中常存在的鈣所排除。因此,不能够认为铯被牢固地吸收在土壤中。进入地下水以后,放射铯便和地下水迁移。土壤的矿物质对鈉的吸收很弱。对放射性铯的吸收程度较大些。

美国学者的关于深埋藏废物的许多报告,证明科学家们对于这个问题有很大的兴趣。

涅依斯(Нейс)主要在埋藏放射性废物方面对地质研究做了详细地评论(根据在美国原子工业的任务而作的)。他认为中等强度和低强度废物的排除具有巨大的意义。这些废物排除在原子企业的周围地区,不可避免地要导致地面放射性水平的显著增高,在一个长时期内,这将引起不良的遗传恶果。

在沉淀岩石中的复向斜层盆地是最适合于这一目的的。结实的岩石可以用水力或爆破的方法使之粉碎。美国的石油工业每年要获取(千百万)立方米的盐水,在空井内倒入放射性废物,代替这些盐水。围岩的性质具有很大的意义。粘土质页岩有高的吸附本领,并能很好地保存放射性同位素。但是,它的导热性不佳,而粘土质矿物易被酸溶液分解。在这方面砂岩是较好的。石灰石就其化学性质来说是不太适合的,此外在石灰石内总有裂缝和纹存在,放射性溶液能经过这些裂缝漏掉。石膏岩用以排除固体废物是适当的,用它排除液体放射性废物还有问题。将放射性废物保存在盐类矿产地,主要是岩盐地区最有希望。

西普桑(Симпсон)(美国)在自己的报告中谈到,对于高强度废物研究了盐的矿藏和深部透水构成。对于中等强度废物的排除,可将废物包装好,在不浅处埋藏起来或是倒入土壤中。在这种情况下要研究地下水运动的情况,地下水中杂质的分散情况,离子交换过程和吸附过程。

布朗(Браун)(美国)报导了汉福特原子工厂地区的地质研究结果。在那里钻了551个钻井,研究了过滤系数,地下水运动的速度和方向。现在,关于区域地质结构的资料增添了新的在使用地震,磁测量,重差测量及其他方法时得到的数据。报告人发表意见说,在区域地质参数没有比现在知道得更精确以前,不应当推广在土壤中埋藏放射性废物的方法。

拉古(Ларун)(美国)在大会上没有宣读的报告中研究了类似的问题。作者认为,现在在汉福特和橡树岭所用的将废物埋藏于地内的方法是不能令人满意的,因为,不可能精确地证明,这些废物最后将排至何处。

卡乌福曼(Кауфман)(美国)报导了加利福尼亚

大学的实验装置在两年内,将放射性溶液排入位于28.5米深处,厚1.2米的含水层的工作结果。为了研究地下水的水力学应用示踪剂水。得到的结果表明,深埋藏废物所达到的净化系数与现代化的化学处理过程中所达到的净化系数相同。

瓦盖尔(Варер)和里赫杰尔(Рихтер)(西德)报告了西德在寻找深埋藏放射性废物地址而进行的地质和水文地质的研究结果。已经建立了一系列能将液体放射性废物倒入含有古老的地下水的实验点。

在讨论宣读过的报告的总结中指出,今后用深埋藏放射性废物的处理方法的前景是很大的。但也注意到,在长期保存的期间内,有必要完全加以限制和监督。

可以说从会议开始的第一天起,讨论的中心问题就是将放射性废物排入海中的问题。英美学者的大部分报告都直接或间接地阐明了将废物倒入海中是允许的,对人类并不会产生危害的后果。

例如,丹斯杰尔(Данстер)和威克斯(Уикс)(大不列颠)报导说,在英国每天都倒入海中和泰晤士河中 10^6 米³低放射性废物,其中含有50000居里以上的 β 放射性和85居里以上的 γ 放射性。他们证明了继续排倒的可能性,并着重指出,地点的选择主要是经济上的问题。

别厄斯(Бернс)(大不列颠)在自己的报告中说道,低强度的放射性废物可以排入泰晤士河中。

洛德热尔(Роджер)(美国)证明,在美国将高强度放射性废物放入容器中,然后将容器投入墨西哥海湾和太平洋与大西洋沿岸的海水深处。报告者着重指出,对于废物保存有必要划出监督区。

但斯杰尔(大不列颠)在对低强度液体放射性废物排入海中的现行方法与拟定的方法作出评论以后得出结论说,由于全世界的海洋的平均放射性仅有微小的升高,因此,可认为将放射性废物排入海中和河中是没有危险的。

论证有可能将废物排入海洋中的详细报告是普林特恰尔德(Притчард)(美国)提出的。在这篇报告中作者力图证明,根据现有的有关海洋地理学的知识,将大量的(每年几兆居里)液体废物,其中也有高放射性废物排入海水深处对人类并无危险。特别应当指出的是,他提出的将废物排入海滨水中只能对该国家的利益有所侵犯的这一情况。

由以上所述可以看出,将放射性废物排入海中的可能性问题辩论得异常激烈,因此,针对这个问题的不同观点曾开了三次全体会,在这些会上听

取了 17 篇报告,其中有三篇是苏联的。

高尔当(Гордон)(美国)的报告是最有兴趣的,他叙述了通过引入荧光着色物质研究沿海水涨潮和退潮的方法。放射性物质在海洋中垂直混合和水平混合的速度的数学计算为宫毛和猿桥(日本)给出。同时,他们证明,假定在 1954 年在太平洋北部放射性仅高出热楔,那末到 1955 年,已达 600 米深,但是热楔位于 75 米深处。

摩尔根(Morgan)(大不列颠)关于在排除放射性废物的地区内鱼类季节性迁移、鱼的放射性和鱼的捕捞百分数的研究报告,引起听众很大的兴趣。用 36000 个比目鱼示踪来进行这一研究。已经确定,放射性增高的比目鱼数量不多,根据这一点得出了令人安心的结论。虽然这项研究在方法上是有趣的,但对所作的结论和比目鱼食用的平均成熟指标是应当加以反对的。

沙菲尔(Шеффер)(美国)用自己的报告阐明了必须开展新的研究,规定出可以排入放射性废物的具体的海滨地区。他着重指出,广阔的公海区在这方面具有巨大的意义,在这里捕鱼没有好处,并且从这个观点上看来,这里将是生物学上的“沙漠”。沙菲尔报告说,在美国拟定了这一方面广泛研究的五年计划,这项工作的总费用为 3000 万美元。

报告的总的思想不外乎是说,放射性废物可以排入海中。但是,报告者本人[开特秋木(Кетчум),沙菲尔,其普曼(Чипман)等(美国);玛尔干,普利特卡尔得(Притчард),玛那斯(Монас)(大不列颠),瓦尔吉丘克(Валдичук)(加拿大)]也提出许多事实证明这个结论是没有根据的。

看来,最危险的元素—— Cs^{137} 和 Sr^{90} 在软体动物和鱼的组织中的浓度,比它们周围的水增加 20—30 倍,而游浮植物羣有使某些放射性同位素的浓度增加 1200 倍(和它们周围水的浓度相比)的本领。

在玛尔干同一篇报告中证明,仅从处理放射性废物邻近的地方捞起的每十条比目鱼中的第十条鱼就有放射性传染病的征兆,其中就有白血病。已知的美国研究家的资料证明,动物浮游生物的放射性增加了,这些动物是从旧金山附近废物处理区打捞起来的。

苏联代表团从第一天起就对这个问题的态度。无论是在吉开文(Зикевич),费多罗夫(Федров),摩谢夫(Моисеев)的报告中,或者是在不只一次的其他成员的发言中,苏联代表团都坚持放射性废物不允许倒入海洋中的原则。

苏联代表团用以下原则来论证这种态度:

1) 许多研究证明,在海洋中,甚至于在深的低凹处都有强烈的迁移,因而,放射性可以从任何深度处带到表面层来;

2) 鱼和游浮生物能够聚积放射性,且高出它周围的水中放射性含量的 2—3 倍;

3) 假如说人体已经能够适应的低浓度的天然放射性,对人体无害,那末,无论如何也不能说,人为的低浓度放射性同位素对人体组织的作用无遗传后果的影响;

4) 将废物弃于沿海水中不能认为是“内政”,因为放射性的迁移是以物理和生物途径来实现,涉及到邻近国家的居民;

5) 当解决放射性废物的保存问题时,不应当把经济因素放在首位来考虑。这里不论在任何时候放在首位的是人的健康问题。不要忘记,现在,人类每年要用 30 兆吨以上的水产物。

苏联代表团提出,必须处理所有液体放射性废物和分离出的浓缩产物,和将它可靠地埋藏在容器内或者作成玻璃化的形状;除去了主要放射性物质的水应在本企业内呈闭路循环使用,才是基本原则。

苏联代表团的积极发言影响了参加海洋地理学家、自由讨论的法国、挪威、印度、荷兰、意大利、保加利亚、波兰、芬兰的代表,他们在某种形式上表示忧虑放射性,特别是动物机体散布到全世界的海洋中。曾着重地指出了绝对须要在这方面开展广泛而又深透的研究。

列维尔(美国)在做讨论总结时被迫承认,为学者掌握的允许以应有的态度解决在海水中埋藏放射性废物的可能性和方法问题的资料,是极不够的。

ЮНЕСКО 的代表维托里-别列斯的声明是苏联观点的胜利,他在闭幕会议的闭幕词中说,以前的讨论迫使我们重新考虑在此以前形成的,并且把放射性废物可以排入海中的意见。他还指出,在解决这个问题时经济因素不能作为第一因素,只能在人体健康得到保障后才能考虑。

会议的这些结论可以看作是在整个会议期间苏联代表团所保卫的人道原则的正确影响的结果。

主要结论

1. 虽然在不同的国家,特别是在美国和英国进行了许多研究,但从放射性分布的观点看来,都不能认为在海水中安全埋藏废物的可能性已经得到了充分的论证。在回答这个问题以前,必须进行最广泛的海洋地理学、生物学和遗传学的研究。

2. 不同的国家处理中等的和低强度废物的方

法与方向,一般地说彼此差别不大,主要是归结为顺次沉淀氢氧化物和磷酸盐,在存在有机杂质的情况下,在过程的首部应用吸附法作补充净化和氧化剂——沉淀作业。

不能够只同意,外国有时采用的将低强度溶液倒入天然水池,使其稀释的方法。在这种情况下,闭路循环和使用循环水的原则无可争辩是较可靠和安全的。

3. 在处理了中等的和低强度废物以后,将浓缩浆液保藏在容器或水泥块内埋藏到不同形式的地下仓库内结果比较可靠。不加外壳的废物保存方法是绝对不能接受的。因为,所有的研究证明,最危险的放射性元素有极大的迁移。

4. 将中等的甚至于是高强度的废物以玻璃化的形式埋藏于地下仓库内是最有前途的方法,但是,显然当前还须要大力寻找相当完善的工艺过程。

将废物装在普遍使用的不锈钢容器内的方法,应该说是保存高强度废物的临时性措施。

5. 将废物深埋于钻井内或密闭的地质岩层内方面的研究应该说是有希望的,但是到现在为止还没有完善。

6. 选择处理核燃料的主要工艺学与下列情况有关:放射性废物的体积多大,和在所采用的工艺过程中以什么形式产生。其中,用化学方法除去释热元件的包壳会显著的增加液体放射性废物的体积,未必可认为该过程是方便的。

任何复杂形式的释热元件,在机械加工以后不需要完全溶解包壳就可以使核燃料变为溶液;包壳的固体废物的体积很小,其放射性能很好的加以限制,因此埋藏它比较简单也比较可靠。

斯彼琴(Викт. Спицын)

科勒乔夫(Б. Колычев)

伊拉克苏联工业展览会和平利用原子能馆

苏联工业展览会于1960年4月在巴格达展出了三个星期。苏联部长会议第一副主席米高扬主持了展览会的开幕典礼,伊拉克总理卡塞姆也参加了开幕仪式。

原子能馆引起观众极大的兴趣,它显示出苏联在和平利用原子能方面的成就。

馆中介绍了在苏联国民经济中广泛应用原子能的各个方面。在动力部分,观众饶有兴趣地参观了世界上第一座原子能发电站,水-水反应堆和石墨-铀反应堆等真实模型。而世界上第一艘“列宁”号原子破冰船模型尤其吸引观众们的注意。同样地100亿电子伏的同步加速器模型和680兆电子伏的同步回旋加速器的模型也特别吸引观众。展出苏联在研究热核反应方面成果的那一个部分受到科学界代表们的欢迎。

馆中广泛地介绍了应用于普查放射性矿物的仪器。主要的是带有各种量程的轻便辐射仪。介绍苏联在地质、医学、生物、农业方面应用同位素的各馆获得了很大的成功。这是因为这些馆都展出了相应的仪器。专家们对这些仪器的质量曾给予很高的评价。

在防护和剂量部分展出了大批的剂量测量仪器。其中机械手最引起观众们的兴趣。

展览会在展出期间,发给观众用阿拉伯文印刷

的说明书五万份,聶密里揚諾夫(В. С. Емельянов)所写的“苏联原子能为和平事业服务”一书也发出了五万份。

展览会不仅引起巴格达人注意,而且伊拉克各地居民不管远近都赶来参观。光是第一天来展览馆参观的就有四万人左右。总共约有五十万人参观了这次展览。

伊拉克的报刊广泛地报导了展览会的工作。“人民团结报”用整个篇幅刊登了展览会原子能馆的情况。“独立报”在报导关于和平利用原子能馆的展品的结束语中写道:“伊拉克人在离开展览馆时都具有一个共同的思想,那就是:苏联人民和苏联科学家所做的一切,是为了把原子能无比的威力用于和平及建设事业,而不是用于战争和破坏”。

不少的专家和观众都留下自己对参观原子能馆的感想。例如,巴格达大学教授尤瑟夫·阿布德在意见簿上写道:“参观了苏联工业展览会之后,使我们对苏联的巨大成就不能不表示讚歎,而原子能馆更博得人们最高的评价。我们衷心地期望我们亲密的朋友——苏联——在科学、工业、经济等各方面获得更大的成就”。工人达伏依·馬赫基(Тапон Махди)写道:“原子能馆引起我们极大的兴趣,我们热烈地希望苏联人民在和平利用原子能的高尚事业中进一步地获得成就”。而另外一个朋友写下:“苏联原子



在伊拉克举办的展览会

能館是苏联科学思想胜利的有力証据。当你看到了这个国家在和平利用原子能事业上的成就之后，不禁使人对这个对人类极为重要的科学部門的工作規

模感到惊讶不已”。

巴欽柯 (A. M. Панченко)

費德羅夫 (Г. Б. Федров)

丹 麦 重 水 反 应 堆 DR-3

1960年1月在里索 (Puco) (丹麦) 一个主要用于試驗材料的研究性重水 DR-3 反应堆达到了临界状态(图 1—3)。

这个反应堆是根据丹麦原子能委员会和英国原子能管理局于 1957 年 6 月 20 日所签订的协议而建造的。这个反应堆的大部分建造工程是由丹麦公司承担的。反应堆的费用(包括燃料和重水的费用)一共是 1564000 英鎊。

DR-3 反应堆与英国哈威尔的 DIDO 及 PLUTO 反应堆大致相类似。它的功率也是 10 兆瓦。反应堆之减速剂和载热剂是重水 (10 吨)，反射层是石墨，释热组件是盒状的。释热元件是用加浓铀和鋁的合金制成的片，外包以鋁壳^[2,3]。

DR-3 反应堆的构造与英国反应堆的构造差别

不大。在反应堆建筑物的平面布置和按丹麦标准所采用的控制 DR-3 反应堆的电气设备方面有所不同。为了安装排风装置，水处理装置以及空气净化系统的设备起见，将水泵房扩大了一些。通风系统和空气调节系统与英国方案相比较也有某些改变，这是为了满足丹麦所提出的要求，同时也十分注意保持放射性物品操作室内的清洁和最好的去放射性设置。另外在拆卸和运输释热组件的系统方面也有些差别。因为在 DIDO 和 PLUTO 反应堆上利用英国制的重水抽吸泵的经验证明，这些泵运行不很满意，所以才向法国购买了重水泵。

总值为 340000 英鎊的重水，是向美国原子能委员会借来的，条件是每年支付重水成本 4% 的利息。

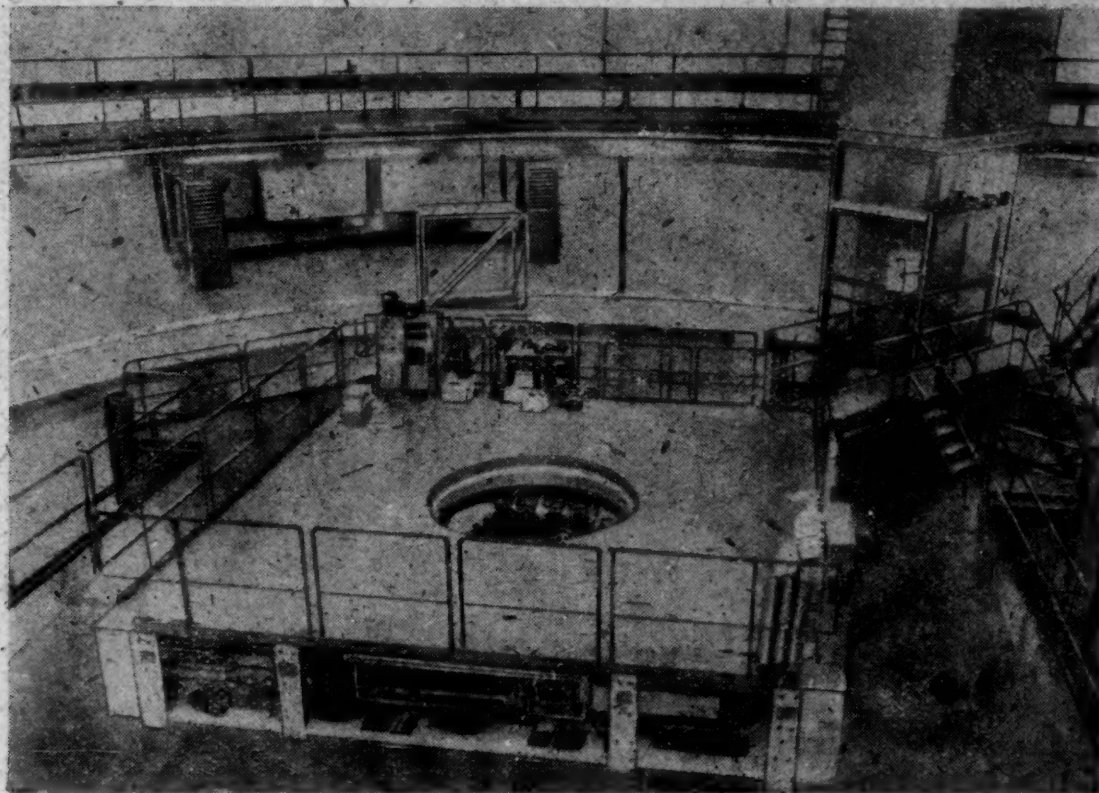


图1 反应堆大厅的全貌

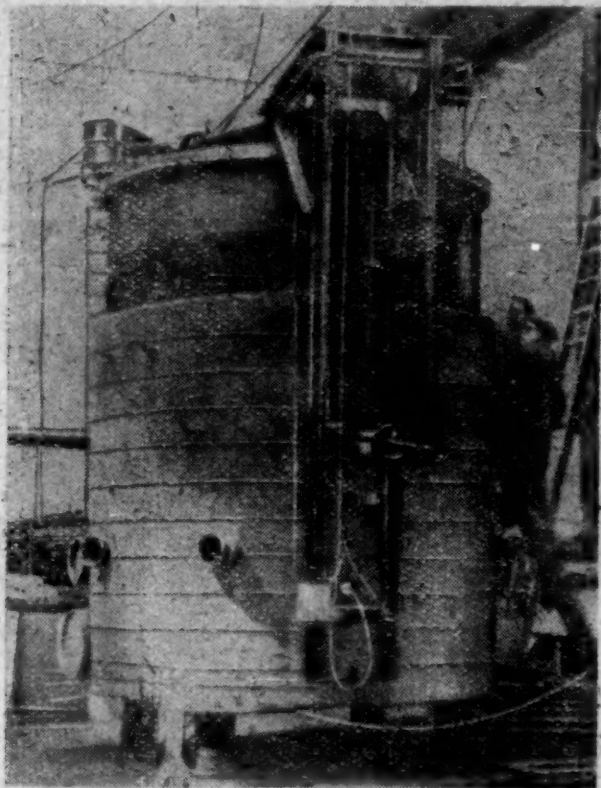


图2 DR-3反应堆槽的安装情形

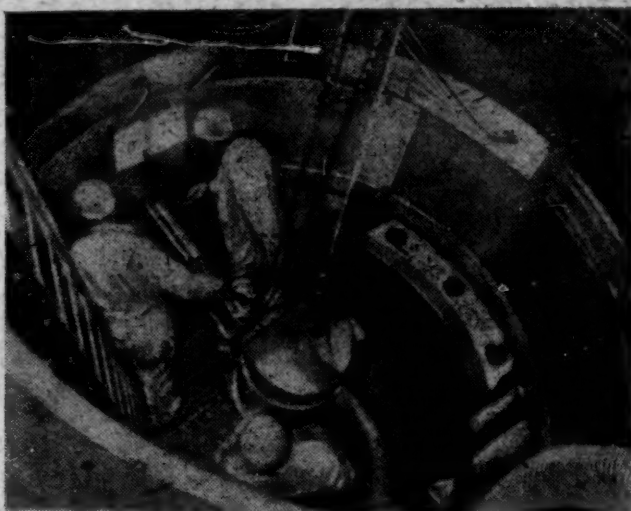


图3 反应堆槽内设备的安装情形

1960年夏末,当反应堆达到额定总功率10兆瓦后,将在堆上进行为了鑑定在英国温弗利脱希脱所建的“龙式(Дрогоп)”反应堆的一些性能而需要的一些实验^[1]。

参 考 文 献

- [1] *Nucl Power.*, 5, No. 47, 131 (1960).
- [2] Альбом ядерных реакторов. М., Атомиздат, 1959, стр. 215.
- [3] Там же, стр. 217.

論蒸汽过热的原子核反应堆

在第二屆和平利用原子能国际會議上，美国提出了关于电功率为66兆瓦的原子能发电站利用过热蒸汽的沸騰水反应堆設計的报告[1]。电站应于1962年6月投入運轉。文獻[2]主要对原子核过热区作了补充报导。Снокс-Фоллс反应堆是美国第一座利用蒸汽过热的原子核反应堆。

现代的反应堆制造工艺使人们有可能制造原子能过热器，它将比用火过热的蒸汽过热器只貴4%。如果改用高加浓鈾为低加浓鈾，原子能过热器的成本能降低二分之一。

反应堆参数的最新設計数据如下：

热功率：

沸騰区 164 兆瓦

过热区 39.7 兆瓦

全电功率 66 兆瓦

有效电功率 62 兆瓦

蒸汽压力 37.8 計示大气压

反应堆内部压力 42 計示大气压

沸騰区出口处沸騰水的温度 254°C

过热区出口处蒸汽的温度 440°C

外壳尺寸 3.5×8.4 米

活性区尺寸 1.83×1.83 米

过热区尺寸 1.83×0.46 米

燃料：

沸騰区 加浓度为 1.8% 的氧化鈾
(以鋁作包壳)

过热区 加浓度为 93% 的氧化鈾
(以不銹鋼作包壳)

燃料的裝載量：

沸騰区 117 公斤 U^{235}

过热区 34 公斤 U^{235}

沸騰区的比功率 96 瓩/升

平均热流：

沸騰区 355000 大卡/米²·小时

过热区 230000 大卡/米²·小时

最大热流：

沸騰区 1.17×10^6 大卡/米²·小时

过热区 6.45×10^5 大卡/米²·小时

反应堆内水的流量 13700 米³/小时

过热区内燃料表面最大温度 720°C

載热剂流速：

过热区入口处

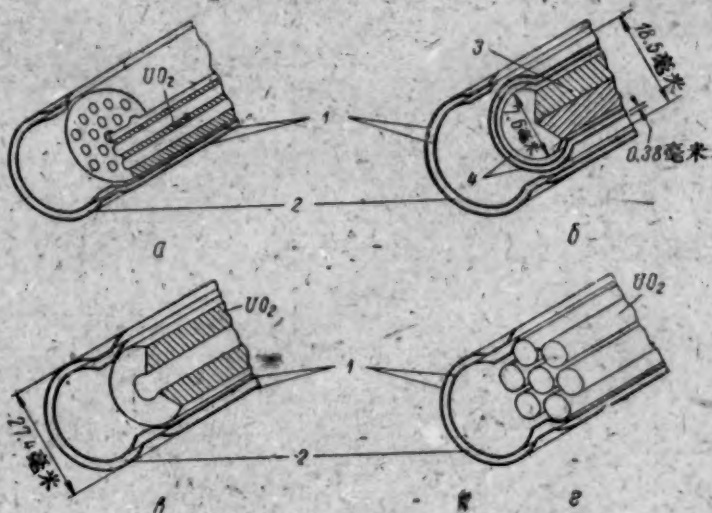
30 米/秒

过热区出口处

51 米/秒

反应堆的活性区由周围裝有普通过热管道的中央过热区組成。在普通沸騰区内于 254°C 时所产生的蒸汽通过干燥器，然后經過过热部分的释热元件，并在温度 440°C 和压力 37.8 計示大气压下流向渦輪机。

过热区的释热組件为两个含有燃料的同心管。



过热区释热元件的种类：

a——孔状元件(加浓度低)；b——管状元件(加浓度高)；c——环状元件(加浓度低)；d——七根棒的組件(加浓度高或加浓度低的)；1——不銹鋼双层壁；2——蒸汽間层；3——用硼做的燃料吸收剂；4——金属陶瓷($UO_2 +$ 不銹鋼)。

其内部裝有用燃料吸收剂做的圓柱体(見图 b) [2]。燃料吸收剂是补偿沸騰区与过热区之間随着燃料的燃耗而产生的释能不平衡性所必需的。用加浓度为 93% 的 U^{235} 的氧化物作为燃料，厚度 0.4 毫米的不銹鋼作包壳。结构相似的管状释热元件的制造并不复杂，并可以使燃料达到深度燃耗。从管状元件轉变为释热元件是有可能的，而后者使我們有可能利用較便宜的低加浓鈾燃料。

曾研究了三种用低加浓燃料作的释热元件，它們都示于图 a、c 和 d 上 [2]。但是这些元件尚需作进一步的研究。

在环形释热元件内(見图 c)，載热剂沿着管子的两边表面流动，同时流速要調节到能使表面的温度相等的程度。这种元件的优点是结构简单，但是其壁的温度很高，而且 UO_2 环形盘的制造及其用包

壳盖复的工艺学尚未得到深透的研究。

用七根棒組成的組件的制造工艺(见图 d)得到了很好的研究,但是这种組件对于載热剂流的液压阻力很大,对其传热性能还研究得很不够。释热元件(见图 a)的排热表面很大,而对于液体流的水力阻力却很小。但是这种元件的制造是很困难的。

上述各种元件用的燃料都是用不銹鋼作包壳。在鋼管的双层壁之間有蒸汽間层,此蒸汽間层称之为热壁栅。用螺旋綫作为遙控元件。

B. Б.

参 考 文 献

- [1] К. Крэхэм и др: Тр. Второй международной конференции по мирному использованию атомной энергии (Женева, 1958). Избр. докл. иностранных ученых. Т. 4—Ядерные реакторы и ядерная энергетика. М., Атомиздат, 1959, стр. 287.
- [2] *Nucleonics*, 18, No. 3, 108. (1960).

OMRE 反应堆的运行經驗

OMRE 反应堆从 1957 年 9 月起动起,截至 1959 年 8 月底为止,生产了 1400 兆瓦·天的热能,目前仍在繼續运行着^[1,2]。

1958 年的 10 到 11 月間在反应堆中安装了 OMR 反应堆的释热元件。由于流通截面被堵塞,其中一根释热元件损坏了,其它元件的表面温度也大大增加。此后决定要清洗一次迴路,装設为載热剂部分过滤用的設備,并为反应堆更换元件。在此以前,反应堆已生产了 958 兆瓦·天的热能。更换元件后,反应堆在 1959 年 6 月間就开始以全功率运行了,而在 7 月間,反应堆內又装上了 OMR 反应堆的 61 根释热元件。其中两根的结构比以前的较为简单,另

反应堆的运转說明:当反应堆以很高功率运行,温度达 370°C 时反应堆內載热剂的高温分解只占总分解的小部分。(載热剂成份是:联二苯 16%;原联三苯 46.1%;甲基联三苯 31.8%;副联三苯 6.1%)。在高沸点残余物的浓度超过 30% 时,可观察到載热剂的传热系数显著下降。載热剂的热物理性能的变化与高沸点聚合物浓度的关系示于图 1。經過多联苯的耐辐照性的研究曾得到图 2 中的一些数据。

曾确定,減速剂所吸收的能量約有 28% 来自快中子,72% 来自 γ 射綫。反应堆的运行表明,在大型的动力堆中,在释放到減速剂的能量为反应堆功率的 4% 及載热剂中高沸点聚合物的浓度在 30% 的情况下,載热剂的分解速度为 12.2 公斤/兆瓦·天(以生产的热能計)。假定反应堆的效率为 27% 和載热剂的价格約为 35.5 (美)·分/公斤,可以推算出

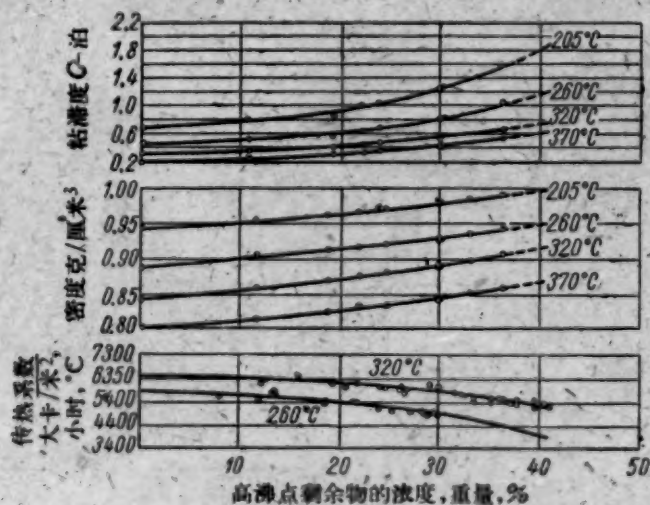


图 1 传热系数(密度和粘滞度)与高沸点残余物的温度和含量的关系(所有数据是在載热剂速度为 4.45 米/秒下得出的)。

外一根是同心圆柱筒的組合件。在作这些試驗时反应堆进口处的載热剂温度为 315°C, 元件壁的最高温度为 425°C。1959 年 8 月間曾停堆来研究工作释热元件的传热面。

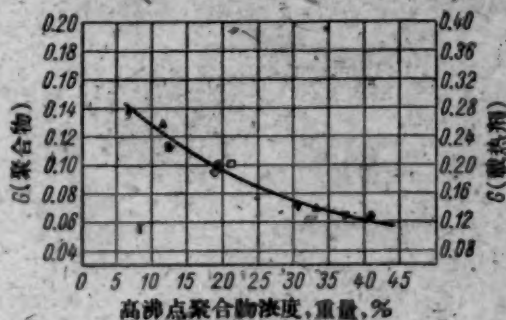


图 2 分解速度随高沸点聚合物浓度的下降曲线图

載热剂补给的价格为 0.07 (美)·分/瓩·小时(以生产电能計)^[3]。

所試驗的 OMR 反应堆的两种释热元件中^[4], 一种由加浓度为 4% 的鈾与含 3.5% 重量的鉬及含

0.5% 重量的硅合金制成, 用来研究传热。另一种由加浓度为 8% 的铀与含 3.5% 重量的钼的合金制成, 用来研究在辐照下燃料的强度。

两种元件都用铝作包壳。含 8% 加浓铀的释热元件进口处由于对载热剂流通截面的堵塞引起包壳的局部熔融, 因而使裂变产物沾污了载热剂。

堵塞有效通过截面的物质主要是管道的氧化皮和金属屑。但是在这些释热元件从反应堆取出以前, 每吨燃料已生产了 2500 兆瓦·天热能。对这些元件进行冶金方面的研究证明, 它们的情况都很良好。

在 OMRE 反应堆运行过程中, 曾详细的研究了三根释热元件的表面状态。其中两根(第一次装载)的表面最高温度为 400°C。

这些释热元件是在反应堆分别地生产了 549 和 958 兆瓦·天热能以后取出来的。并且在反应堆生产 549 兆瓦·天热能之前, 载热剂内高沸点聚合物的浓度介于 12—36% 之间(约有 50% 的时间, 反应堆是在聚合物的低浓度情况下运行的), 在反应堆生产 958 兆瓦·天热能以前介于 8—41% 之间(在此时期内, 反应堆基本上在聚合物最高浓度的情况下运行)。

第一个元件已均匀地被复盖了黑色薄膜, 这层薄膜最初很容易清除, 但以后在热室内进行研究时, 变得坚固而且很难清除。

薄膜的最大厚度为 0.01 毫米。在第二个元件上薄膜似乎不是均匀的, 十分松软, 厚度在 0.075 到 0.15 毫米之间。分析结果表明, 这种薄膜的成分主要是异丙二联苯, 铁, 少量的无机物和碳, 同时也含有很少量的高沸点聚合物。

如果这些沉积物的厚度在反应堆的运行过程中不断增加的话, 则沉积物的形成(虽然它们在此情况下并不影响传热)可能以后会成为问题。目前认为, 在释热元件表面所形成的沉积物是由于载热剂内存在杂质所致。但这种沉积物在用来研究异丙二联苯时, 在释热元件的运输过程中生成是完全可能的。

各种金属(碳素钢 1020, 不锈钢 304 和 410, 铁基合金 AISI 4130, 铝, 镍)的腐蚀研究表明, 除镍以外, 所有金属都具有良好的耐腐蚀性能。

载热剂的放射性研究表明, 载热剂的放射性主要取决于载热剂中是否存在以下元素: Mn^{56} , Mn^{54} , Fe^{59} , Co^{60} , Se^{75} , S^{35} , P^{32} 。载热剂放射性的大小是这样的: 在反应堆功率为 1 万千瓦时, 靠近 254 毫米直径管子处的辐射水平为 10 毫伦/小时。

载热剂中的杂质可以从聚合物的载热剂的净化

系统中或用过滤器加以清除。当释热元件包壳的气密性被破坏时(由于载热剂与铀的微弱的相互作用), 在载热剂中就会混入气态裂变产物。因此, 当元件包壳破坏时迴路的放射性增为 1000 居里, 但经过 48 小时后载热剂系统的放射性又恢复到原来值。仅因留下 I^{131} 和 La^{140} 而略能觉察。

在反应堆工作过程中, 所有第一迴路的设备运行都很正常, 对其维护没有什么困难。

由 OMR 反应堆所产生的电能价格在很大程度上取决于减速剂的价格和其辐射分解的速度。

暂时尚无肯定结论: 分解速度究竟仅与所吸收能量值有关呢? 还是与辐照的种类有关? 美国 and 英国的学者关于这个问题的意见是有分歧的。

英国学者在 BEPO 反应堆的回路(小迴路)及其它地方所进行的研究表明, 多联苯的分解速度与射线种类有非常密切的关系。其解释是: 一种辐射通量并不影响 G 值, 而影响 G 值的只是辐照积分剂量。在混合辐射流的照射下 G 值由 $G_{\Sigma} = \sum f_i G_i$ 推算。式中 f_i —物质靠该种射线照射所吸收的能量分数; G_i —只有在该种射线照射下物质的 G 值。

至于 G 值是有机液体仅受电子照射或是 γ 照射, 英国和美国的数据则非常接近。

根据 γ 量子的已知 G 值, 并已知在 BEPO 反应堆由 γ 量子照射有机液体所吸收的能量和由中子照射所吸收的能量之间的精确关系, 就能求出有机液体在中子照射下的 G_n 值。数据如图 3 所示^[5]。

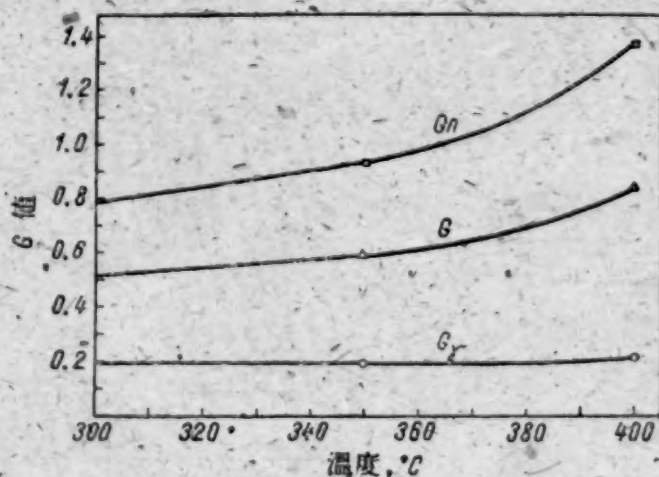


图3 Сантовакс 载热剂 R 分解的开始值 G

要精确地确定温度对有机液体在辐射作用下分解速度的影响是困难的。这因为在辐射时很难保持常温。但分解速度(例如, Сантовакс)随温度的上升(高于 400°C)而迅速增长。

1) 吸收能量为 100 电子伏时分解的分子数。

有机液体的分解速度随高沸点聚合物的浓度而显著下降。在此情况下的 G 值可非常准确地用方程 $G=G_0C_H^2$ 求得。式中 G_0 —没有生成聚合物时的有机液体之值； G_H —有机液体未分解成混合物的部分。

对未被照射的带有高沸点聚合物的有机液体混合物已发现：在高沸点聚合物浓度约为50%时觉察不到有机液体的分解。在这种情况下，高沸点聚合物的浓度 C_{HB} （用%表示）可按式求出：

$$C_{HB}=100aR/1+aR$$

式中： R —吸收能量值，用瓦/克表示；

a —与 G 值成正比的常数。

将有机液体在电子和 γ 射线($G_r=0.08$)辐射下所得的 G 值与在OMRE反应堆($G_R=0.15$)，MTR的环路($G_R=0.11$)和BEPO所得的 G 值相比较，能预料到在中子照射下的 G 值大于 γ 量子照射下的值。但是将在反应堆MTR中(由快中子慢化在有机液体中所放出的能量约占总吸收能量的12%)照射所得到的 G 值与在OMRE反应堆(由快中子慢化在有机液体中所放出的能量占总吸收能量的28%)中照射所得到的 G 值相比较，并没有证实这一点。

在应用有机液体在反应堆中进行辐照情况下所得到的 G_R 值同时，一面采用有机液体受电子和 γ 量子照射所得的 G_r 值等于0.08，并已知靠电子和 γ 量子辐照的有机液体所吸收的能量百分比时，便可求出仅在中子照射下的 G_n 值。用这种方法求出的反应堆OMRE载热剂在高沸点聚合物为30%时的 G_n 值等于0.33。BEPO反应堆在30%高沸点聚合物时 $G_n=0.5$ 。但是这些数字是值得怀疑的，因为很难确信，在有机液体受中子和 γ 射线混合照射的情况下 G_r 值是保持不变的。此外，OMRE和MTR反应堆的 G_R 值(分别为0.15和0.11)表明：辐射分解可能与慢化中子的能谱有关。

上述各种数据是指载热剂温度为315°而言的。

多联苯高温分解的速度如图4所示。

对 Сантовакс R温度从350升高到400°C在30%的高沸点聚合物浓度下 G_r 值从0.080增加到0.086。在OMRE反应堆辐照下的 G 气体值(它标



图4 多联苯的高温分解

志着三联苯在电子辐照下吸收能量100电子伏时形成的气体分子)为0.01—0.02；在BEPO反应堆辐照下的值达到0.07—0.08。

各种附加物对三联苯分解影响的研究表明：加上2—4%的苯并苊能使 G 气体和 G_R 值约降低50%。此外，还找出了九种其它芳香的阻化剂。附加5%的硫蒽稀能降低辐照分解速度20—30%。但是附加物会引起载热剂物理性能的改变，可能会影响到活化程度，所以还决定采用附加物的经济效果。

参 考 文 献

- [1] K. Campbell: Nucl. Engng, 5, No. 45, 53 (1960).
- [2] Nucl. Engng, 5, No. 45, 58 (1960).
- [3] J. Scrivins: Nucl. Engng, 5, No. 45, 61 (1960).
- [4] O. Wyatt: Nucl. Engng, 5, No. 45, 64 (1960).
- [5] Nucl. Engng, 5, No. 45, 59 (1960).

資 本 主 义 国 家 鈹 的 生 产 概 况

近年来，鈹的重要意义越来越大了。1957年前，加工鈹精矿主要是为了制备铜鈹合金。从1957年起，就开始大量地生产金属鈹。这种金属主要用在原子能工业、飞机制造工业、火箭制造工业和造船工业中^[1]。目前约有50家公司在研究鈹的性能，以便

扩大它在各个技术部门中的应用^[1]。

1957年至1959年間，外国鈹精矿的产量平均年产1万吨左右(以含10%氧化鈹的精矿计)^[2]。鈹精矿的主要生产者是美国、巴西、刚果和莫三鼻给^[3]。

美国铀精矿的产量每年共約 500 吨左右。大約有 200 家公司在开采铀,铀主要是和其它矿产,如螢石、长石和鋰輝石等同时开采的^[1,3]。

由于美国缺乏富的铀矿床,所以都采用浮选法为主,大力开展贫铀原料的选矿工作。为了精选贫铀矿石,在科罗拉多州建造了几座浮选工厂^[3,4]。国产铀精矿的价格高于进口的铀精矿的价格(国产的每短吨 529 美元,进口的每短吨 357 美元)^[5]。

美国正在进行铀精矿的加工工作,英国和法国也在进行小規模的加工。近年来,美国的精矿加工量大大增长。1956 年加工了 4400 吨精矿,1957 年为 5000 吨^[6],1958 年为 6200 吨,而 1959 年据初步估計約为 7250 吨^[3]。

由于对铀的需要日益增长,美国正在改建現有生产这种金属的工厂和兴建新的工厂。例如“铀公司”就給它的哈尔斯頓的一家工厂添置了一批生产率很高的新设备(真空热压机)^[7]。“矿产冶炼公司”正在科罗拉多州建造一座制备氢氧化铀的铀精矿加工厂^[8]。“白拉什铀公司”正在旧金山附近的海瓦尔特建造一座新的工厂。建造一座工厂估計需要 50 万左右美元^[2]。1957 年,这些公司已經建成了二座生产核子純的铀工厂。每座工厂的生产能力每年为 45 吨。这些工厂是根据与美国原子能委员会签订的合同建造的(合同規定五年內每年供給 90 吨铀,每公斤铀的价格約 100 美元)。但是在 1958 年,美国原子能委员会改变了合同的条件:供铀量減到每年 34 吨,供应期限由五年縮短为四年。实际上,1958 年美国核子純的铀产量是 21 吨。縮減了对美国原子能委员会铀的供应量后,滿足了航空工业和海軍对于这种金属的需要^[1]。此外,铀还用于其它国家內所建造的新的原子核反应堆上。例如“白拉什铀公司”已签订了一项合同,提供价值为 120 万美元的铀制品供比利时新的 BR-2 型原子核反应堆

用^[9]。

英国每年約需 100 吨左右的铀精矿^[1]。在米尔弗尔特-哈凡納的一座工厂和附属“帝国冶炼公司”的一个实验装置上已經能小規模地生产铀了。由于铀可用来制造反应堆的某些部件,以及可作为气冷堆和其它堆的释热元件的外壳之用,因而在 1959 年建造了一座年产量 7—10 吨金属铀制品的工厂,并且已經投入生产。建造一座工厂估計需要 1 百万英镑^[10]。

在英国的埃文馬烏特,英美合資的“康薩利台且制铀股份有限公司”正在建造一座生产核子純的金属铀和銅铀合金工厂。按照生产能力,估計它将是世界上最大的工厂之一^[11]。

法国也在小規模地生产铀及其化合物^[6]。

印度正在建造一座年产 15 吨氧化铀、氧化铀制品和金属铀的工厂^[12,13]。

由此可見,近年来,为了制备金属铀,铀精矿的加工量正在逐漸增加,同时铀的应用范围也在不断地扩大。

拉宁(А. Ланин),阿列弗耶夫(Г. Арефьев)

参 考 文 献

- [1] Metall, No. 12, 1167 (1959).
- [2] Mining J., 253, No. 6485, 578 (1959).
- [3] Mining World, 21, No. 5, 67 (1959).
- [4] Mining J., 253, No. 6473, 237 (1959).
- [5] Mining J., 251, No. 6411, 18 (1958).
- [6] Mining World, 20, No. 5, 72 (1958).
- [7] Mining J., 253, No. 6470, 169 (1959).
- [8] Mining J., 250, 6408, 695 (1958).
- [9] Chem. Age, 80, No. 2038, 195 (1958).
- [10] Mining J., 253, No. 6487, 638 (1959).
- [11] Mining J., 253, No. 6464, 35 (1959).
- [12] Mining J., Annual Rev., May, 51 (1959).
- [13] Mining J., 250, No. 6393, 237 (1958).

色 散 关 系 理 論 会 議

色散关系理論會議于 1960 年 5 月,在联合原子核研究所举行。参加这次會議的約有 70 个理論物理学家,其中包括保加利亚、匈牙利、越南、中国、德意志民主共和国、波兰、羅馬尼亚及捷克斯洛伐克等各国的科学家。會議是在鮑柯留博夫(Н. Н. Боролюбов)主持下开幕的。

會議上宣讀了近廿篇論文,其中分为两大类:1) 色散关系的証明及散射振幅一般分析性质的研究;2) 运用色散关系来获得描写强相互作用和蜕变过程的近似方程。

与会者以极大的兴趣听取了洛古諾夫(А. А. Логунов)、塔符海里茲(А. Н. Тавхелидзе)、托杜罗

夫(И. Тодоров)、契尔尼柯夫(Н.А. Черников)的报告,报告中都发展了芬曼图形的多数选取(Мажорирование)法,从而利用微扰原理可以詳細地研究振幅的分析性能。同时还听取了米謝里亚柯夫(В. А. Мещеряков)、叶甫里莫夫(А. В. Ефремов)、西罗柯夫(Д. В. Широков)以及朱洪元等关于利用二元色散关系对介子核子的散射分波取得近似方程可能性的报告。

另外,捷尔-馬基洛楊(К. А. Тер-Мартirosян)的报告中,还介绍了用具体模型的实例来研究利用二元色散关系获得的近似方程。

在別利斯克茨基(И. Я. Берестецкий)、波米然丘克(И. Я. Померанчук)以及格里博夫(В. Н. Грибов)所作的研究过程振幅增长程度随能量而增加的报告中,已得出一些有意义的結果。

弗拉季米洛夫(В. Г. Владимиров)在研究换位子的一般性能时,发展了这种方法,利用此法有可能获得达松(Дайсон)型的积分表。另外,此法在微分方程理論中是完全有效的。

有許多报告是专门针对用重色散理論来获得近似方程(描述有不稳定粒子参加的过程)。

布洛欣采夫(Д. И. Блохинцев)在會議总结时指出,与会者指出了色散关系理論上的重大意义,也介绍了很多有价值的研究工作,它解决了色散理論中一些具体問題。但是布洛欣采夫同时也指出,把色散关系作为理論的基础来看待的話显然还没有达到重要的进展;因此要求今后对一些原則性的困难还要进行不断地克服。

彼留柯夫(В. Бирюков)

簡 訊

澳大利亚 原子能委员会向美国訂購了一个教学用的 UTR-10 反应堆,以供留卡斯海特(Люкас-Хайт)原子能研究中心站用。

澳大利亚 且格諾戈(Дангенго)的放射性强度为 15 万居里的鈷源羊毛消毒装置已投入生产。今后打算把这一装置的放射性强度提高为 50 万居里。此装置还将应用到制藥和其它工业部門。

奥地利 国际原子能事业局正在审查关于在开罗建立一个为阿拉伯国家生产放射性同位素的区域中心的提議。在国际原子能事业局代表团到达現場并提出自己的意見后方可作出最后的决定。

比利时 根特(Гент)大学正计划在 1960 年到 1961 年間建造一个热功率为 15 瓩教学用的游泳池式反应堆。

巴西 已拨款 10 亿克罗才罗作为进一步发展国立原子能委员会的活动金。这批款項将用于培养原子能专家,扩大原子能原料的勘探以及一些有关原子能方面的工业建設。同时还报导了圣保罗大学的科学家们已成功地研究出从矿中提炼純鈾的方法。这些方法比現在美国和英国采用的方法更为先进。目前特別重視建造本国自建的反应堆。

英国 据考克洛夫脫报导,在卡德尔豪尔所有反应堆的热功率已从 18 万瓩提高到 20 万瓩,而电功率也从 3.5—4 万瓩提高到 4.6 万瓩。功率的提高是由于使反应堆中的能量释出均衡化所致。至

1959 年中約有九万个释热元件已使用过了。释热元件在反应堆中受照射的最大時間約为 19 个月,而最大燃耗深度是 1300 兆瓦·日/吨鈾。总共只发现了 27 个有破損的释热元件,大部分破損的释热元件是在反应堆底部受热不强的区域內发现的。损坏的原因是由于鈾胀大以及在适当溫度下鎂合金的塑性不足以至在鎂合金外壳中产生了应力。目前在卡德尔-豪尔和恰伯尔-克洛斯的反应堆正在試用改良的释热元件。这些释热元件是准备用于正在建造的原子能发电站上。

英国 据下議院所公布的材料說,現在英国原子能管理局拥有 4233 名科技人員,原子能管理局工作人員的总数在 1959 年 4 月初为 35260 人,而在 1958 年 4 月初只有 30341 人。

英国 农业委员会放射性实验室的第二次报告中指出,全国 12 个月来(到 1959 年 6 月底),在牛奶中鈾⁹⁰的含量比前 12 个月来(到 1958 年 12 月底)鈾⁹⁰的含量增加 40%。但是 1959 年 6 月份的資料表明,鈾⁹⁰的含量已开始有些下降。

丹麦 美国在格陵兰北部科学研究所安装一个由“阿尔格产品”公司出产的,可移动的动力 PM-2A 反应堆的计划得到了好評。預計能生产 1560 瓩电量的原子发电站将在美国建造。

印度 据巴巴宣称,孟买反应堆将用来生产放射性同位素。

印度 在比哈尔邦已开始开采铀矿。在矿山附近准备建造一个铀矿加工装置。

西班牙 1960年2月在安杜哈尔(安达鲁齐亚省)的国内第一个加工铀矿和生产金属铀的工厂已投入生产。这个工厂每年将提炼卡尔琴和圣玛利亚台拉卡别斯矿区所开采的六万吨铀矿,每年可生产金属铀55吨,矿石中铀的平均品位为0.1%。

荷兰 为别基(Петтин)研究中心向英国订购了教学用的反应堆。“杰逊”(“阿贡”型反应堆)。反应堆称作 LFR 堆,其功率为10瓦, LFR 反应堆拟于1960年8月开动。

美国 据原子能委员会宣称,在原子能委员会所属的各种实验室大约有4万名专家在进行工作,委员会的年度预算大约为七亿美元,不包括研究核武器的开支在内。

美国 通过了关于建造有机载热剂和减速剂反应堆的决议。这种有机反应堆是 OMR 反应堆的进一步的发展形式,其电功率为7.5万千瓦。如果在三个月内没有一个公司提出建立反应堆的申请,则原子能委员会将自己建设。原子能委员会还打算在艾达荷福尔斯试验站上建造一个有机载热剂和减速剂实验性 EOCR 反应堆。该反应堆用来研究最经济的反应堆型式。在热功率为二万千瓦到四万千瓦变化

的 EOCR 反应堆中,将进行各种有机载热剂、减速剂和释热元件的研究。反应堆功率的可变性能模拟对建造带有机反应堆的原子能发电站所制定的各种工况。

美国 1960年3月底在橡树岭开动了功率为5000瓦的游泳池式非均匀反应堆(Тауер-Шиллинг-11)。这个反应堆的减速剂和载热剂是普通水。

美国 “马丁”公司正在试验一个可移动的 PM-1 反应堆。此反应堆电功率预计为1000瓦,并将供给建筑物采暖用的热量 10.76×10^6 千卡/小时。反应堆的管状释热元件中含有金属陶瓷燃料(分散在不锈钢中二氧化铀(加浓铀))。在反应堆活性区内要用732个释热元件。

法国 1960年底在鲍尔(Борл)附近,开始建设原子能发电站,在发电站上打算采用重水作减速剂的反应堆。用二氧化碳作为载热剂,天然铀作为燃料。该发电站功率预计为八万千瓦。

法国 在马库尔的试验性动力 G-2 反应堆又重新投入运行了。运行中断的原因是由于一部分堆壳的温度比容许温度超过 50° 。冷却系统的改装工作要求在混凝土防护层内工作约1000小时,同时也更换了 G-3 反应堆的冷却系统。

新 書 介 紹

最 新 文 獻

書 籍 和 文 集

关于离子交换吸附方面書籍的簡評 最近在文獻中出現了大量的关于离子交换方面的書籍。一般來說書中包括有关于离子交换剂理論和离子交换剂在鈾的制造工艺-放射化学和原子能生产中的应用的极宝贵資料。在我們看来,这些書籍中最引人注意的是下列几本:

1. 离子交换及其应用 論文集 編輯契穆托夫 (К. В. Чмутов), 莫斯科, 苏联科学院出版社, 1959年。

2. 离子交换工艺学 論文集 編輯納霍达 (Находка) 和舒伯特 (Шуберт), 譯自英文, 冶金出版社, 1959年。

3. 庫宁 (Р. Кунин) 著, 离子交换树脂 二版, 1958年。

除这些书外,还要介紹一下沙里曼 (Сальман) 和盖列 (Гале) 著的“實驗室实践中的离子交换”一书 (伦敦, 1959年) 和克契涅尔 (Кичнер) 著的“离子交换树脂”一书 (紐約, 1957年)。

“离子交换及其应用”一书的“离子交换树脂”这一章是由特洛斯江斯卡娅 (Тростянская Е. Б.) 編写的,其中列出了离子交换剂的分类,闡述了对离子交换剂的一般要求,討論了离子交换剂使用前的准备条件,并敘述了試驗离子交换剂的主要方法,对比了苏联生产的离子交换剂和美国生产的某几种离子交换剂样品的主要特性。所闡述的离子交换剂中較引人注意的是丙烯酸、甲基丙烯酸和乙二醇二甲基丙烯酸的共聚物和以聚乙烯醇及丙烯腈为基底的羧树脂。在硒酸对苯乙烯和对二乙烯基苯的共聚物的作用下能获得硒酸阳离子交换剂。

聚乙烯和石炭酸衍生物的共聚物或苯乙烯和对二乙烯基苯的共聚物磷酸化而获得的磷酸阳离子交换剂在吸附一系列放射性元素及碎片元素中的意义較大。在羧基苯腈和甲醛多浓聚的作用下能得到一种离子交换基为砷酸基的阳离子交换剂。

可能引起人們相当大兴趣的共聚物是在順丁烯二酐和以二乙烯基苯为基底的共聚物。由于随后共

聚物发生硫化而得到含三硫代碳酸盐基的阳离子交换剂。应该強調指出,处在压力下的吡啶或其他胺化剂作用下得到的以聚氯乙烯为基底的阴离子交换剂有很大的发展前途。

对放射化学來說极其宝贵的特里龙 A 和 B 衍生物型絡合离子交换剂是一組特殊的离子交换剂。

在謝尼亚文 (М. М. Сенявин) 編写的“离子交换和离子交换色层分离理論要素”这一章中,对靜力学、动力学和吸附动力学現在的一些看法作了批判性的分析,并从这个观点出发,闡述了不同离子交换剂的实验数据,分析了三种把离子交换的机理解释成膜平衡、互 (置) 換多相化学反应和渗透过程的基本观点。对于离子交换色层分离法闡述了决定分离过程效率的重要准数,指出了分离系数与离子交换剂及絡合物特性的关系。为了积累起資料以便建立合理的分离方法,提出要測定交换常数和离子的扩散系数。闡述了色层分离的内外扩散区的区分規則。

在同样是謝尼亚文編写的專門闡述分析化学和无机物制造工艺中的离子交换色层分离法的那一章里,对国内外就門捷列夫元素周期系上各組元素作过的研究工作进行了极其完整的簡評。对离子交换色层分离法作这样的分类还是第一次,所以它就成为反映现实的宝贵参考資料,很詳細地闡述了碱元素、碱土元素和稀土元素的各种分离法。列举出吸附鈾、钍和其他放射性元素的宝贵資料。

在“离子交换剂膜”这一章中簡短地闡述了最重要的离子交换剂膜的物理、化学特性和物理力学特性,及其制造方法和应用范围。对各种海水去盐法进行了比較,并指出,在电能的价值不高昂的条件下,离子交换剂膜电渗析法是最經濟的。

“离子交换工艺”一书介紹了美国能采用离子交换剂的各工业部門离子交换工艺的发展状况。但是在許多情况下作者列举的是最一般的資料,并且沒对离子交换工艺在美国工业中应用的实际情况作較深入的分析。

有很大意义的是用离子交换剂混合剂进行消电离作用的数据。这种消电离作用的方法同普通消电

离作用的方法相比能保证较高的电解液提纯度。采用这个方法去排除放射性元素保证能得到很好的效果。作者极为重视地叙述了采用离子交换剂膜的电化学过程。给出了采用离子膜的电解质过程的理论基础,并阐述了膜的电化学特性(如导电系数、膜势、选择性等)。

描述了离子交换树脂电解再生的新的有趣的过程。但应指出:作者未能对这一过程的机理做一个令人信服的解释。还列举出了用来分离离子混合物的多室电渗析器的系统图。按作者的意见,这一过程将来要在分离物理特性和化学特性极相近的离子混合体(如同位素)时得到应用。已经确定, D_2O 在水中部分的浓缩可能由于通过涅普顿 CP-51 (Нептон CP-51) 型膜的电渗现象而引起的。在装有一个膜的小电解槽中用氯化锂、铍和硫酸水溶液所做的试验中分离因数不大于 1.07。

在斯匹丁格 (Ф. Спеддинг) 和鲍乌尔 (Д. Пауэл) 编写的“高纯度稀土元素离子交换法定量离析”这一章中阐述了稀土元素的应用远景,并在理论上论证了稀土的离子交换分离过程。叙述了实验装置的实际工作情况。

这本书中较重要的是阐述离子交换工艺在水法冶金学、在放射性同位素的精制和放射性废物的处理方面应用的那几章。离子交换剂在水软化和消电离作用后在工业方面应用得最为广泛的方面是把它应用到铀水法冶金学中。美国、加拿大、南非联邦和其他国家的工厂正广泛地用离子交换工艺从溶液和矿浆中提取铀。他们采用季铵碱型离子交换剂 [滤砂 SK, SKB, 安柏尔利特 1RA-400 (АМБЕРЛИТ 1RA-400) 或达乌艾克斯 -1 (ДАУЭКС-1)] 作吸附剂。

为了要探讨离子交换剂在放射化学中以及在净化生产分裂物质时产生的废水方面的应用问题,曾研究了强放射性对离子交换剂物理及化学稳定性的影响。有许多作者指出:在强放射性长期作用下,离子交换剂会部分地被破坏,因而吸附容量便显著地下降。所列举的有关分离核裂变产物用的连续离子交换装置的数据极为简单。也许是离子交换剂连续生产过程只是在最近在美国的工业中才开始采用的缘故。离子交换工艺极为重要的一个方面是放射性废物(铀,钍,钍,钍等)的排除问题。曾确定:在吸收放射性元素时树脂的容量取决于盐溶液的成分。例如在蒸馏水中吸附放射性铀时阳离子交换剂纳尔齐特 HCR (нальцит HCR) 的容量实际上是无限大的,1毫升离子交换剂 HCR 能吸收 2.07 居里铀。

阐述了阴离子交换剂在排除放射性碘,钍,钍,

钍和钍方面的应用。

1958 年出版的库宁著的“离子交换树脂”一书是 1950 年在纽约出版的库宁和迈耶斯 (P. Майерс) 合著书的再版。阐明离子交换机理理论、阳离子交换树脂特性的头几章新补充了一些关于离子交换剂的亲和性和选择性的数据。同时阐述了离子交换剂的性质与二乙烯基苯含量的关系。对现代不同的交换理论 [格列葛尔 (Грегор), 格留卡乌弗 (Глюкауф), 索尔丹诺 (Солдано) 等人的理论] 作了比较。“离子交换树脂的合成”这一章的篇幅大大地扩充了。在这一章中列举了相当完整的美国和世界各国所出版的离子交换树脂一览表。简要地叙述了制取离子交换膜的主要原理。在新的吸附剂中值得人们非常注意的是以 diallyldimethylphosphonate 为基底所制取的共聚物和 allylphosphonate 聚合物,它们含有能选择地吸收硝酸溶液中的铀的酸基。含有二元酮基的树脂能选择地吸收钍。

在第六至第九章中 (内容是阐明离子交换在使水软化和消电离作用中的应用),基本上与初版中所谈到的问题相同。

在第十章内第一次对离子交换剂在水法冶金学中的应用作了叙述。叙述了从溶液和矿浆中提取铀的方法的发展过程。详细的描述了处理含金铀矿的吸附法。

按所举的流程,首先进行金的氰化物浸提,而矿泥则送去作铀的硫酸浸提。用阴离子交换剂从氰化物溶液中提取金时也提取铀、银、铁、铜和钍。在用稀盐酸与氰化钠解吸时会除掉铀、铁、铜和钍,此后再用甲醇盐酸溶液解吸金和银。盐酸溶液中的铀被阴离子交换剂吸附,然后又被硝酸铀和硫酸的混合剂所解吸。

第十章阐述的是选择膜及其应用。列举了安姆别尔普列克斯 C-1 和 A-1 (Амберплекс) 型膜的电化学特性。离子交换膜电解水中用得最广泛。指出,在其他应用方面,可用于还原和沉积铀以及除害处理放射性溶液。

离子交换剂在分析化学中得到广泛应用。第十三章专门论述了这个问题的。在这章中列举了有关离子交换剂在浓缩、离子交换色层分离、测定电解液的总浓度、测定平衡常数和活化系数等方面应用的数据。

第十四章阐述了离子交换剂最主要的应用范围。离子交换剂在原子工业中用来去除冷却反应堆及其相应装置的冷却水中的 β 和 γ 放射性和研究裂变产物方面的应用是很重要的。

第十五章详尽地叙述了研究各种离子交换剂的

物理和化学稳定性的各种不同方法。

第十六章討論了与应用离子交换树脂有关的經濟問題。

沙里曼和盖列合著的“实验室实践中的离子交换”一书中有一些人所共知的离子交换树脂的数据，对刚开始掌握这一领域工作的工程师和技术員來說这本书是有意義的。书中引用了大量实际操作例子，使讀者有可能很快地掌握实验室工作中的实际操作。

基契涅尔著的“离子交换树脂”一书以提綱形式敘述了离子交换理論和实践的基本問題。这里列举了根据以前发表过的已知文章整理出的稀土和超鈾元素(鈾系元素)的色层分离数据。

闡明进一步发展离子交换过程，其中包括制取高选择性的离子交换剂的这一章也有一定的意义。为了选择地吸收鈾和亚鉄，建議采用間苯二甘氨酸和构成 Хелатный 基的其他的胺基酸为基底的离子交换剂。含有异羟肟酸基的树脂对絡合物形成的趋向性較高。

拉斯柯林 (Б. Ласкорин)

第一个原子发电站的建造和運轉經驗 烏沙科夫 (Ушаков Г. Н.) 著 莫斯科—列宁格勒，国家动力出版社，1959，223頁，8 卢布 40 戈比。

这本书共包括三章。第一章詳細地描述了世界上第一个原子能电站。討論了鈾石墨反应堆和堆的各系統的结构。描述了电站第一迴路第二迴路，一系列低压輔助迴路，电站工艺检查和剂量检查的系統以及电站的排水、通风系統和运输工艺设备及供电系統。闡明了有可能对能可靠防护放射性輻射的反应堆和器械进行实验。

第二章闡述了原子能电站的建造和安装上的問題。对安装工程的质量及清洁度提出了极高的要求，特別注意了焊接和对焊接质量进行检查的問題。說明了保証各系統及设备正确安装的組織措施，安装好的部件的中間試驗和拟訂安装电站的技术資料。闡述了裝置的綜合試驗，其中包括堆的物理启动和最終启动所必要的电站在不同工况下运行时的試運轉。

第三章敘述了电站五年来的运行經驗。討論了发电站在固定工况和过渡工况下的运行情况。詳尽地描述了反应堆的功率从零到額定功率的提高过程和提高电站功率之前各系統上的准备工作及启动。对不同的检查系統——工艺管道的工况、工作介质的放射性、电站热工部分的工作情况及剂量检查等检查系統的工作情况都作了分析。列举了反应堆的反应性随其功率及運轉期限而变化的实验数据。闡

述了反应堆的事故停堆和計劃規定的检修停堆以及工作管道的重新装載 (这样做能延长管道的使用期限和大大地增加核燃料的燃耗度)。

这本书还闡明了許多虽然是較細小的但对原子能电站操作人員来说是极有意義的問題。这本书有許多曲綫图、示意图和各种不同图表，因此可以說它不仅对从事动力工程的专家有裨益，而且对动力学院和动力系的大学生亦有裨益。

粒子多次散射導論 涅力巴 (Нелица Н. В.) 著 莫斯科 原子能出版社 1960，160 頁 5 卢布 10 戈比。

这本书說明了 γ 量子、电子和中子通过物质多次散射的問題。对不同源上述各粒子多次散射問題的各种不同解决方法作了詳細的介紹。用許多具体的数字計算例子說明了一般的解決法。將理論計算与相应的实验数据的結果作了比較。这本书还刊登了积累因子、光子能譜和其他等图表。

这本书供关心粒子多次散射問題的物理工作者和工程师閱讀，也可以用它来做教科书。

戈霍別尔格 (Гохберг Б. М.) 和楊柯夫 (Янъков Г. Б.) 著 “带电粒子静电加速器” 莫斯科原子能出版社 1960 52 頁 1 卢布 50 戈比。

在这本小册子中描述了带电粒子加速器，采用静电发生器作为高压源。

簡短地描述了各种静电发生器并闡述了它們的作用原理。把主要的注意力放在采用压缩气体的带状发生器的現代加速器上。分析了測定能量和加速离子束稳定性的元件工况。

Kašpar J. Nerosty Radioaktivních Prvků Jejich Vznik a Vývoj (放射性元素矿物及其始源). Praha, Statui Nakladatelství Technické Literatury, 1959, 155 Str.

这本书是捷克斯洛伐克出版的第一个关于放射性元素矿物学的专题論文。主要的注意力放在放射性元素地球化学特性和敘述矿物学上。

序言部分說明了放射性衰变过程的簡要特性。这本书內列举了鈾、鈾、釷和錒族。然后分別敘述了鈾地球化学和釷地球化学。有两章都涉及了鈾和釷在不同矿石中的含量和它們在稠浆辨別过程及沉降过程中的性能的一般資料。本书以大半本的篇幅来敘述鈾和釷的矿物。在篇幅不大的最后一章中簡要地敘述了瀝青鈾矿的共生和最主要的鈾热水矿床的矿化阶段。列举出了产鈾区的地图和对它們的說明。最后列举了鈾矿石工艺加工的典型流程。

这本书供从事放射性矿石的专家用，也可供犬学生、地质、矿物、地球化学和化学等方面的工作者

使用。

Nuclear Reactor Plant Data. Vol. I.—Power Reactors, 128 pp. Vol. II—Research and Test Reactors, 297 pp. New York, McGraw-Hill Book Co., 1959 (原子核反应堆参考书第一册——动力堆, 第二册——实验性和研究性反应堆。)

美国工程师和机械师协会出版了两册原子核反应堆图集, 这些反应堆包括了美国和其他国家一些正在运行、建造和设计的反应堆。

第一册图集内容是动力反应堆和原子能电站。第二册的内容则是研究性和实验性反应堆。两图集内有相当完整的图表资料; 列出了反应堆和原子能电站的示意图, 概视图和较为重要的反应堆结构部件的图样。

在第一册内举出了美国的三十一个原子动力装置及其他国家十一个装置的数据。在第二册内有美国五十四四个研究性及实验性反应堆以及其他国家的四十二个反应堆。

这两本图集是关于外国原子核反应堆方面的有益的参考书。

国外原子技术 № 7 (1960)

本期开头一篇文章是维格涅尔 (Б. Вигнер) 所写。这篇文章综述了反应堆建造主要原理的发展情况。对世界动力资源作了估计并叙述了几种有发展前途的反应堆的主要类型和它们的计算方法。阐明了将核能直接变为电能的问题。

关于铀在快中子堆和热中子堆中应用的经济问题, 在克拉乌斯 (И. Клаусс) 的文章中亦有所讨论。

(在哈威尔研究出来的) 计算石墨气体反应堆防护层用的改进后的推导截面法在斯平尼 (Г. Спинни) 的文章中有所叙述。

格列依弗斯 (Г. Грейвс) 的文章专门论述了火箭反应堆的辐射防护问题。

黑赫特 (К. Хейт) 的文章讨论了相当有趣的流体模拟堆氙中毒过程的想法。

格洛特 (У. Грот) 概述了分离同位素用的气体离心法和气体离心机的结构。

新的萃取磷有机化合物的制取和对其特性的研究, 在别帕尔德 (Д. Пеппарт) 的文章中作了叙述。

库别尔施密特 (Я. Купершмидт) 写的述评的内容是在反应堆的操纵和防护系统中得到广泛应用的对数放大器的新的线路。

用热荧光现象作原理制造成的剂量计的结构在舒尔曼 (Шульман) 先生及其他人的文章中有所

描述。

期刊论文¹⁾

1. ФИЗИКА ЯДЕРНОЙ ЭНЕРГЕТИКИ

Нейтронная и реакторная физика. Физика горячей плазмы и управляемые термоядерные реакции. Физика ускорения заряженных частиц

Докл. АН СССР, 130, № 6 (1960)

Скуридин Г. А., Станюкович К. П., 1248—1251. Приближенное решение задачи о движении проводящей плазмы.

Докл. АН СССР, 131, № 1 (1960)

Скуридин Г. А., Станюкович К. П., 72—74. Движение проводящей плазмы под действием поршня.

Ж. техн. физ., XXX, вып. 2 (1960)

Кельман В. М. и др., 129—137. Ахроматические магнитные зеркала.

Стрельников П. И., Федоренко А. И., 138—141.

Исследование фокусирующих свойств параболической магнитной линзы.

Кучай С. А., 142—152. Оптические свойства осесимметричных магнитных полей с центральным источником заряженных частиц.

Ж. техн. физ., XXX, вып. 3 (1960)

Синельников К. Д. и др., 249—255. Движение заряженных частиц в пространственно-периодическом магнитном поле.

Синельников К. Д. и др., 256—260. Исследование магнитной ловушки.

Морозов А. И., Соловьев Л. С., 261—270.

Движение частиц в тороидальном гофрированном магнитном поле.

Морозов А. И., Соловьев Л. С., 271—282.

Движение частиц в винтовом тороидальном магнитном поле.

Синельников К. Д. и др., 282—288. Исследование ионного циклотронного резонанса в плотной плазме.

Кварцхава И. Ф. и др., 289—296. Опыты по электродинамическому ускорению плазмы.

Кварцхава И. Ф. и др., 297—305. Некоторые магнито-гидродинамические эффекты, наблюдаемые при импульсном сжатии плазмы.

Демирханов Р. А. и др., 306—314. Высокочастотные колебания в ограниченной плазме.

Демирханов Р. А. и др., 315—319. Взаимодей-

¹⁾ Список иностранных журналов, используемых в разделе «Библиография», опубликован в январском выпуске журнала «Атомная энергия» за 1960 г. Для информации о содержании советских журналов используется «Летопись журнальных статей» Всесоюзной книжной палаты.

ствие пучка заряженных частиц с плазмой.

Кириллов В. Д., 320—329. Потери энергии на излучение в газоразрядной плазме.

Вандакуров Ю. В., 330—337. Об устойчивости тонкого кольцевого плазменного проводника в магнитном поле.

Ж. эксперим. и теор. физ., 38, вып. 2 (1960)

Векслер В. И., 324—334. Распределение по энергиям распыленных и рассеянных ионов при бомбардировке поверхности тантала и молибдена положительными ионами цезия.

Протопопов А. Н. и др., 384—386. Деление Th^{232} нейтронами с энергией 14,9 MeV.

Долгов-Савельев Г. Г. и др., 394—403. Исследование тороидального разряда в сильном магнитном поле.

Беловицкий Г. Е. и др., 404—408. О механизме деления ядер урана под действием μ -мезонов.

Грошев Л. В. и др., 588—597. Спектры γ -лучей, возникающих при захвате тепловых нейтронов тяжелыми ядрами. I.

Струтинский В. М. и др., 598—611. Спектры γ -лучей, возникающих при захвате тепловых нейтронов тяжелыми ядрами. II.

Сорокин В. С., Сушкин И. В., 612—620. Устойчивость равновесия подогреваемой снизу проводящей жидкости в магнитном поле.

Гречухин Д. П., 621—630. Циркулярная поляризация γ -квантов, сопровождающих захват медленного нейтрона ядром.

Ж. эксперим. и теор. физ., 38, вып. 3 (1960)

Васильев Ю. А. и др., 670—684. Измерение спектров и среднего числа нейтронов при делении U^{235} и U^{238} нейтронами с энергией 14,3 MeV.

Харченко И. Ф. и др., 685—692. Взаимодействие электронного пучка с плазмой.

Коврижных Л. М., Рухадзе А. А., 850—853. О неустойчивости продольных колебаний электронно-ионной плазмы.

Изв. высш. учебн. заведений. Радиофизика, 2, № 6 (1959)

Железняков В. В., 858—868. О взаимодействии электромагнитных волн в плазме. II.

Наука и жизнь, 27, № 3 (1960)

Лебедев А. Н., 38—39. Новый ускоритель.

Приборы и техника эксперимента, № 1 (1960)

Куценко А. В., 3—16. Схемы совпадений в ядерной физике.

Бабичев А. П., Федоров Н. Д., 16—19. Об ускорении ионов в циклотроне на «субгармонике».

Хабахпаев А. Г., 25—29. Сцинтилляционный спектрометр быстрых нейтронов.

Козачина Б. С. и др., 110. Стабилизация напряжения отклоняющей системы циклотрона.

Кирсанов В. М. и др., 111—112. Измерение распределения плотности тока во внешнем пучке циклотрона.

Гуськов Ю. К. и др., 143—144. Изготовление

урановых слоев путем испарения в вакууме.

Усп. физ. наук, LXX, вып. 2 (1960)

Гиязбург В. Л., Гуревич А. В., 201—246. Нелинейные явления в плазме, находящейся в переменном электромагнитном поле.

Физ. твердого тела, 2, вып. 3 (1960)

Бонч-Бруевич В. Л., Миронов А. Г., 489—498.

К теории электронной плазмы в магнитном поле.

Arkiv Fys., 16, H. 3 (1960)

Larsson K. et al., 199—217. Спектрометр по времени пролета с прерывателем для медленных нейтронов.

Bonnevier B., Lehnert B., 231—236. Движение заряженных частиц во вращающейся плазме.

Canad. J. Phys., 38, No. 2 (1960)

King J. et al., 231—239. Сечение реакции (γ, n) для N^{14} .

Industries Atomiques, IV, № 1—2 (1960)

Levy-Mandel R., 71—75. Синхрофазотрон «Са-турн» в Сакле.

Linhart I., 81—82. Новые исследования в области термоядерного синтеза.

Jaderná Energie, VI, № 3 (1960)

Chochlovsky I. et al., 80—82. Лаборатории для ускорителя Ван-де-Граафа в Институте ядерных исследований Чехословацкой академии наук.

Jaderná Energie, VI, № 4 (1960)

Habanec J., 109. Первый чехословацкий циклотрон.

Drška L., Hejlek R., 116—119. Проект факультета технической и ядерной физики в Праге—Либень.

Nucl. Energy, 14, No. 142 (1960)

112—113. Масс-спектрометр Аргонской национальной лаборатории.

Nucl. Instrum. and Methods, 6, No. 2 (1960)

Cohen B. et al., 105—125. Ок-риджский релятивистский изохронный циклотрон. Ч. II. Проектирование магнитного поля для изохронного циклотрона.

Kitchie R. et al., 157—163. Сферический конденсатор как спектрометр частиц с высокой разрешающей способностью.

Grivet P., Septier A., 126—156. Магнитные квадрупольные линзы.

Brückmann H., 169—175. Модулятор для боннского фазотрона с ферроэлектрической керамикой.

Kumagai H., 213—216. Проектирование циклотронных магнитов с широкими пределами изменения полей.

Nucl. Instrum. and Methods, 6, No. 3 (1960)

Gordon M., Welton T., 221—233. Окриджский релятивистский циклотрон. Часть III. Исследование движения ионов в циклотроне.

Bassel R., Bender R., 234—237. Окриджский релятивистский циклотрон. Дополнение. Некоторые последние результаты изучения движения ионов.

Wagner C. et al., 238—242. Техника химических исследований, проводимых на электронном ускорителе Ван-де-Граафа.

Nucl. Instrum. and Methods, 6, No. 4 (1960)

Ballini R., Shafroth S., 331—336. Детектирование нейтронов с малой энергией кристаллом NaI(Tl) в спектрометре по времени пролета.

Nucl. Phys., 15, No. 1 (1960)

Cross W., Jarvis R., 155—165. Рассеяние нейтронов с энергией 14,6 Мэв Mg, Ca, Cd, Ta и Bi.

Nucl. Phys., 15, No. 2 (1960)

Preiss I., Fink R., 326—336. Новые изотопы кобальта; сечений активации никеля, кобальта и цинка нейтронами с энергией 14,8 Мэв.

Everling F. et al., 342—355. Атомные массы ядер с $A \leq 70$.

Nucl. Sci. and Engng, 7, No. 2 (1960)

Campise A., 404—410. Точность S_n -метода при вычислениях распределения нейтронов в элементарной ячейке.

Blue E., Platt H., 127—132. Сходимость S_n -метода для систем на тепловых нейтронах.

Schiff D., Ziering S., 172—183. Метод моментов.

Simpson O. et al., 187—192. Полные сечения ^{233}U и ^{235}U нейтронами с энергией 0,02—0,08 эв.

Schmidt R. et al., 193—197. Полные сечения титана, ванадия, иттрия и вольфрама.

Nuova Technika, No. 4 (1960)

— 179—180. Чехословацкий циклотрон.

Nuovo Cimento, XV, N. 2 (1960)

Baños A., Vernon R., 269—288. Волны с большой амплитудой в плазме без столкновений.

Philos. Mag., 4, No. 48 (1959)

Hafe A., 1305—1310. Влияние вязкости на стабильность несжимаемых магнито-гидродинамических систем.

Kothari L., 1325—1338. Рассеяние тепловых нейтронов в алюминии.

Phys. Rev., 115, No. 1 (1959)

Sterheimer R., 137—142. Соотношения пробег-энергия для протонов в Be, C, Al, Pb и воздухе.

Phys. Rev., 115, No. 2 (1959)

Dreicer N., 227—237. Убегающие электроны и ионы в полностью ионизованном газе. Ч. I.

Phys. Rev. 115, No. 3 (1959)

Baranger M., Mozer B., 521—525. Распределение электрического поля в ионизованном газе.

Phys. Rev. Letters, 3, No. 7 (1959)

Tuck J., 313—316. Проникновение струи плазмы в магнитные поля и энтропийный захват в консервативную систему.

Phys. Rev. Letters, 4, No. 3 (1960)

Haaland C., 111—112. Удержание заряженных частиц плоскими электромагнитными волнами в свободном пространстве.

Phys. Rev. Letters, 4, No. 4 (1960)

Post R. et al., 166—170. Стабильное удержание высокотемпературной плазмы.

Prog. Theor. Phys., 22, No. 6 (1959)

Morita T., 757—774. Уравнение состояния высокотемпературной плазмы.

II. ЯДЕРНАЯ ЭНЕРГЕТИКА

• Теория и расчет ядерных реакторов.

• Реакторостроение. Эксплуатация ядерных реакторов и атомных электростанций

Вестн. АН СССР, XXX, № 3 (1960)

Ананьев Е. П., 3—12. Вопросы атомной энергетики.

Пром. стр-во, № 2 (1960)

Комаровский А. Н., 34—38. Об использовании предварительно напряженного железобетона при сооружении ядерных реакторов.

Теплоэнергетика, 7, № 3 (1960)

Кессельман П. М., 83—86. О термодинамическом подобии простой и тяжелой воды.

Теплоэнергетика, 7, № 4 (1960)

Калафати Д. Д., 74—81. Оптимальная температура регенеративного подогрева воды на атомных электростанциях.

Atomkernenergie 5, H. 2 (1960)

Clauss J., 41—52. К расчету коэффициентов горячего канала ядерного реактора.

Radař D., 53—57. Проблема граничных условий при расчете теплового напряжения в реакторных баках высокого давления.

Meyer-Jungnick W., 58—66. Применение алюминия в реакторостроении.

Kliefoth W., 66—73. Ядерные реакторы для судов.

Atomkernenergie, 5, H. 3 (1960)

Balz W., Schwarzwälder R., 86—91. Расчет циркуляции в кипящем реакторе.

Kliefoth W., 92—99. Американские работы над проектами реакторов с шаровыми тепловыделяющими элементами.

Atomwirtschaft, V, H. 2 (1960)

Schmidt-Amelung K., 48—52. О перспективах применения атомной энергии.

Energia Nucl., 7, No. 2 (1960)

Surdo C., 88—94. Некоторые теоретические вопросы кинетики реакторов с циркуляцией горючего.

Energia Nucl., 7, No. 3 (1960)

Casagrande I., Villani S., 141—158. Развитие графито-газовых реакторов в Великобритании.

Soldaini G., 159—168. Исследования в США по охлаждению ядерных реакторов пароводяной смесью.

Casagrande I., 175—191. Расчет тепловыделяющего элемента из металлического урана, охлаждаемого влажным паром.

Bonalumi R. et al., 192—209. Расчет критического размера ядерного реактора с тяжеловодным замедлителем и охлаждением влажным паром.

Industries Atomiques, IV, No. 1—2 (1960)

Trioulaire M., 57—63, 65—70. Характеристики

бассейновых реакторов.

Kumleben G., 83—88. Обзор развития ядерных реакторов.

Sevette P., 89—112. Роль атомной энергии в энергетическом балансе будущего.

Jaderná Energie, VI, No. 3 (1960)

Margulova T., Šterman L., 74—79. Пути повышения экономичности атомных электростанций с графито-газовыми реакторами.

Jaderná Energie, VI, No. 4 (1960)

Šterman L., Bohal L., 110—115. Выбор оптимального теплового экономического режима для первой чехословацкой атомной электростанции.

Poděšř M., Zvara I., 120—124. Водяные реакторы с горючим в виде суспензии.

Kernteknik, 2, H. 3 (1960)

Mardus G., 98—100. Практические расчеты в ядерной технике.

Nucl. Energy, 14, No. 142 (1960)

— — 109—112. Применение электрического нагрева на атомной электростанции.

Lottes P. et al., 116—121. Экспериментальные исследования естественной циркуляции в кипящих реакторах.

Nucl. Energy, 14, No. 143 (1960)

— — 152—153. Новый английский исследовательский реактор «Консорт».

Lottes P. et al., 156—159. Экспериментальное исследование естественной циркуляции в кипящих реакторах.

— — 166—169. Оборудование для перегрузки горючего атомной электростанции в Беркли.

— — 170—171. Реактор «Янус» для биологических исследований.

Nucl. Engng, 5, No. 46 (1960)

Eltham B., Hicks E., 96—98. Критерии безопасности для исследовательских реакторов малой мощности.

— — 99—104. Исследовательские реакторы. Обзор современных конструкций. Часть 1.

Hall W. et al., 105—111. Требования, предъявляемые университетами к исследовательским реакторам.

Burgess H., 113—115. Ядерная техника в ФРГ. Livesley R., 116—119. Решетки для графитовых блоков в ядерном реакторе.

French P., 120—122. Векторная диаграмма распределения температуры в каналах реактора.

— — 123—128. Сводка кратких данных реакторов стран мира.

Nucl. Engng, 5, No. 47 (1960)

— — 150—153. Проектирование и строительство высокотемпературного реактора нулевой мощности HERO.

— — 154—159. Исследовательские ядерные реакторы. Обзор современных конструкций. Часть 2.

Eldred V. et al., 160—163. Изменения, возникающие в тепловыделяющих элементах колдерхолл-

ского типа под действие облучения.

— — 164—168. Оборудование для перегрузки горючего в реакторе в Беркли.

Neumann J., 169, 171. Обеспечение безопасности на атомных торговых судах.

— — 170. Проблемы безопасности при проектировании и постройке атомных судов.

— — 172—173. Проект высокотемпературного газового реактора.

— — 173. Проект судового реактора с газовой турбиной.

— — 176—177. Завод по обработке бериллия. **Nucl. Sci. and Engng, 7, No. 2 (1960)**

Finn B., Wade J., 93—96. Загрязнение обычной водой решеток стержней из природного урана в тяжеловодных реакторах.

Busch J. et al., 97—103. Термические напряжения в патрубках корпусов ядерного реактора.

Lewins J., 122—126. Использование времени генерации в уравнениях, описывающих кинетику реактора.

Mack R., Zweifel P., 144—146. Расчет замедления нейтронов в тяжелой воде методом Грелинга — Гоертцеля.

Rude P., Nelson A., 156—161. Статистический анализ коэффициентов неравномерности.

Rothenstein W., 162—171. Вероятность столкновения и резонансные интегралы для решеток.

Donahue D. et al., 184—186. Сечение поглощения меди для тепловых нейтронов.

Nucleonics, 18, No. 3 (1960)

Balligand P., 82—85. Аварии реакторов в Сакле.

— — 108, 110. Тепловыделяющие элементы для реактора с перегревом пара.

III. ЯДЕРНОЕ ГОРЮЧЕЕ И МАТЕРИАЛЫ

Ядерная геология и первичная технология. Ядерная металлургия и вторичная технология. Химия ядерных материалов

Вестн. Ленингр. ун-та, 4, серия физ. и хим., вып. 1 (1960)

Зайдель А. Н. и др., 48—59. Спектральное определение редкоземельных элементов, выделяемых из горных пород.

Геохимия, № 1 (1960)

Орджоникидзе К. Г., 37—44. Относительная распространенность изотопов лития в урановых минералах и метеоритах.

Докл. АН СССР, 131, № 1 (1960)

Плаксин И. Н., Старчик Л. П., 85—86. Разделение минералов в потоке ионов, созданных α -излучением.

Ж. неорганич. хим., 5, вып. 2 (1960)

Маслова Г. В. и др., 359—365. Разделение некоторых радиоактивных редкоземельных элементов хроматографическим методом.

Су Чан, Ши И-и, 372—380. Исследование состава и свойств карбонатных соединений трехвалент-

- итного церия.
- Павловская М. П., Рейбель И. М., 393—395. Комплексообразование иона уранила с 8-оксихинолином.
- Вдовенко В. М., Кривохатский А. С., 494—497. Об экстракционной способности смешанных растворителей.
- Петров К. А. и др., 498—502. Алкилфосфонаты, дифосфонаты и окиси фосфинов как экстрагенты. *Ж. физ. хим.*, 34, вып. 1 (1960).
- Вдовенко В. М., Суглобов Д. Н., 51—56. Изучение растворов солей уранила в органических растворителях при помощи инфракрасных спектров поглощения. Спектры координационно связанной воды в гидратах уранилнитрата в области частот валентных колебаний.
- Мурин А. Н., 231—233. К вопросу о коэффициенте использования различных методов разделения изотопов.
- Радиохимия*, 11, вып. 1 (1960)
- Николаев А. В. и др., 3—5. Экстракция суммы радиоактивных изотопов эфирами бутилфосфиновых кислот.
- Шевченко В. Б., Федоров И. А., 6—12. Влияние температуры на экстракцию нитратов уранила, плутония, рутения и циркония трибутилфосфатом.
- Адамский Н. М. и др., 13—19. Влияние температуры на экстракцию азотной кислоты трибутилфосфатом.
- Вдовенко В. М. и др., 24—31. Структура гексагидрата уранилнитрата.
- Гуревич А. М. и др., 32—43. Спектрофотометрическое исследование системы $\text{UO}_2(\text{NO}_3)_2 \cdot \text{KOH} - \text{H}_2\text{O}_2 - \text{H}_2\text{O}$.
- Константинов Б. П. и др., 44—49. Разделение радия и бария при обмене между амальгамой и раствором.
- Константинов Б. П. и др., 50—56. Разделение радия и бария при электролизе на ртутном катоде.
- Шведов В. П., Фу И-бей, 57—64. Выделение радиоактивных изотопов на ртутном катоде. I. Изучение электрохимического поведения европия.
- Шведов В. П., Степанов А. В., 65—67. Разделение редкоземельных элементов методом непрерывного электрофореза. II. Разделение с помощью этилендиаминтетрауксусной кислоты.
- Гринберг А. А. и др., 78—82. Определение величины заряда многоядерных комплексных ионов рутения методом ионного обмена.
- Исабаев Е. А. и др., 94—97. Изотопный состав урана природных объектов.
- Исабаев Е. А. и др., 98—103. Исследование актиния в природных объектах.
- Усп. химии*, XXIX, вып. 2 (1960).
- Зозуля А. П., Пешкова В. М., 234—268. Исследования комплексообразования в растворах методом распределения.
- Atompraxis*, 6, N. 2 (1960)
- Getoff N., 41—43. Усовершенствованный метод флюометрического определения урана.
- Canad. J. Chem.*, 38, No. 3 (1960)
- Santry D., Yaffe L., 421—438. Абсолютный выход продуктов деления U^{235} тепловыми нейтронами.
- Weidmann G., 459—464. Разделение смесей некоторых тяжелых металлов методами экстракции и хроматографии на бумаге.
- Santry D., Yaffe L., 464—466. Выход Ba^{140} при делении U^{235} тепловыми нейтронами.
- Canad. Mining J.*, 81, No. 2 (1960)
- Griffith J., 135—137. Производство урана в Канаде.
- Energia Nucl.*, 7, No. 2 (1960)
- — 77—87. Завод по производству металлического урана в Спрингфилде и программа развития атомной промышленности в Великобритании.
- Perona G. et al., 111—120. Диффузионная сварка урана и циркония-2.
- Energia Nucl.*, 7, No. 3 (1960)
- Vogliotti F., 169—174. Быстрый метод спектрофотометрического определения урана.
- Habashi F., 210. Извлечение урана при термической обработке фосфатов.
- Industries Atomiques*, IV, No. 1—2 (1960)
- Gérard F., 76—80. Обзор развития химических и ядерных наук.
- J. Inorg. and Nucl. Chem.*, 12, Nos. 1/2 (1960)
- Harbottle G., 6—7. Период полураспада Tl^{204} , RaD и Bi^{207} .
- Moeller T., Horwitz E., 49—59. Исследование редкоземельных элементов. LXX. Некоторые характеристики комплексных соединений ЭДТА, гидрокси-ЭДТА и 1,2-циклогексантетрауксусной кислоты.
- Peppard D. et al., 60—70. Получение, физические свойства и инфракрасные спектры некоторых органофосфонатов.
- Bradley D. et al., 71—78. Соединения шестивалентного урана I. Уранилалкоксиды и уранилгексаалкоксиды.
- Hefley J. et al., 84—89. Получение, сохранение и разделение UCl_4 и UO_2Cl_2 в воде, этиловом спирте и их смесях.
- Smit J. et al., 95—103. Катионообменные свойства аммонийных солей гетерополиоксидов.
- Smit J. et al., 104—112. Катионный обмен на фосфомолибдате аммония. I. Щелочные металлы.
- Borchardt H., 113—121. Исследование реакций соединений урана.
- Siekierski S., 129—135. Экстракция трибутилфосфатом из растворов хлорной кислоты. I. Коэффициенты распределения циркония, тория, церия, прометия и иттрия.
- Best G. et al., 136—140. Трибутилфосфат как экстрагент для неорганических нитратов. VII. Нитраты трехвалентных актинидов.
- Peppard D. et al., 141—148. Использование эфиров фосфорной кислоты для экстракционного

выделения некоторых трансплутониевых элементов.
Grdenić D., 149—153. Комплексы четырехвалентного урана с диалкилфосфорной кислотой.

Taube M., 174—180. Влияние полярности разбавителя на экстракцию комплексов плутония органическими веществами.

Kennedy J., Davies R., 193—198. Поглощение неорганических солей анионитами из органических растворителей.

J. Mines, Metals, Fuels, VII, No. 11 (1959)

Chakravarti P., 1—8. Исследования по извлечению двуокиси циркония из траванкорского циркона. Ч. I. Извлечение циркония в виде фтороцирконата калия.

Mem. Scient. Rev. Metall., 57, No. 1 (1960)

Ball J. et al., 49—56. Определение физических свойств металлического плутония.

Nucl. Energy, 14, No. 143 (1960)

Jost P., Bye W., 160—161. Смазочные материалы для ядерной техники.

Nucl. Sci. and Engng, 7, No. 2 (1960)

Rough F. et al., 111—121. Облучение монокарбида урана.

Nucleonics, 18, No. 3 (1960)

Rough F., Dickerson R., 74—77. Монокарбид урана как горючее для реакторов.

Sarkes L., MacKinnon N., 107. Определение обогащения урана методом гамма-спектрометрии.

Maley L., 126, 128. Уравновешенные ионизационные камеры для точного анализа газов.

IV. ЗАЩИТА ОТ ЯДЕРНЫХ ИЗЛУЧЕНИЙ

Радиобиология и радиационная гигиена. Теория и техника. Приборная техника

Безопасность труда в пром-сти, № 3 (1960)

Сребродольский Д. М., Коржев А. А., 18—19. Приспособление для безопасного производства радиоактивного каротажа.

Гигиена и санитария, 25, № 2 (1960)

Березина Т. А., Голиков В. Я., 12—14. Методы очистки сточных вод лечебных учреждений от радиоактивного йода.

Доливо-Добровольский Л. Б. и др., 15—18. Данные о дезактивации городских сточных вод на станциях биологической очистки.

Орешко В. Ф., Новиков Ю. В., 64—70. Загрязнения атмосферного воздуха радиоактивными веществами.

Новиков Ю. В., 71—78. Вопросы радиационной безопасности в Англии.

Глузман М. А., 79—83. К вопросу о методике определения радиоактивности аэрозолей воздуха аспирационным методом.

Свидерская Т. А. и др., 27—34. Использование ультрафиолетового излучения различного спектрального состава для уменьшения последствий лучевого повреждения.

Дубровина З. В., Кацапов В. И., 44—48. Оп-

ределение концентрации радиоактивных аэрозолей аспирационным методом.

Алферов М. В., Туркин А. Д., 49—50. К вопросу измерения дозы тепловых нейтронов методом активации.

Изв. АН СССР, серия геофиз., № 2 (1960)

Воскобойников Г. М., 263—270. К теории интерпретации данных гамма-каротажа в слоистых средах.

Мед. радиология, 5, № 2 (1960)

Простякова В. И. и др., 62—66. Условия труда при каротажных работах с нейтронными источниками.

Радиохимия, 11, вып. 1 (1960)

Золотавин В. Л., Повомарева Л. К., 104—106. Определение радиоактивного стронция в водах открытых водоемов.

Arkiv Fys., 16, H. 4 (1960)

Björnerstedt R., Löw K., 293—313. Радиоактивные поражения от продуктов деления и радиоактивных осадков, II. γ -излучение радиоактивных осадков.

Björnerstedt R., Löw K., 315—319. Выпадение β -активности в осадках.

Atomkernenergie, 5, H. 3 (1960)

Jaeger Th., 100—107. Защита энергетических реакторов.

Atompraxis, 6, H. 2 (1960)

Sverak L., 43—50. Применение радиоактивных индикаторов при исследовании фитопатогенных вирусов.

Dreiheller H., Graul E., 59—65. Нерешенные проблемы радиобиологии и сравнительный метод исследования излучений.

Atompraxis, 6, H. 3 (1960)

Jahn W., 82—87. Поглощающие свойства защитных стекол. Часть I.

Ebert. H., 88—91. Эффективность применения эквивалента свинца для определения защитного действия материалов от γ -излучения.

Obtte H., 99—107. Защита от излучений при работе с открытыми радиоактивными материалами.

Atomwirtschaft, V, H. 2 (1960)

Somer E., 63—66. Гамма-радиометрическое исследование защиты реактора.

Fink K., Woitschach J., 67—71. Бетатронная гамма-дефектоскопия тепловой защиты реактора.

Energia Nucl., 7, No. 2 (1960)

Fossati F., 95—98. Единицы измерения ионизирующих излучений.

Lonati R., Tonolini F., 107—110. Исследование α -радиоактивности почвы и биологических веществ методом α -спектроскопии.

Jaderná Energie, VI, No. 3 (1960)

Spurný Z., 83—88. Обзор дозиметрических методов.

Rálková J., 89—93. Измерение радиоактивности воды.

Kerák F., Starčuk Z., 94—95. Фильтрация аэрозолей через волокнистые фильтры.

Kerntechnik, 2, Н. 3 (1960)

Robert G., 81—89. Система защиты экспериментального реактора в Гестгахте.

Helmberger H., Dietz W., 90—91. Прибор маркировки времени для упрощения определения периода полураспада с помощью счетчиков.

Oberhofer M., Kienle P., 95—97. Защита от излучения на реакторах и атомных предприятиях.

— — 100—101. Первая научная конференция по обработке радиоактивных отходов в Монако, ноябрь 1959 г.

Nucl. Sci. and Engng, 7, No. 2 (1960)

Watkins J. et al., 133—143. Возможность захоронения радиоактивных отходов в скалах.

Porges K., Klippert Th., 147—155. Широкодиапазонный детектор нейтронов и контрольный прибор.

Nucleonics, 18, No. 3 (1960)

Nisle R., 86—87. Номограммы для определения поглощения нейтронов.

Schulman J. et al., 92, 95—96, 98, 100—102. Термолюминесцентный дозиметр.

French R., 114, 116. Расчет спектра γ -излучения из реактора.

French R., Eggen J., 117—118, 120. Спектр быстрых нейтронов и гамма-лучей в бассейновом реакторе.

Nuova Technika, No. 2 (1960)

Šilar J., 64—68. Сцинтилляционные детекторы и их применение.

V. РАДИОАКТИВНЫЕ И СТАБИЛЬНЫЕ ИЗОТОПЫ

Метод меченых атомов. Использование радиоактивных излучений. Непосредственное преобразование атомной энергии в электрическую

Автом. и телемех., 21, No. 2 (1960)

Васильев А. Г. и др., 245—253. Критерии надежности автоматических релейных устройств с радиоактивными излучателями.

Вестн. АН СССР, XXX, No. 3 (1960)

Шумиловский Н. Н., Мельтцер Л. В., 42—46. Развитие автоматических методов контроля с использованием ядерных излучений.

Atomwirtschaft, V, Н. 2 (1960)

Erichsen E., 72—74. Строительные и конструкционные материалы для лаборатории изотопов.

Bonhoff R., 75—76. Применение радиоактивных изотопов в 1959 г.

Chem. and Process Engng, 41, No. 3 (1960)

Mellish C., 83—86. Применение радиоактивных изотопов в химической промышленности.

— — 87. Использование радиоактивного изотопа для контроля влажности.

Reynolds J., 88. Промышленная радиография.

Contemp. Phys., 1, No. 1 (1959)

Wilson E., Hughes J., 62—69. Источники света с использованием радиоактивных изотопов.

Kernenergie, 3, Н. 2 (1960)

Koch H., 109—116. Конструкционные материалы для изотопных лабораторий.

Kerntechnik, 2, Н. 3 (1960)

Meissner J., 91—95. Применение радиоактивных изотопов в биологии и медицине. Часть I.

Nucl. Energy, 14, No. 142 (1960)

— — 125—128. Использование радиоактивности в метеорологических исследованиях.

Nucl. Energy, 14, No. 143 (1960)

Paulsen F., 163—165. Применение ионизирующих излучений в химической промышленности.

Nucleonics, 18, No. 3 (1960)

Karpov V. et al., 88—90. Влияние облучения на дерево и полимеры.

— — 124. Использование обратного рассеяния β -частиц для измерения высоты.

Ely R., Pier J., 130, 132—133. Определение эффективности фильтров воздушных компрессоров с помощью меченых атомов.

Research, XIII, No. 4 (1960)

Powell D., Bridgès B., 151—157. Применение ионизирующих излучений для стерилизации фармацевтических продуктов и медикаментов.

征 求 譯 者 簡 約

1. 本編委会征求俄、英、德、法、日等文种的譯者，譯文内容包括原子能科学技术有关的資料和新聞报导。
2. 凡愿参加翻譯者請来信联系，注明眞名、专业、翻譯文种、工作机关及詳細通信地址。
3. 凡向“原子能譯丛”杂志推荐的譯文选题，在未与本編輯部联系前，請勿开譯，以免重譯或选材不合本刊要求。选题須注明来源和内容摘要。
4. 譯稿經采用后酌致稿酬。
5. 惠件請寄“北京市邮局 287 信箱 1 号”。

中国科学院原子核科学委员会編輯委员会

原 子 能 (月刊)

編 輯 者	中国科学院原子核 科学委员会編輯委员会 (北京市邮局 287 信箱 1 号)
出 版 者	科 学 出 版 社
印 刷 者	中国科学院印刷厂
总发行处	北 京 市 邮 局
訂 购 处	全 国 各 地 邮 电 局
代訂零售处	全 国 各 地 新 华 书 店 科学出版社各地門市部

(京) 1—3, 155

1960 年 11 月 5 日出版
延至 1961 年 3 月上旬出版

定价：1.10 元

本刊代号：2—212